

อิทธิพลของความยาวและรูปร่างของเส้นใยจากยีบกล่องเครื่องดื่ม ญี่อช ที่
ต่อคุณสมบัติทางกลของคอนกรีต

**INFLUENCE OF LENGTH AND SHAPE OF UHT ASEPTIC CARTON FIBER
OF MECHANICAL PROPERTIES OF CONCRETE**

นายณัฐวุฒิ นันทรพย์ รหัส 50360951
นายธวัชชัย ทองไกบ รหัส 50363174
นายนัตธพงษ์ รุ่งเรือง รหัส 50363228

ที่องค์มนตรีวิกระทรวงศาสตร์
วันที่รับ..... 26 ก.ค. 2554
เลขทะเบียน..... 1557018-9
เลขเรียกหนังสือ..... 4/5.
น.ว.ว. 362 ๒ ๒๕๓

ปริญญาในพันธ์นี้เป็นส่วนหนึ่งของการศึกษาหลักสูตรปริญญาวิศวกรรมศาสตรบัณฑิต

สาขาวิชาชีวกรรมโยธา ภาควิชาชีวกรรมโยธา

คณะวิศวกรรมศาสตร์ มหาวิทยาลัยนเรศวร

ปีการศึกษา 2553

ลิขสิทธิ์เป็นของมหาวิทยาลัยนเรศวร



ใบรับรองปริญญาบัตร

ชื่อหัวข้อโครงการ อิทธิพลของความยาวและรูปทรงของเส้นไข่จากจะล่อง
เครื่องดื่ม ญี่โฉ ที่ต่อคุณสมบัติทางกลของคอนกรีต

ผู้ดำเนินโครงการ	นายณัฐรุณี นันทรัพย์	รหัส 50360951
ที่ปรึกษาโครงการ	ดร. รัฐภูมิ ปริชาติปรีชา	
สาขาวิชา	วิศวกรรมโยธา	
ภาควิชา	วิศวกรรมโยธา	
ปีการศึกษา	2553	

คณะวิศวกรรมศาสตร์ มหาวิทยาลัยนเรศวร อนุมัติให้ปริญญาบัตรฉบับนี้เป็นส่วนหนึ่ง
ของการศึกษาตามหลักสูตรวิศวกรรมศาสตร์บัณฑิต สาขาวิชาวิศวกรรมโยธา

ที่ปรึกษาโครงการ

(คร. รัฐภูมิ ปริชาติปรีชา)

กรรมการ

(คร. ปฤยษ์ พิเศษปันย์)

กรรมการ

(คร. คุณวี สถาพรนรูทวี)

ชื่อหัวข้อโครงการ อิทธิพลของความขาวและรูปร่างของเส้นใบจากเบกล่อง
เครื่องดื่ม บุ เอช ที่ ต่อคุณสมบัติทางกลของคอนกรีต

ผู้ดำเนินโครงการ	นายณัฐวุฒิ มั่นทรัพย์	รหัส 50360951
	นายธวัชชัย ทองไทย	รหัส 50363174
	นายนัทธพงษ์ รุ่งเรือง	รหัส 50363228
ที่ปรึกษาโครงการ	ดร. รัฐภูมิ ปริชาติปรีชา	
สาขาวิชา	วิศวกรรมโยธา	
ภาควิชา	วิศวกรรมโยธา	
ปีการศึกษา	2553	

บทคัดย่อ

งานวิจัยนี้มีวัตถุประสงค์เพื่อทำการศึกษาอิทธิพลของความขาวและรูปร่างของเส้นใบจากกล่องเครื่องดื่ม บุ เอช ที่ ต่อคุณสมบัติของคอนกรีตในการบุบตัวของคอนกรีต กำลังรับแรงดัน ค่าคืนความหนาแน่น กำลังรับแรงอัด และการดูดซึมน้ำ โดยพิจารณาความขาวของเส้นใบบนขนาดคือ $2 \times 50\text{ มม.}$, $2 \times 70\text{ มม.}$ และ $2 \times 100\text{ มม.}$ และรูปร่างของเส้นใบสองแบบคือ แบบเส้นตรง และแบบซิกแซก โดยทดสอบคอนกรีตในปริมาณร้อยละ 2.5 โดยปริมาตรของคอนกรีต

จากการผลการศึกษาพบว่า ค่าการบุบตัวของคอนกรีต, กำลังรับแรงดันและ ค่าคืนความหนาแน่นของคอนกรีตจะลดลงเมื่อความขาวของเส้นใบเพิ่มขึ้น ส่วนกำลังอัดของคอนกรีตที่ผสมเส้นใบ $2 \times 70\text{ มม.}$ ที่มีกำลังอัดมากกว่าคอนกรีตเส้นใบขนาด $2 \times 50\text{ มม.}$ กับ $2 \times 100\text{ มม.}$.

สำหรับคอนกรีตที่ผสมเส้นใบรูปร่างต่างกัน แบบของเส้นตรงมีค่าการบุบตัว, กำลังรับแรงดัน, ค่าคืนความหนาแน่น และกำลังรับแรงอัด สูงกว่าคอนกรีตผสมเส้นใบแบบซิกแซก

Project title	Influence of length and shape of UHT aseptic carton fiber of mechanical properties of concrete		
Name	Mr. Nattawut Monsap	ID. 50360951	
	Mr. Tawatchai Thongthai	ID. 50363174	
	Mr. Natthapong Rungruang	ID. 50363228	

Project advisor	Dr. Rattapoohm Parichatprecha
Major	Civil Engineering
Department	Civil Engineering
Academic year	2010

Abstract

This research aims to study the influence of length and shape of UHT aseptic carbon fiber that effect to property for slump of concrete, flexural strength, toughness, compressive strength and percent absorption of concrete. The length of fibers was varied from 2x50mm, 2x70mm and 2x100mm and shape of fiber are straight and zigzag mixed in concrete 2.5% by volume.

The study found that slump, flexural strength and toughness of concrete decrease when length of fibers was increase. The compressive strength of concrete that mixed in 2x70mm that has compressive strength more than concrete fiber from 2x50mm and 2x100mm.

The concrete that mixed in different shape found that straight fiber has slump, flexural strength, toughness and, compressive strength higher than zigzag fiber.

กิตติกรรมประกาศ

ปริญญาบัตรนี้เป็นสัญลักษณ์แห่งความสำเร็จ แสดงถึงความสามารถทางวิชาการที่ได้รับการรับรองโดยคณะกรรมการคุณวิชา อาจารย์ที่ปรึกษาโครงการที่ให้กำกับดูแล ตรวจสอบ แก้ไข แนะนำวิธีการแก้ปัญหาต่างๆที่เกิดขึ้น และให้ความรู้ความเพิ่มเติมในการจัดทำโครงการให้มีคุณภาพเพื่อสามารถนำข้อมูลมาใช้การ ศักยภาพในอนาคตต่อไป

ขอขอบพระคุณ อาจารย์ ดร.รังษี ประชานาท ภาควิชาวิศวกรรมโยธา คณะ วิศวกรรมศาสตร์ มหาวิทยาลัยนเรศวร ที่สนับสนุนเช่นใจกล่องเครื่องคิดเลขที่จะให้ความรู้ที่เกี่ยวข้องการดำเนินงาน

ขอขอบพระคุณคณะอาจารย์ มหาวิทยาลัยนเรศวร ที่ได้ประสิทธิ์ประสาทวิชาความรู้แก่ คณะผู้จัดทำ

ขอขอบพระคุณคณะครุช่าง ภาควิชาวิศวกรรมโยธา มหาวิทยาลัยนเรศวร ที่กรุณา อำนวยความสะดวกและอธิบายสถานที่และอุปกรณ์ในการปฏิบัติงานในโครงการนี้

ขอขอบพระคุณบิดา นารดา ที่อุปการคุณทางด้านการเงินและทางด้านจิตใจในระยะที่ ให้โครงการนี้เสร็จสมบูรณ์ได้

สุดท้ายนี้ขอขอบคุณเพื่อนทุกคนและบุคคลอื่นที่ไม่ได้กล่าวถึง ที่ให้กำกับดูแล และความอนุเคราะห์ในการดำเนินโครงการจนสำเร็จ

นาย ณัฐวุฒิ มั่นทรัพย์
นาย ธรรมชาติ ทองไทย
นาย นัตตพล รุ่งเรือง
คณะผู้จัดทำโครงการวิศวกรรม

สารบัญ

หน้า

ในรับรองธิรยุญานินพนธ์.....	ก
บทคัดย่อภาษาไทย.....	ข
บทคัดย่อภาษาอังกฤษ.....	ค
กิตติกรรมประกาศ.....	ง
สารบัญ.....	จ
สารบัญตาราง.....	ช
สารบัญภาพ.....	ซ
บทที่ 1 บทนำ.....	1
1.1 ความเป็นมาของปัญหา.....	1
1.2 วัตถุประสงค์ของการศึกษา.....	2
1.3 ประโยชน์ที่คาดว่าจะได้รับ.....	2
1.4 ขอบเขตของงานวิจัย.....	3
1.4.1 ตัวแปรในการศึกษาวิจัย.....	3
1.4.2 วัสดุ.....	3
1.4.3 การทดสอบ.....	3
1.5 ขั้นตอนการดำเนินงาน.....	4
1.6 แผนการดำเนินงาน.....	5
1.7 รายละเอียดงบประมาณตลอดโครงการ.....	5
บทที่ 2 เอกสารและงานวิจัยที่เกี่ยวข้อง.....	6
2.1 กล่องเครื่องคิด บู เอช ที.....	6
2.2 คอนกรีตผสมเส้นใย.....	8
2.2.1 โครงสร้างของคอนกรีตผสมเส้นใย.....	9
2.2.2 หลักการทำงานของเส้นใย.....	10
2.3 ผลของเส้นใยที่มีต่อกอนกรีตในช่วงที่ขังไม่แข็งตัว.....	10
2.4 ผลของเส้นใยที่มีต่อกอนกรีตในช่วงที่แข็งตัว.....	11
2.5 งานวิจัยที่เกี่ยวข้อง.....	11

สารบัญ (ต่อ)

หน้า

2.5.1 การประยุกต์ใช้เส้นไขในงานคณกรีต.....	11
2.5.2 การวิจัยเกี่ยวกับการใช้กล่องบรรจุเครื่องดื่มในงานคณกรีต.....	13

บทที่ 3 วิธีดำเนินงานวิจัย.....	15
--	-----------

3.1 มาตรฐานที่ใช้ข้างอิง.....	16
3.2 วัสดุและการเตรียมตัวอย่างทดสอบ.....	16
3.2.1 วัสดุผสมที่ใช้ในคณกรีต.....	16
3.2.2 เส้นไขจากขยะกล่องเครื่องดื่มขูดหีบ.....	18
3.3 หลักการทดสอบและวิธีการทดสอบ.....	22
3.3.1 การทดสอบค่าการยึดตัวของคณกรีต.....	22
3.3.2 การทดสอบกำลังรับแรงดึง.....	25
3.3.3 การทดสอบหาค่าดัชนีความเหนียว.....	28
3.3.4 การทดสอบกำลังรับแรงอัด.....	37
3.3.5 การทดสอบค่าการคูดซึ่มน้ำ.....	40
3.4 ประชากรและกลุ่มตัวอย่าง.....	43
3.5 เครื่องมือและอุปกรณ์ที่ใช้ในการวิจัย.....	44
3.6 การเก็บรวบรวมข้อมูล.....	49
3.7 การวิเคราะห์ข้อมูล.....	49

บทที่ 4 ผลการวิจัยและวิเคราะห์.....	50
--	-----------

4.1 ผลการทดสอบคุณสมบัติของเส้นไขจากขยะกล่องเครื่องดื่ม.....	50
4.1.1 ผลการทดสอบหาค่าการคูดซึ่มน้ำของเส้นไขจากกล่องเครื่องดื่ม.....	50
4.2 ผลการทดสอบเพื่อหาอิทธิพลของความขาวเส้นไขต่อคุณสมบัติของคณกรีต.....	51
4.2.1 ผลการทดสอบความสามารถในการดึงตัวอย่างคณกรีต.....	51
4.2.2 ผลการทดสอบกำลังรับแรงดึงของตัวอย่างคณกรีต.....	55
4.2.3 การหาค่าดัชนีความเหนียวของตัวอย่างคณกรีต.....	58
4.2.4 การทดสอบกำลังรับแรงอัดของตัวอย่างคณกรีต.....	59
4.3 ผลการทดสอบเพื่อหาอิทธิพลของรูปร่างเส้นไขต่อคุณสมบัติของคณกรีต.....	64

สารบัญ (ต่อ)

	หน้า
4.3.1 ผลการทดสอบความสามารถทางไคดีของตัวอย่างคอนกรีต.....	64
4.3.2 ผลการทดสอบกำลังรับแรงดึงของตัวอย่างคอนกรีต.....	65
4.3.3 การหาค่าดัชนีความเหนียวของตัวอย่างคอนกรีต.....	66
4.3.4 การทดสอบกำลังรับแรงอัดของตัวอย่างคอนกรีต.....	67
บทที่ 5 สรุปผลการทดลองและข้อเสนอแนะ.....	71
5.1 ผลการหาค่าการดูดซึมน้ำของเส้นใยจากกล่องเครื่องคิ่ม.....	71
5.2 ผลการทดสอบเพื่อหาอิทธิพลของความยาวของเส้นใยต่อคุณสมบัติของคอนกรีต.	71
5.3 ผลการทดสอบเพื่อหาอิทธิพลของรูปร่างของเส้นใยต่อคุณสมบัติของคอนกรีต.....	71
บรรณานุกรม.....	73
ประวัติผู้เขียน.....	76
ภาคผนวก ก.....	79

สารบัญตาราง

ตารางที่	หน้า
3.1 แสดงความสามารถในการทำงานของคอนกรีตสด.....	23
3.2 แสดงตัวอย่างข้อมูลเดิมที่ได้จากการทดสอบ.....	27
3.3 แสดงตัวอย่างข้อมูลผลการทดสอบเดิมของน้ำหนักกระทำและค่าโก่งตัวของ canonทดสอบ B-025.....	31
3.4 แสดงตัวอย่างข้อมูลเดิมของค่าดัชนีความหนืดของตัวอย่างคอนกรีต.....	34
3.5 แสดงรายละเอียดส่วนผสมของตัวอย่างที่ผสมเส้นไข่สำหรับการทดสอบการ รับ แรงอัด, แรงดึง, การยุบตัวและการคูณซึ่มน้ำ.....	43
3.6 แสดงสรุประยละเอียดส่วนผสมของตัวอย่างที่ผสมเส้นไข่สำหรับการ ทดสอบการรับแรงอัด, แรงดึง, การยุบตัวและการคูณซึ่มน้ำ.....	43
3.7 แสดงสรุปจำนวนของตัวอย่างที่ผสมเส้นไข่สำหรับการทดสอบการรับ แรงอัด, แรงดึง และการคูณซึ่มน้ำ.....	44
ก.1 แสดงผลการทดสอบค่าการยุบตัวของคอนกรีตสด.....	79
ก.2 แสดงผลการทดสอบกำลังรับแรงอัดคอนกรีตที่อายุ 3, 7, 28 และ 90 วัน ของชุดตัวอย่าง A-0.....	80
ก.3 แสดงผลการทดสอบกำลังรับแรงอัดคอนกรีตที่อายุ 3, 7, 28 และ 90 วัน ของชุดตัวอย่าง B-025.....	81
ก.4 แสดงผลการทดสอบกำลังรับแรงอัดคอนกรีตที่อายุ 3, 7, 28 และ 90 วัน ของชุดตัวอย่าง E-025.....	82
ก.5 แสดงผลการทดสอบกำลังรับแรงอัดคอนกรีตที่อายุ 3, 7, 28 และ 90 วัน ของชุดตัวอย่าง F-025.....	83
ก.6 แสดงผลการทดสอบกำลังรับแรงอัดคอนกรีตที่อายุ 3, 7, 28 และ 90 วัน ของชุดตัวอย่าง G-025.....	84
ก.7 แสดงผลการทดสอบร้อยละการคูณซึ่มน้ำของคอนกรีต.....	85
ก.8 แสดงผลการทดสอบกำลังรับแรงดึงของคอนกรีต.....	86
ก.9 แสดงผลการทดสอบค่าดัชนีความหนืดของคอนกรีต.....	86

สารบัญภาพ

ภาพที่	หน้า
2.1 แสดงการจัดเรียงชั้นของวัสดุที่ใช้ผลิตกล่องเครื่องคิ่ม ญี่อช ที.....	7
2.2 กล่องเครื่องคิ่มที่นำໄไปร์ใช้เคลือบผลิตเป็นไม้กระดาน (Green Board).....	8
2.3 การกระจายตัวของเส้นใย ในลักษณะต่างๆ.....	9
3.1 แผนผังแสดงชั้นตอนหลักในการดำเนินการวิจัย.....	15
3.2 การเตรียมวัสดุพื้นที่ใช้ในกองกรีต.....	17
3.3 การจัดเตรียมกล่องบรรจุเครื่องคิ่ม ญี่อช ที.....	18
3.4 การตัดบ่องกล่องบรรจุเครื่องคิ่มชนิดแบบขบหงส์.....	18
3.5 การตัดบ่องกล่องบรรจุเครื่องคิ่มชนิดแบบขบซิกแซก.....	19
3.6 เส้นไบกล่องบรรจุเครื่องคิ่มหลังการแปรรูปขนาด 2x100 มม.ขوبตรง.....	19
3.7 เส้นไบกล่องบรรจุเครื่องคิ่มหลังการแปรรูปขนาด 2x70 มม.ขอบตรง.....	19
3.8 เส้นไบกล่องบรรจุเครื่องคิ่มหลังการแปรรูปขนาด 2x50 มม.ขอบซิกแซก.....	20
3.9 ขนาดของเส้นไบกล่องบรรจุเครื่องคิ่ม ญี่อช ที ทั้งสามขนาด.....	21
3.10 ขนาดของเส้นไบกล่องเครื่องคิ่มแบบขบซิกแซกใช้เป็นส่วนผสมในกลุ่มตัวอย่างชุด E.....	21
3.11 การทดสอบการบุบตัวของกองกรีตสด.....	24
3.12 Flexural toughness indices, ASTM C1018	29
3.13 แสดงการหาค่าความหนึบจำกัดที่ได้กราฟที่มีลักษณะรูปเว้าก่อนถึงจุดแตกหัก ของค่าตาม ASTM C1018-94b	30
3.14 แสดงการหาค่าความหนึบจำกัดที่ได้กราฟที่มีลักษณะรูปปูนขี้นก่อนถึงจุดแตกหัก ของค่าตาม ASTM C1018-9.....	31
3.15 แสดงความสัมพันธ์ระหว่างน้ำหนักกระทำกับตัวอย่างตัวอย่าง B-025.....	33
3.16 การนำกองกรีตไปเทในแบบหล่อขนาด 15 ซม.x 15 ซม.x 65 ซม.....	35
3.17 แสดงการติดตั้งตัวอย่างสำหรับการทดสอบหาแรงดึงของตัวอย่างกองกรีต.....	35
3.18 แสดงการเชื่อมต่อเครื่องมือและอุปกรณ์การทดสอบ.....	36
3.19 ตัวอย่างค่านกองกรีตที่พร้อมทำการทดสอบ.....	36
3.20 ตัวอย่างค่านกองกรีตที่พร้อมทำการทดสอบ.....	39
3.21 การทดสอบกำลังยึด.....	39
3.22 ลักษณะการวินิจฉัย ตัวอย่างขนาด 15x15x15 ซม.....	39
3.23 ตัวอย่างกองกรีตแห้งน้ำเป็นเวลา 24 ชั่วโมง.....	42

3.24	ตัวอย่างเครื่องทดสอบการอ่อนเป็นเวลา 24 ชั่วโมง.....	42
3.25	เครื่อง Universal Testing Machine.....	45
3.26	เครื่องทดสอบกำลังรับแรงอัด.....	45
3.27	เครื่องทดสอบกาวเริต.....	45
3.28	ชุดทดสอบค่าการบุบตัว.....	45
3.29	เครื่องซิ่ง.....	46
3.30	ชุดCAPหัวก้อนตัวอย่างรูปทรงกรวย.....	46
3.31	แบบหล่อตัวอย่างคอนกรีตทรงกรวยขนาด 15x30 ซม.....	46
3.32	แบบหล่อตัวอย่างคอนกรีต 15x15x65 ซม.....	46
3.33	แบบหล่อตัวอย่างคอนกรีตถูกน้ำขนาด 15x15x15 ซม.....	47
3.34	ตัวแบบ.....	47
3.35	เครื่องบันทึกน้ำหนักขนาด 2 ตัน แบบเคลื่อนที่ได.....	47
3.36	Displacement Transducer.....	47
3.37	Load Cell 50 kN.....	48
3.38	การติดตั้งเครื่องมือการทดสอบกำลังรับแรงด้วย.....	48
3.39	อุปกรณ์ความต้านทานคลื่นรับทดสอบแบบ Three Point Load.....	48
4.1	แสดงความสัมพันธ์ของค่าการคูณซึ่มน้ำของเส้นไขจากยะกล่องเครื่องคืน.....	50
4.2	แผนภูมิแสดงความสัมพันธ์ของค่าบุบตัวของคอนกรีตที่ผสมเส้นไข ความยาวที่ต่างกันในปริมาณร้อยละ 2.5.....	52
4.3	คอนกรีตผสมเส้นไขขนาด 2x100 น.m. ร้อยละ 2.5.....	53
4.4	คอนกรีตผสมเส้นไขขนาด 2x70 น.m. ร้อยละ 2.5.....	53
4.5	ลักษณะการบุบตัวของคอนกรีตผสมเส้นไข 2x100 น.m. แบบขอบตรง.....	54
4.6	ลักษณะการบุบตัวของคอนกรีตผสมเส้นไข 2x70 น.m. แบบขอบตรง.....	54
4.7	แผนภูมิแสดงความสัมพันธ์ของกำลังรับแรงด้วยของคอนกรีตผสมเส้นไขความยาวต่างกัน.....	55
4.8	ลักษณะการวินิจฉัยความผิดปกติของคอนกรีตที่ผสมเส้นไข.....	56
4.9	ลักษณะของความคงทนของคอนกรีตที่ผสมเส้นไขก่อนการทดสอบ.....	56
4.10	ลักษณะการวินิจฉัยความผิดปกติของคอนกรีตที่ผสมเส้นไข.....	57
4.11	ลักษณะการวินิจฉัยความผิดปกติของคอนกรีตที่ผสมเส้นไข (ต่อ).....	57
4.12	แผนภูมิแสดงค่าดัชนีความหนืด I5, I10 และ I20 ของตัวอย่างคอนกรีต ที่ผสมเส้นไขความยาวที่ต่างกัน.....	58
4.13	แผนภูมิเปรียบเทียบกำลังรับแรงอัดของตัวอย่างคอนกรีต	

ที่ทดสอบความขาวต่างกัน ที่อายุ 3 วัน.....	59
4.14 แผนภูมิเปรียบเทียบกำลังรับแรงอัดของตัวอย่างคอนกรีต ที่ทดสอบความขาวต่างกัน ที่อายุ 7 วัน.....	60
4.15 แผนภูมิเปรียบเทียบกำลังรับแรงอัดของตัวอย่างคอนกรีต ที่ทดสอบความขาวต่างกัน ที่อายุ 28 วัน.....	60
4.16 แผนภูมิเปรียบเทียบกำลังรับแรงอัดของตัวอย่างคอนกรีต ที่ทดสอบความขาวต่างกัน ที่อายุ 90 วัน.....	61
4.17 แผนภูมิเปรียบเทียบกำลังรับแรงอัดของตัวอย่างคอนกรีตที่ทดสอบใน ความขาวที่ต่างกัน ที่อายุ 3, 7, 28 และ 90 วัน.....	62
4.18 ลักษณะของก้อนตัวอย่างก่อนการทดสอบ.....	63
4.19 ลักษณะการวิปซิ่งก้อนตัวอย่างหลังการทดสอบ.....	63
4.20 แผนภูมิแสดงความสัมพันธ์ของค่าญูตัวของคอนกรีตที่ทดสอบในรูปร่างต่างกันใน ปริมาณร้อยละ 2.5.....	64
4.21 แผนภูมิแสดงความสัมพันธ์ของกำลังรับแรงคัดของคอนกรีตที่ทดสอบในรูปร่างต่างกัน....	65
4.22 แผนภูมิแสดงค่าดัชนีความเหนียว I5, I10 และ I20 ของตัวอย่างคอนกรีต ที่ทดสอบในรูปร่างต่างกัน.....	66
4.23 แผนภูมิเปรียบเทียบกำลังรับแรงอัดของตัวอย่างคอนกรีต ที่ทดสอบในรูปร่างต่างกัน ที่อายุ 3 วัน.....	67
4.24 แผนภูมิเปรียบเทียบกำลังรับแรงอัดของตัวอย่างคอนกรีต ที่ทดสอบในรูปร่างต่างกัน ที่อายุ 7 วัน.....	68
4.25 แผนภูมิเปรียบเทียบกำลังรับแรงอัดของตัวอย่างคอนกรีต ที่ทดสอบในรูปร่างต่างกัน ที่อายุ 28 วัน.....	68
4.26 แผนภูมิเปรียบเทียบกำลังรับแรงอัดของตัวอย่างคอนกรีต ที่ทดสอบในรูปร่างต่างกัน ที่อายุ 90 วัน.....	69
4.27 แผนภูมิเปรียบเทียบกำลังรับแรงอัดของตัวอย่างคอนกรีต ที่ทดสอบในความขาวที่ต่างกัน ที่อายุ 3, 7, 28 และ 90 วัน.....	70
5.1 ขนาดเส้นไข 2x50 นน. แบบขอนเส้นตรงและแบบขอนซิกแซ็ก.....	72

บทที่ 1

บทนำ

กองกรีตเป็นวัสดุก่อสร้างที่นิยมใช้กันอย่างแพร่หลายตั้งแต่ดีจนถึงปัจจุบัน เนื่องจาก เป็นวัสดุที่มีความเหมาะสมทั้งในด้านราคาและคุณภาพ กองกรีตประกอบด้วยส่วนผสม 2 ส่วน คือ ปูนซีเมนต์ซึ่งทำหน้าที่เป็นวัสดุประสาน และวัสดุผสมได้แก่ ทราย หิน โดยกำลังของกองกรีตจะ ขึ้นจากการทำปฏิกิริยาระหว่างปูนซีเมนต์และน้ำ กองกรีตในช่วงแรกส่วนผสมจะคงสภาพเหลวอยู่ ช่วงเวลาหนึ่งซึ่งสามารถที่จะนำไปเทลงในแบบหล่อที่มีรูปร่างตามที่ต้องการ หลังจากนั้นจะแปร สภาพเป็นของแข็ง โดยมีความแข็งแรงและสามารถรับน้ำหนักได้มากขึ้น กองกรีตเป็นวัสดุที่รับ แรงอัดได้ดีแต่มีความerasable วิธีการเพิ่มความเหนียวให้กับกองกรีตมี方法วิธีด้วยกัน ซึ่งหนึ่งใน วิธีการคั่งกล่าวทำได้โดยการผสมเส้นใยเข้าไปในกองกรีต โดยเส้นใยจะทำหน้าที่ยึดรักษา แท้กร้าวที่เกิดขึ้นภายในกองกรีต

1.1 ความเป็นมาของปูนปลาดิบ

ในปัจจุบันประเทศไทยมีการนำเข้าเส้นใยชนิดต่าง ๆ เช่น เส้นใยเหล็กและเส้นใยไฟเบอร์ ที่เป็นศูนย์มาเป็นส่วนผสมในกองกรีตเพื่อเพิ่มคุณภาพในการรับแรงดึงให้กับกองกรีตแต่ในประเทศไทย ยังไม่ค่อยเป็นที่นิยมมากนัก เหตุผลที่ประเทศไทยไม่นิยมน้ำเส้น ใบมาใช้ในงานก่อสร้าง เนื่องจากเหตุผลค่าต้นราคากลางและขั้นตอนในการนำไปประยุกต์ใช้งาน [1] ปัจจุบันกล่องเครื่องดื่ม เป็น ที่นิยมอย่างแพร่หลาย ด้วยคุณสมบัติกล่องปลอกเชือกที่คงทน แข็งแกร่ง ทนทาน ไม่หัก ไม่หัก ไม่แตก และเก็บความชื้นให้กับ เครื่องดื่มได้ดี ดีอนโดยไม่ต้องใส่ตู้เย็น ไม่ต้องแช่เย็น จึงปลอดภัย สำหรับ ผู้บริโภคทุกวัย โดยเฉพาะกับเด็กๆ ที่ต้องดื่มน้ำเป็นประจำ เมื่อไม่ต้องแช่เย็นก็ไม่ต้องเปลืองค่าไฟ น้ำหนัก กล่องเบาขึ้นช่วยประหยัดเชื้อเพลิงในการขนส่ง กระดาษซึ่งเป็นวัสดุหลักในการผลิตกล่อง มาจากสวนป่า ที่ปลูกทดแทนต่อเนื่องพร้อมหมุนเวียนนาใช้ใหม่ จึงไม่ต้องทำลายป่าไม้จาก ธรรมชาติ กล่องเครื่องดื่ม จึงเป็นผลิตภัณฑ์ที่รักษามาสิ่งแวดล้อม [5]

บริษัท เดคร้าแพค ซึ่งเป็นผู้นำรายใหญ่ในการผลิตกล่องบรรจุภัณฑ์ เสื้อผ้า รองเท้า ฯลฯ [3] ผลิต กล่องของขวัญตามมาตรฐานคุณภาพสากล ของ โลโก้เดคร้า แพค ที่เดียวที่ผลิตกล่องเครื่องดื่มปีก่อน ทั่วโลกกว่า 135,000 ล้านกล่อง ในปี 2550 ก่อให้เกิดขยะในแต่ละปีกว่า 3,000 ล้านใบและต้องถูก

ทึ้งไปทั่ว ๆ ที่มันสามารถนำกลับมารีไซเคิลได้ ในประเทศไทยนั้นมีกล่องเครื่องดื่มที่ถูกหดทึบอยู่ในกองขยะกว่า 38,000 ตันต่อปี[4] ก่อให้เกิดผลเสียต่อสภาพแวดล้อม

เมื่อจากกล่องเครื่องดื่ม ยู เอช ที่ มีส่วนประกอบของอุบมิเนียมฟอยล์และคุณสมบัติของอุบมิเนียมฟอยล์ที่มีความหนาและความเหนียว จึงมีความแข็งแรงและทนทานต่อแรงดึงได้ดี [5] และพลาสติก 20 % คุณสมบัติของพลาสติกทางกายภาพ มีความแข็งแรง เหนียว ยืดหยุ่น ฯลฯ คุณสมบัติทางเคมี ทนกรด ด่าง และสารเคมีอื่นๆ[6] จากคุณสมบัติและลักษณะการนำไปใช้ประโยชน์ของกล่องบรรจุเครื่องดื่มดังกล่าว จึงน่าจะมีความเป็นไปได้ที่จะประยุกต์ใช้เส้นใยจากกล่องเครื่องดื่ม ยู เอช ที่ เพื่อเพิ่มกำลังรับแรงดึงให้กับคอนกรีต

ดังนั้นในงานวิจัยนี้จึงมีวัตถุประสงค์เพื่อศึกษารูปแบบ ขนาด และปริมาณของเส้นใยจากกล่องเครื่องดื่ม ยู เอช ที่ ที่มีผลต่อการรับแรงดึงดัดของคอนกรีต โดยมีการผิวศึกษาล้องเครื่องดื่ม ยู เอช ที่ และมีการเก็บข้อมูล ออกแบบการทดลอง ทำการทดลอง วิเคราะห์ผลการทดลองและสรุปผลการทดลองอย่างเป็นระบบให้ได้ผลการศึกษาที่น่าเชื่อถือและสามารถนำไปประยุกต์ใช้งานได้จริง

1.2 วัตถุประสงค์ของการศึกษา

1.2.1 เพื่อศึกษาและเบริ่งเทียบผลของความยาวและรูปร่างของเส้นใยจากกล่องเครื่องดื่ม ยู เอช ที่ ต่อคุณสมบัติทางกลของคอนกรีต

1.3 ประโยชน์ที่คาดว่าจะได้รับ

1.3.1 ทราบผลการเบริ่งเทียบของความยาวและรูปร่างของเส้นใยจากกล่องเครื่องดื่ม ยู เอช ที่ ต่อความสามารถในการหดทึบของคอนกรีต, กำลังรับแรงดึงดัดของคอนกรีต, ค่าซึ้นความเหนียวของคอนกรีต, กำลังรับแรงอัดของคอนกรีต, และค่าการดูดซึมน้ำของคอนกรีต

1.3.2 เพื่อเป็นแนวทางในการศึกษาสำหรับผู้ที่สนใจการศึกษาวิจัยพัฒนาคุณสมบัติของคอนกรีตต่อไป

1.3.3 สามารถนำข้อมูลที่ได้จากการดำเนินงานวิจัยไปประยุกต์ใช้ในงานคอนกรีตได้

1.3.4 ช่วยลดปัญหาของไข้กับสิ่งแวดล้อม โดยการประยุกต์ใช้กับงานคอนกรีต

1.4 ขอบเขตของงานวิจัย

ในการศึกษานี้ ผู้เน้นจะทำการศึกษาโดยมีรายละเอียดของขอบเขตของการศึกษาและวิจัยดังนี้

1.4.1 ตัวแปรในการศึกษาวิจัย

- งานวิจัยนี้ จะทำการศึกษาความยาวและรูปร่างของวัสดุเด่นไปจากกล่อง เครื่องคิ่ม ญี่อช ที่สองรูปร่างคือรูปร่างเป็นแบบเส้นตรง และรูปร่างเป็นแบบซิกแซก และสามขนาดคือ 2×100 มม., 2×70 มม. และ 2×50 มม.

- งานวิจัยนี้ จะทำการศึกษาสัดส่วนของปริมาณเส้นใบที่เหมาะสม โดยที่พิจารณาจากปริมาณเส้นใบที่ร้อยละ 2.5 โดยปริมาตรของคอนกรีต

- งานวิจัยนี้ จะทำการศึกษารูปแบบการตัดข้อบัญชีแบบตรงและแบบซิกแซก

1.4.2 วัสดุ

- ปูนซีเมนต์ปอร์ตแลนด์ประเภทหนึ่งตราชากินทรี ตามมาตรฐานอุตสาหกรรม (TIS)

- หินขนาด โคสุค ¼" ตามมาตรฐาน ASTM C33[7]

- ทราบ ใช้ทรายแม่น้ำมีค่าโมดูลส์ความละเอียดเท่ากับ 2.7 - 2.8

- กล่องบรรจุเครื่องคิ่มญี่อชที่ หรือกล่องที่ใช้เป็นกล่องชนิดใช้บรรจุน้ำ, น้ำผลไม้,

เครื่องคิ่มประเภทฯ ที่มีการผลิตจากสายการผลิตของบริษัท เดตร้าแพค จำกัด

- น้ำประปาสำหรับทดสอบคอนกรีต

1.4.3 การทดสอบ

- การทดสอบความสามารถก่อให้เกิดข้อบกพร่องของคอนกรีตตามมาตรฐาน ASTM C143[7]

- การทดสอบกำลังรับแรงดึงดูดของคอนกรีตตามมาตรฐาน ASTM C78[7]

- การทดสอบค่าเดี้ยวน้ำความหนืดของคอนกรีตตามมาตรฐาน ASTM C1018-94[7]

- การทดสอบกำลังรับแรงอัดของคอนกรีตตามมาตรฐาน ASTM C39-96[7]

- การทดสอบค่าการดูดซึมน้ำของคอนกรีตตามมาตรฐาน ASTM C128[7]

1.5 ขั้นตอนการดำเนินงาน



1.6 แผนการดำเนินงาน

กิจกรรม	เดือน				พฤษภาคม				มิถุนายน				กรกฎาคม				กันยายน			
	1	2	3	4	1	2	3	4	1	2	3	4	1	2	3	4	1	2	3	4
1. ศึกษาวิจัยและพัฒนาที่เกี่ยวข้อง																				
2. กำหนดวัตถุประสงค์และขอบเขตของงาน																				
3. หาแหล่งและจัดเตรียมวัสดุ																				
4. ออกแบบการทดลองทำการทดลอง																				
5. วิเคราะห์และสรุปผล																				

1.7 รายละเอียดงบประมาณของโครงการ

- ค่าวัสดุสำนักงาน 500 บาท
- ค่าเอกสาร 500 บาท
- ค่าวัสดุอุปกรณ์ 1500 บาท
- ค่าใช้จ่ายเบ็ดเตล็ด 500 บาท
- รวมค่าใช้จ่าย 3000 บาท

หมายเหตุ : ถ้าเฉลี่ยทุกรายการ

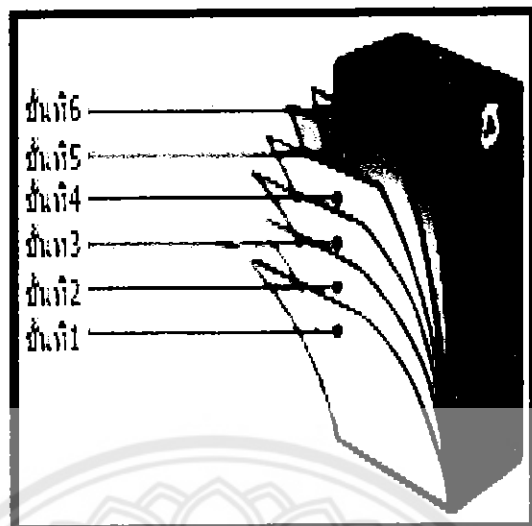
บทที่ 2

เอกสารและงานวิจัยที่เกี่ยวข้อง

ในบทนี้จะกล่าวถึง เอกสารและงานวิจัยที่เกี่ยวข้องกับการใช้เส้นไปในงานคณกรีต โดยทั่วไปการใช้เส้นไปสำหรับงานคณกรีตจะต้องพิจารณาถึงผลกระทนของเส้นไปที่มีต่อคณกรีต ทั้งในสถานะที่ซึ้งไม่แข็งตัว และขณะที่แข็งตัว สำหรับในการศึกษานี้จะพิจารณาเฉพาะเส้นไปที่ตัด บ่องจากกล่องเครื่องคัมภู เช่น ที่ โดยมุ่งเน้นที่จะทำการศึกษาเกี่ยวกับ กำลังรับแรงดึงของคณกรีต ที่ผสมเส้นไปจากกล่องเครื่องคัมภู เช่น ที่ โดยมีการผันแปรขนาดความยาวและรูปร่างของเส้นไป เพื่อศึกษาผลกระทนของขนาดปรินาลและรูปร่างของเส้นไปดังกล่าวต่ออุณหภูมิทางกลของ คณกรีต อันได้แก่ กำลังอัด โนดูลัสแทกวรังและด้านนีความหนืดขว

2.1 กล่องเครื่องคัมภู เช่น ที่

กล่องบรรจุภัณฑ์ที่ใช้บรรจุของเหลวประเภทนม ผ่านกระบวนการแปรรูปเกิดขึ้นในปี 1952 ที่ประเทศสวีเดน กล่องเครื่องคัมเป็นบรรจุภัณฑ์นิยมใช้กันทั่วโลก สำหรับบรรจุน้ำผลไม้ น้ำ และผลิตภัณฑ์อาหารหลายอันๆ โดยวัสดุคือหลักที่ใช้ในการผลิตกล่อง คือ กระดาษ ที่ทำจากต้นไม้ ในส่วนป้าที่มีการเพาะปลูกทดแทนกล่องชนิดนี้ทำจากกระดาษ 75% ซึ่งกระดาษเป็นวัสดุที่ทำจาก ต้นไม้และเป็นทรัพยากรธรรมชาติที่ทดแทนได้ กล่องเครื่องคัมบังทำให้เราจัดส่งอาหารและ เครื่องดื่มสู่ผู้บริโภคในท้องถิ่นที่ห่างไกลได้มากขึ้น โดยไม่ทำลายความสดและคุณค่าทาง โภชนาการซึ่งสำคัญต่อ ภัย หน้าที่ของกล่องเครื่องคัมแบบปลอกเชือก กล่องเครื่องคัมแบบปลอก เชือก หรือที่เรียกว่ากล่องเชือกที่หัวไปว่า กล่องภู เช่น ที่ ทำจากวัสดุบรรจุภัณฑ์ที่ผนึกแน่นถึงหากหักไป ด้วย กระดาษ (75%) โพลีเอทิลีน (20%) และอุบลนีนฟอยล์ (5%) กระดาษช่วยสร้างรูปทรงที่ แข็งแรงทนทานให้กับบรรจุภัณฑ์ โพลีเอทิลีนมีน้ำหนักเบาซึ่งในการผนึก ตัวอุบลนีนฟอยล์ ช่วยป้องกันอากาศ แสงสว่างและแบคทีเรียจากภายนอก ที่เป็นสาเหตุการเน่าเสียของเครื่องคัมหรือ อาหารที่อยู่ข้างใน [5] ซึ่งมีส่วนประกอบดังนี้



ภาพที่ 2.1 แสดงการจัดเรียงขั้นของวัสดุที่ใช้ผลิตกล่องเครื่องดื่ม ยู เอช ที [6]

ขั้นที่ 1. โพลีเอทิลีน

- เพื่อช่วยบีดติดและป้องกันการร้าวซึมของอาหารเหลว

ขั้นที่ 2. โพลีเอทิลีน

- เพื่อช่วยหนีกกล่องให้แน่นสนิท

ขั้นที่ 3. อะลูมิเนียมฟอยล์

- เพื่อป้องกันผลกระทบจากสภาวะภายนอก เช่น ออกรเชิง แสง
สว่าง และการสูญเสียกลิ่นรส

ขั้นที่ 4. โพลีเอทิลีน

- เพื่อช่วยหนีกกล่องให้แน่นสนิท

ขั้นที่ 5. กระดาษ

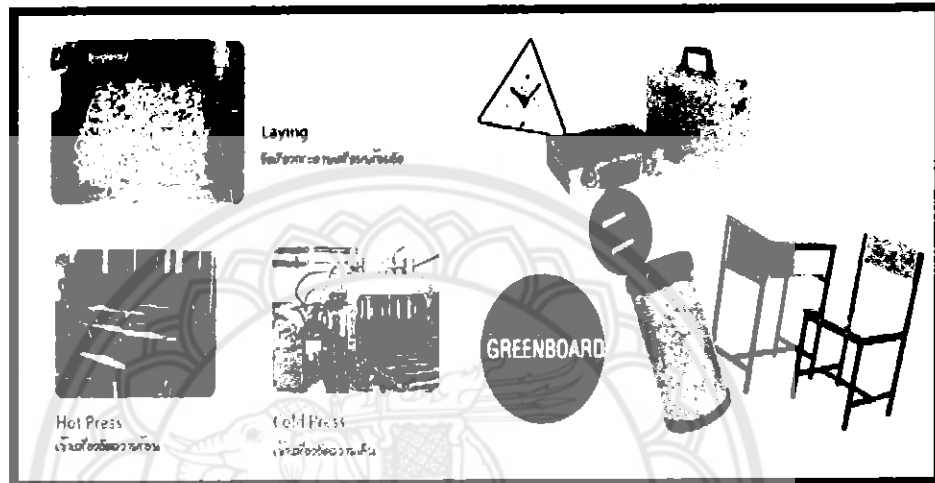
- เพื่อความคงทนแข็งแรงของกล่อง

ขั้นที่ 6. โพลีเอทิลีน

- เพื่อป้องกันความรื้นจากภายนอก

การนำกล่องบรรจุเครื่องดื่มที่ใช้แล้วไปใช้ประโยชน์ย่างอื่น (เดลินิวส์คอลัมน์ ไอที, 2553) สำหรับในประเทศไทยมีกรมวิทยาศาสตร์นริการ ซึ่งมีความเชี่ยวชาญด้านเทคโนโลยีและ
กระบวนการ ได้จัดทำโครงการศึกษาวิจัยเพื่อหาวิธีกำจัดขยะจากกล่องนม โดยนำมาผ่านกระบวนการรี
ไซเคิลเพื่อนำมาเป็นเยื่อกระดาษหมุนเวียนมาใช้ใหม่ ตั้งแต่ปี 2543 โดยศึกษากระบวนการรีไซเคิล
กระดาษกล่องนม เพื่อแยกอะลูมิเนียมฟอยล์ โดยผ่าน Repulping กระบวนการแยกหมึก Deink การ
ฟอกเยื่อ บริษัท เดครา เพค (ไทย) จำกัด ผู้ผลิตกล่องเครื่องดื่มรายใหญ่ของประเทศไทย และบริษัท
กรีน บอร์ด (ประเทศไทย) จำกัด ผู้ผลิตแผ่นกรีนบอร์ด (green board) แผ่นวัสดุทดแทนไม้
ไครเริ่ม โครงการรีไซเคิลกล่องเครื่องดื่มยูเอชทีเพื่อผลิตเป็นแผ่นกรีนบอร์ด (green board)
การรีไซเคิลเริ่มด้วยการย้อมกล่องให้เป็นชิ้นเล็กๆ แล้วนำไปโบทนแผ่นเหล็กเพื่อขีนรูปเป็นแผ่น
กรีนบอร์ด (green board) ตามความหนาที่ต้องการ จากนั้นนำเข้าเครื่องอัดร้อนที่อุณหภูมิ 170 องศา

เซลเซียส เพื่อหลอมพลาสติกภายในกล่องเครื่องดื่มก่อนนำไปเข้าเครื่องอัดเย็นในขั้นตอนต่อไป ซึ่งจะทำให้พลาสติกที่ถูกหลอมละลาย ไปยังติดต่อกระดาษและอุปกรณ์อิเล็กทรอนิกส์เป็นเนื้อเดียวกัน โดยไม่ต้องใช้การหีบสารเคมีใดๆ ก็ตามยกเว้นแต่กล่องเครื่องดื่มยังสามารถนำไปทำเป็นผลิตภัณฑ์พลาสติกต่างๆ ได้อีก เช่น ที่ร่องแก้ว, ที่วางชีคี, ที่ใส่ของ, กระเบื้อง และเครื่องใช้อื่นๆ [4]



ภาพที่ 2.2 กล่องเครื่องดื่มที่นำไปรีไซเคิลเพื่อเป็นไม้กระดาษ (Green Board)

อย่างไรก็ตามปัจจุบันยังมีการนำมารีไซเคิลไม่นานนักเนื่องจากต้องใช้เทคโนโลยีขั้นสูงในการแยกส่วน ทำให้มีต้นทุนสูงในกระบวนการรีไซเคิล หรือแม้แต่ในการนำไปทำบอร์ดไม้อัด เทียบกับข้าวไม้เป็นที่นิยมเนื่องจากความถูกและสีสันดูน่าใช้งาน

2.2 คอนกรีตผสมเส้นใย

คอนกรีตถึงแม้จะมีกำลังการรับแรงอัดที่ดี แต่ก็ขึ้นว่าเป็นวัสดุที่มีความเปราะ (Brittle Material) มีคุณสมบัติในด้านการรับแรงดึงที่ต่ำ โดยทั่วไปจะอยู่ที่ประมาณร้อยละ 10 ของกำลังรับแรงอัด การที่จะทำให้คอนกรีตมีความเหนียว (Ductility) นั้นจำเป็นต้องใส่วัสดุเสริมกำลังเข้าไปในเนื้อคอนกรีต เส้นใยถือว่าเป็นวัสดุที่นิยมนำมาผสมลงในคอนกรีตเพื่อเสริมคุณสมบัติดังกล่าว เป็นที่รู้จักกันในชื่อ คอนกรีตผสมเส้นใยไฟเบอร์ FRC (Fiber Reinforced Concrete) ซึ่งคอนกรีตโดยทั่วไปที่มีการเติมเส้นใยที่มีลักษณะกระชาบทัวออกจากกันแบบไม่ต่อเนื่องกัน (Discontinuous Discrete Fiber) เข้าไประหว่างการผสม ทั้งเส้นใยไฟเบอร์ที่ได้จากการชาติ เช่น ใบพิน พ่างข้าว ป่าน ปอ เม็ดตัน หรือเส้นใยที่ได้จากการสังเคราะห์ เช่น เส้นใยเหล็ก เส้นใยเซรามิก เส้นใย [20]

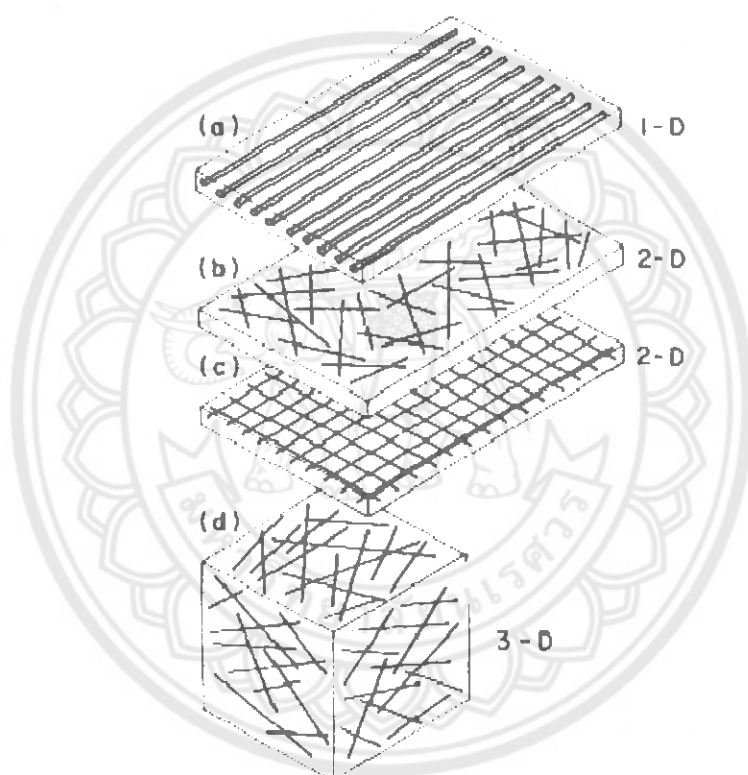
2.2.1 โครงสร้างของคอนกรีตผสมเส้นใย

ประกอบไปด้วยองค์ประกอบหลัก 2 ส่วน คือ

1. Matrix ได้แก่ มอร์ตาร์

2. Reinforcement ได้แก่ เส้นใย

สำหรับคอนกรีตผสมเส้นใย จัดเป็นวัสดุผสมเส้นใยชนิดไม่ต่อเนื่อง (Discontinuous Fibrous Composite Material) คือเส้นใยที่ผสมลงไปจะมีการกระชาบทัวไปในทิศทางที่ไม่แน่นอนอยู่ทั่วไปในเนื้อคอนกรีตดังแสดงในภาพที่ 2.3 [21]



ภาพที่ 2.3 การกระจายตัวของเส้นใย ในลักษณะต่างๆ [21] (a) and (c) Continuous Reinforcement (b) Discrete, Short Fiber 2-D (d) Discrete, Short Fiber 3-D

เนื่องจาก FRC เป็นวัสดุประกอบ โดย Rapoport [22] ได้ศึกษาคุณสมบัติของ FRC ภายใต้สภาวะการกระทำต่างๆ ทำให้ทราบถึงองค์ประกอบหลัก 3 ส่วนดังนี้

- โครงสร้างของ Matrix (The Structure of The Matrix) ใน FRC โครงสร้างของMatrix จะหมายถึงมอร์ตาร์ ซึ่งโดยทั่วไปจะมีคุณสมบัติไม่แตกต่างจากคอนกรีตธรรมชาติและการผสมเส้นใยสำหรับ FRC โดยทั่วไปจะผสมไม่เกินร้อยละ 2

- รูปร่าง และลักษณะการกระจายตัวของเส้นใย (The Shape and Distribution of Fiber) เส้นใยที่นำมาใช้ผสมคอนกรีตที่นำมาออกแบบให้มีรูปร่างที่ต่างกัน โดยเส้นใยที่มีรูปร่างต่างกันจะทำให้คุณสมบัติของ FRC ที่ได้แตกต่างกัน

- ผิวสัมผัสระหว่าง Matrix และเส้นใย (The Structure of Matrix-Fiber Interface)

นอกจากคุณสมบัติทั้ง 2 ข้อที่กล่าวมาแล้วนี้ ผิวสัมผัสระหว่าง Matrix และเส้นใยถือว่าเป็นสิ่งที่สำคัญมากในการศึกษาคุณสมบัติของ FRC เนื่องจากผิวสัมผัสจะมีผลโดยตรงกับค่าแรงดึงเห็นหมา (Bonding) ระหว่าง Matrix และเส้นใย สำหรับปัจจัยที่มีผลต่อค่าแรงดึงเห็นหมาบริเวณผิวสัมผัสระหว่าง Matrix และเส้นใยคือลักษณะรูปร่าง และชนิดของเส้นใย เส้นใยบางชนิดอาจทำปฏิกิริยาทางเคมีกับซีเมนต์ และอาจส่งผลให้เกิดการเปลี่ยนแปลงสภาพไปตามเวลาที่บาริเวณผิวสัมผัส เช่น เส้นไยหิน (Asbestos) เป็นต้น โดยทั่วไปบริเวณรอบๆ ผิวดวงเส้นใยจะพบว่ามีความพุ่นมากกว่าบริเวณอื่นเนื่องจากมีช่องว่างที่เกิดขึ้นจากการเย็บของคอนกรีตเมื่อน้ำหรือฟองอากาศเดินทางเข้าสู่ด้านบนหากมีเส้นใยกันอยู่จะทำให้ไปสะสมรอบๆ เส้นใย

2.2.2 หลักการทำงานของเส้นใย

เมื่อ FRC ถูกแรงกระแทก Matrix จะเกิดการแตกคร้ำ (Cracking) จะมีการถ่ายเทแรงกระแทกไปยังเส้นใยผ่านทางผิวสัมผัส หากแรงดึงเห็นหมาบริเวณผิวสัมผัสติดเส้นใยก็จะรับแรงได้อย่างเต็มที่ ซึ่งจะทำให้การแตกคร้ำหยุดหรือไม่ขยายตัว แต่หากแรงกระแทกภายนอกมีค่าสูงกว่ากำลังเส้นใยก็จะทำให้เส้นใยฉีกขาด โดยจะมีการวัดค่าประสิทธิภาพของเส้นใยด้วยค่าความดันนีความเหนียว (Toughness) ซึ่งค่าจะสูงหรือต่ำจะขึ้นอยู่กับชนิดของเส้นใยด้วย แต่หากแรงดึงเห็นหมาบริเวณผิวสัมผัสไม่คิดว่าจะทำเส้นใยไม่ได้ช่วยรับแรงอย่างเต็มที่ ซึ่งมีผลทำให้ค่ารับกำลังได้ต่ำ ด้วยเหตุผลนี้ จึงได้มีการออกแบบรูปร่างและผิวสัมผัสของเส้นใยเป็นลักษณะต่างๆ กันตามที่ได้กล่าวมาข้างต้น เพื่อเพิ่มแรงดึงเห็นหมาบริเวณซีเมนต์เพสต์และเส้นใย ซึ่งจะทำให้คอนกรีตมีความเหนียวขึ้นหรือคุณภาพดังงานได้ดีขึ้น [21]

2.3 ผลของเส้นใยที่มีต่อคอนกรีตในช่วงที่ยังไม่แข็งตัว

โดยทั่วไปปริมาณของเส้นใยที่ใช้ผสมคอนกรีตจะถูกกำหนดโดยชนิดของเส้นใยที่ใช้ ปฏิกิริยาส่วนผสมและจำนวนการผสมที่ใช้ จากการศึกษาที่ผ่านมาพบว่าผสมเส้นใยลงในคอนกรีตจะมีผลกระทบต่อค่าความดันนีของเส้นใยที่ได้ [17] จากการศึกษาเกี่ยวกับเส้นใยเหล็ก พบว่า ขนาดความยาวของเส้นใยเมื่อเปรียบเทียบกับขนาดของมวลรวมที่ใช้จะส่งผลต่อการกระจายตัวของเส้นใยในส่วนผสม ซึ่งจากการศึกษา พบว่าควรใช้เส้นใยที่มีความยาวไม่น้อยกว่าขนาดใหญ่ที่สุดของ

มวลรวม(maximum aggregate size) ที่ใช้ [17] ซึ่งความยาวประมาณ 2-4 เท่าของขนาดโอลีฟสูดของมวลรวมเป็นค่าที่ถูกแนะนำ นอกจากนี้ ปริมาณสูงสุดของเส้นไขที่ใช้ขังถูกจำกัดเนื่องจากการเกาะตัวกันเป็นก้อนของเส้นไข ณ ขั้นตอนคอมพิวเตอร์ ซึ่งปริมาณการเกาะตัวกันเป็นก้อนจะเพิ่มมากขึ้นตามปริมาณของเส้นไขที่ใช้ในส่วนผสม สำหรับเส้นไขพลาสติกจะมีผลกระทบต่อส่วนผสมที่แตกต่างไปจากเส้นไขโลหะ เนื่องจากเส้นไขมีลักษณะที่มีความอ่อนตัวดังนั้น แทนที่เส้นไขจะหลักมวลรวมออกจากกัน เส้นไขเหล่านี้จะแทรกตัวอยู่ระหว่างมวลรวมในส่วนผสมคอมพิวเตอร์ นอกจากนี้ ผลของเส้นไขที่มีต่อค่าความชื้นแหล่งของส่วนผสมจะขึ้นอยู่กับชนิดของเส้นไขที่ใช้ รวมถึงพื้นที่ผิวสัมผัสของเส้นไข [17]

2.4 ผลของเส้นไขที่มีต่อคอมพิวเตอร์ในห่วงที่แข็งตัว

จากการศึกษาที่ผ่านมาพบว่าเส้นไขมีผลทำให้คอมพิวเตอร์มีค่าความเหนียวเพิ่มมากขึ้นรวมถึงลดขนาดความกว้างของรอยแตกร้าวที่เกิดขึ้นเนื่องจากแรงกระทำภายนอก [13] โดยทั่วไป ประสิทธิภาพของเส้นไขจะขึ้นอยู่กับปัจจัยดังต่อไปนี้

- ชนิดของเส้นไขที่ใช้
- การจัดเรียงตัวของเส้นไขในส่วนผสม ซึ่งโดยหลักการแล้วเส้นไขควรมีการจัดเรียงตัวในทิศทางเดียวกับทิศทางของหน่วยแรงดึงที่เกิดขึ้น
- การกระจายตัวของเส้นไขจะต้องมีความสม่ำเสมอและมีระยะห่างระหว่างเส้นไขที่เหมาะสม
- อัตราส่วนระหว่างความยาวของเส้นต่อขนาดเส้นผ่าศูนย์กลาง
- ปริมาณเส้นไขที่ใช้ในส่วนผสม

2.5 งานวิจัยที่เกี่ยวข้อง

2.5.1 การประยุกต์ใช้เส้นไขในงานคอมพิวเตอร์

ทวีชัย สำราญวนิช (2550) พบว่าคานคอมพิวเตอร์เสริมเหล็กที่ผสมเส้นไขเหล็ก เส้นไขแก้ว และเส้นไขสังเคราะห์อะคริลิก สามารถรับแรงดันได้สูงกว่าของคานคอมพิวเตอร์เสริมเหล็กที่ไม่ผสมเส้นไข ที่อัตราส่วนเส้นไขร้อยละ 0.1 และร้อยละ 0.2 โดยปริมาตรของคอมพิวเตอร์ เมื่อเปรียบเทียบที่ปริมาณเหล็กเสริมรับแรงดันและอัตราส่วนน้ำต่อซีเมนต์ของคอมพิวเตอร์เท่ากัน การใช้เส้นไขสังเคราะห์อะคริลิกผสมในคานคอมพิวเตอร์เสริมเหล็กช่วยให้คานคอมพิวเตอร์เสริมเหล็กสามารถรับแรงดันได้สูงกว่าเส้นไขเหล็กและเส้นไขแก้ว แต่ที่อัตราส่วนเส้นไขร้อยละ 0.5 โดยปริมาตรของ

ค่อนกรีต การใช้เส้นใยเหล็กผสมในคานค่อนกรีตเสริมเหล็กกลับช่วยให้คานค่อนกรีตเสริมเหล็กสามารถรับแรงกดดั้ดได้สูงกว่าเส้นใยแก้วและเส้นไส้สังเคราะห์อะคริลิก [10]

อนรรัตน์ สุริบวิจิตรศรี (2550) พบว่ากำลังรับแรงอัดคล่องเมื่อปริมาณเส้นพลาสติกเพิ่มขึ้น ค่อนกรีตเสริมเส้นพลาสติกปริมาณร้อยละ 1.0 โดยปริมาตร จะให้กำลังรับแรงดึงสูงที่สุด ค่อนกรีตเสริมเส้นพลาสติกมีไม้คุลัสบีชหยุ่นคล่อง และชนิดแอลูร์ว่างของเส้นพลาสติกมีผลต่อค่าไม้คุลัสบีชหยุ่นน้อยมาก การวินิจฉัยของค่อนกรีตเสริมเส้นพลาสติกร้อยละ 0.5 เป็นแบบทันทีทันใจ เช่นเดียวกับค่อนกรีตที่ไม่เสริมเส้นพลาสติก และเมื่อเสริมเส้นพลาสติกร้อยละ 1.0, 1.5, และ 2.0 เส้นพลาสติกจะเป็นช่วงให้ค่อนกรีตไม่ขาดจากกัน ค่อนกรีตเสริมเส้นพลาสติกมีกำลังรับแรงอัดและกำลังรับแรงดึงคล่องเมื่ออัตราส่วนน้ำต่อชิ้นmen เพิ่มขึ้น และอัตราการลดลงของกำลังรับแรงดึงมากที่สุดที่อัตราส่วนน้ำต่อชิ้นmen เท่ากับ 0.4, 0.5 และ 0.6 ตามลำดับ [11]

วราษฎร์ ป้อมเชียงพิฒ (2550) พบว่าค่อนกรีตผสมเส้นใยมีค่าการขับตัวน้อยกว่าค่อนกรีตที่ไม่ผสมเส้นใยทุกสัดส่วนผสม โดย ค่อนกรีตผสมเส้นใยสังเคราะห์ชนิดเส้นใยโพลีเอทิลีนผสมกับโพลีพรอพีลีนที่ร้อยละ 1 และ 1.5 มีค่าขับตัวน้อยที่สุดคือ 1 เซนติเมตร การผสมเส้นใยพลาสติกจะมีความยืดหยุ่นด้วงกว่าการผสมเส้นใยเหล็ก แต่เส้นใยเหล็กจะให้ค่าการสะท้อนกลับของแรงกระทำได้รวดเร็วกว่า และปริมาณเส้นใยที่ผสมลงไปในค่อนกรีตนั้นจะทำให้เห็นได้ชัดเจนถึงพฤติกรรมการรับแรงดึง หากเส้นใยนี้ปริมาณมากขึ้น ก็จะให้ค่าการสะท้อนกลับของแรงกระทำได้รวดเร็วและมากขึ้นเท่านั้น พฤติกรรมการรับแรงดึงนิดเดียวในสภาพอุณหภูมิปกติ ค่อนกรีตเสริมเส้นใยเหล็ก จะให้ค่าการรับแรงดึงดักได้มาก ที่สุด รองลงมาคือค่อนกรีตเสริมเส้นใยโพลีเอทิลีนผสมกับโพลีพรอพีลีนลำดับสุดท้ายคือ ค่อนกรีตเสริมเส้นใยโพลีพรอพีลีน และจะแตกต่างกันแปรผันตามปริมาณเส้นใยที่เพิ่มขึ้น โดยปริมาณเส้นใยร้อยละ 1.5 มีค่าการรับกำลังมากที่สุด รองลงมาคือร้อยละ 1.0 และร้อยละ 0.5 ตามลำดับ ค่าที่มากที่สุดคือ ค่อนกรีตเสริมเส้นใยเหล็กที่ร้อยละ 1.5 นิการรับแรงได้มากที่สุดคือ 26.2 กิโลนิวตัน หลังการเผาที่อุณหภูมิ 400 องศาเซลเซียสและ 600 องศาเซลเซียส มีผลทำให้ค่อนกรีตผสมเส้นใยทั้ง 3 ชนิด มีค่ากำลังดักหลังการแตกร้าวเพิ่มขึ้น โดยหลังการเผาที่อุณหภูมิ 400 องศาเซลเซียส ค่าที่มากที่สุดคือ ค่อนกรีตเสริมเส้นใยเหล็กที่ร้อยละ 1.5 มีค่าการรับกำลังเท่ากับ 39.01 กิโลนิวตัน และหลังการเผาที่อุณหภูมิ 600 องศาเซลเซียส ค่าที่มากที่สุดคือ ค่อนกรีตเสริมเส้นใยเหล็กที่ร้อยละ 1.5 มีการรับกำลังเท่ากับ 37.40 กิโลนิวตัน ส่วนค่อนกรีตผสมเส้นใยหลังการเผาที่อุณหภูมิ 800°C ค่ากำลังดักการแตกร้าวครึ่งแรกและค่ากำลังการรับแรงครึ่งที่ 2 ลดลงอย่างรุนแรง โดยเฉพาะค่อนกรีตที่ผสมเส้นใยพลาสติกสังเคราะห์หลังการเผาเส้นใยได้

ระยะหอยอกไปจนหมด ค่าที่มากที่สุดคือ คอนกรีตเสริมด้วยเหล็กที่ร้อยละ 1.5 มีค่าการรับกำลังคือ 25.46 กิโลนิวตัน [14]

ปีดิ และสูรชัย (2549) พบว่าการผสมเส้นใยไฟเบอร์เหล็กและเส้นใยพลาสติกชนิด โพลิ พรอพีลีน ในคอนกรีต ทำให้ค่าความหนาแน่นเพิ่มขึ้น อย่างไรก็ตามผู้วิจัยพบว่าพฤติกรรมภาพใต้แรงดึงของคอนกรีตที่ผสมเส้นใยเหล็กนั้นจะมีความแตกต่างไปจากคอนกรีตที่ผสมเส้นใยโพลิพรอพีลีน ค่อนข้างมาก นอกจากนี้ประสิทธิภาพของเส้นใยทั้งสองจะขึ้นอยู่กับปริมาณของเส้นใยที่ใช้ [13]

Mohammed Seddik Meddah Mohamed Bencheikh (2550) พบว่า คอนกรีตเสริมด้วย โพลิไพรอฟีลีนจากสิ่งเหลือใช้ (waste polypropylene fibres) มีค่ากำลังรับแรงอัดคงอยู่เฉพาะ อย่างยิ่งเมื่อใช้เส้นใยที่ขาวและใส่ในปริมาณที่มาก กำลังรับแรงอัดของคอนกรีตเสริมด้วยเหล็ก (waste metallic fibres) ลดลงเล็กน้อยเมื่อใส่ในปริมาณที่มากกว่า ร้อยละ 2 อย่างไรก็ตามการใส่เส้นใยโพลิไพรอฟีลีนจากสิ่งเหลือใช้ และเส้นใยแบบผสมกันช่วยเพิ่มกำลังรับแรงดึงได้ดีขึ้น มีข้อสังเกตในบางกรณีว่าการใช้วัสดุผสมเพิ่มที่มีส่วนผสมของเส้นใยโพลิไพรอฟีลีนจากสิ่งเหลือใช้จะให้ผลที่คิดว่าไม่เรื่องพฤติกรรมการแตกร้าวภายหลังการแตกร้าวครั้งแรก (post - cracking) และการรับน้ำหนักเมื่อเปรียบเทียบกับการใช้วัสดุผสมเพิ่มที่มีส่วนผสมของเส้นใยเหล็ก [16]

A.E. Richardson and C. FallowBuilt Environment (2549) พบว่า คอนกรีตเสริมด้วยเหล็กกล้า ขนาดเส้นผ่าศูนย์กลาง 6 มิลลิเมตร (mesh A142) นี้มีประสิทธิภาพในการเพิ่ม ความหนาแน่น(Toughness)และกำลังคงค้างที่คิดว่า เมื่อเปรียบเทียบกับกับประสิทธิภาพของคอนกรีตเสริมด้วย โพลิไพรอฟีลีน คอนกรีตเสริมด้วยโพลิไพรอฟีลีน ซึ่งจะมีข้อได้เปรียบกว่าคอนกรีตเสริมด้วยในช่วงที่ค่า คันนีความหนาแน่น(Toughness) มีค่ามากกว่า 10.5 เท่าของ การโถ่หัวที่การแตกร้าวครั้งแรก(I20) และหากมีค่าเพิ่มมากไปกว่านี้ก็จะมีแนวโน้มที่เส้นใยเหล็กหรือตัววัสดุจะวินาศไปก่อน ในขณะที่คอนกรีตเสริมด้วยโพลิไพรอฟีลีนที่การทดสอบแบบเดียวกันนั้น ตัวเส้นใยแข็งคงยึดเกาะร่วมกันมากกว่าเมื่อเปรียบเทียบกับเส้นใยเหล็กที่เสริมในตัวคอนกรีต [17]

2.5.2 การวิจัยเกี่ยวกับการใช้กล่องบรรจุเครื่องดื่มในงานคอนกรีต

จากรพ. แก้วกล้า (2552) พบว่าค่าบุบตัวของคอนกรีตที่ผสมเส้นใย พบร่วมกับการเพิ่มขึ้นของขนาดและปริมาณของเส้นใยแทน ไม่ส่งผลกระทบต่อค่าการบุบตัวของคอนกรีต แต่คอนกรีตที่ผสมผสานด้วยในทุกส่วนผสมจะส่งผลทำให้ค่าการบุบตัวลดลงเมื่อเทียบกับค่าการบุบตัวของคอนกรีตควบคุม โดยเฉลี่ยประมาณ 80% ในส่วนของกำลังอัดของคอนกรีตที่ผสมเส้นใยจะมีค่าลดลงตามปริมาณเส้นใยที่เพิ่มขึ้น อย่างไรก็ตามขนาดของเส้นใยมีผลต่อกำลังอัดของคอนกรีตน้อยมาก และ

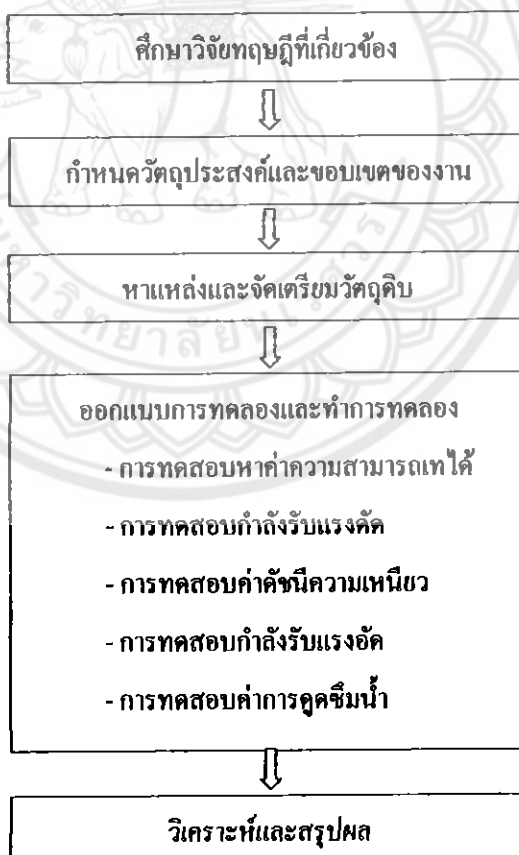
ค่าไม้คุลล์สแตเกอร์วบของคอนกรีตที่ผสมเส้นใยจะมีค่าน้อยกว่าคอนกรีตควบคุมทุกกรณี ปริมาณของเส้นใยจะแปรผันกับค่ากำลังรับแรงดึงของคอนกรีต ขนาดของเส้นใยที่ต่างกันไม่ส่งผลกระทบอย่างมีนัยสำคัญต่อค่ากำลังรับแรงดึงของคอนกรีต และในส่วนของค่าดัชนีความหนืดของคอนกรีตผสมเส้นใยจะคล่องตัวกว่าเครื่องคั่น มีแนวโน้มเพิ่มสูงขึ้นตามปริมาณการผสมเส้นใยที่เพิ่มขึ้น โดยมีค่าดัชนีสูงสุดเมื่อเส้นใยที่อัตราส่วนผสมเส้นใยร้อยละ 2.5 ในผลการทดลองของขนาดเส้นใยจะส่งผลอย่างมีนัยสำคัญต่อค่ากำลังรับแรงดึงและค่าดัชนีความหนืดขึ้น ทั้งนี้เนื่องจากผลของการจัดเรียงตัวและการกระจายตัวเนื่องจากที่ปริมาตรเดิมกันเส้นใยเล็กว่าจะมีจำนวนมากกว่า ทำให้โอกาสที่จะมีเส้นใยจัดเรียงในทิศทางและตำแหน่งที่สามารถช่วยลดแรงและการลัดงานมีมากกว่า เช่นกัน [12]

เอกพงษ์ แข็งขัน , นิรันดร ภู่ทอง , จักรกฤษณ์ จิตรกัญจน (2552) พบว่าผลของขนาดของเส้นใยจากกล่องเครื่องคั่นบูรพา เช่น ที่ต่อกุญแจสมบัติทางกลและทางกายภาพของคอนกรีต คอนกรีตที่ผสมเส้นใยขนาด 2x50 มม. มีค่าการบูรตัวต่ำกว่าคอนกรีตที่ผสมเส้นใยขนาด 4x50 มม. และ 6x50 มม. คอนกรีตที่ผสมเส้นใยขนาด 2x50 มม. มีปริมาณการดูดซึมน้ำมากกว่าคอนกรีตที่ผสมเส้นใยขนาด 4x50 มม. และ 6x50 มม. คอนกรีตที่ผสมเส้นใยขนาด 2x50 มม. มีกำลังอัดสูงกว่าคอนกรีตที่ผสมเส้นใยขนาด 4x50 มม. และ 6x50 มม. คอนกรีตที่ผสมเส้นใยขนาด 2x50 มม. มีค่าดัชนีความหนืดของมากกว่าคอนกรีตที่ผสมเส้นใยขนาด 4x50 มม. และ 6x50 มม. ผลของสัดส่วนของเส้นใยจากกล่องเครื่องคั่นบูรพา เช่น ที่มีค่าการบูรตัวลดลงเมื่ออัตราส่วนของเส้นใยเพิ่มมากขึ้น คอนกรีตที่ผสมเส้นใยจากกล่องเครื่องคั่นบูรพา เช่น ที่มีปริมาณการดูดซึมน้ำมากขึ้นเมื่ออัตราส่วนของเส้นใยเพิ่มมากขึ้น คอนกรีตที่ผสมเส้นใยจากกล่องเครื่องคั่นบูรพา เช่น ที่มีกำลังอัดลดลงเมื่ออัตราส่วนของเส้นใยเพิ่มมากขึ้น คอนกรีตที่ผสมเส้นใยจากกล่องเครื่องคั่นบูรพา เช่น ที่มีค่าดัชนีความหนืดขึ้นเมื่อเพิ่มมากขึ้นเมื่ออัตราส่วนของเส้นใยเพิ่มมากขึ้น [13]

บทที่ 3

วิธีดำเนินงานวิจัย

บทนี้จะกล่าวถึงอุปกรณ์ที่ใช้ในการทดสอบ วัสดุที่ใช้ในการทดสอบ ขั้นตอนในการทดสอบและการเก็บรวบรวมข้อมูล การดำเนินงานวิจัยนี้จะจัดทำภายใต้ห้องปฏิบัติการภาควิชา วิศวกรรมโยธา คณะวิศวกรรมศาสตร์ มหาวิทยาลัยเรศวร โดยศึกษาถึงผลของขนาดความยาว และรูปร่างของเส้นไปที่มีผลต่อ ค่าการยุบตัว ค่าดัชนีความเหนียว กำลังรับแรงตัว กำลังรับแรงอัด และค่าการอุดซึมน้ำของคอนกรีต โดยขั้นตอนหลักในการดำเนินการวิจัยเพื่อให้บรรลุผลตามวัตถุประสงค์ภายใต้ขอบเขตการวิจัยที่ได้กำหนดไว้ดังแสดงใน



ภาพ 3.1 แผนผังแสดงขั้นตอนหลักในการดำเนินการวิจัย

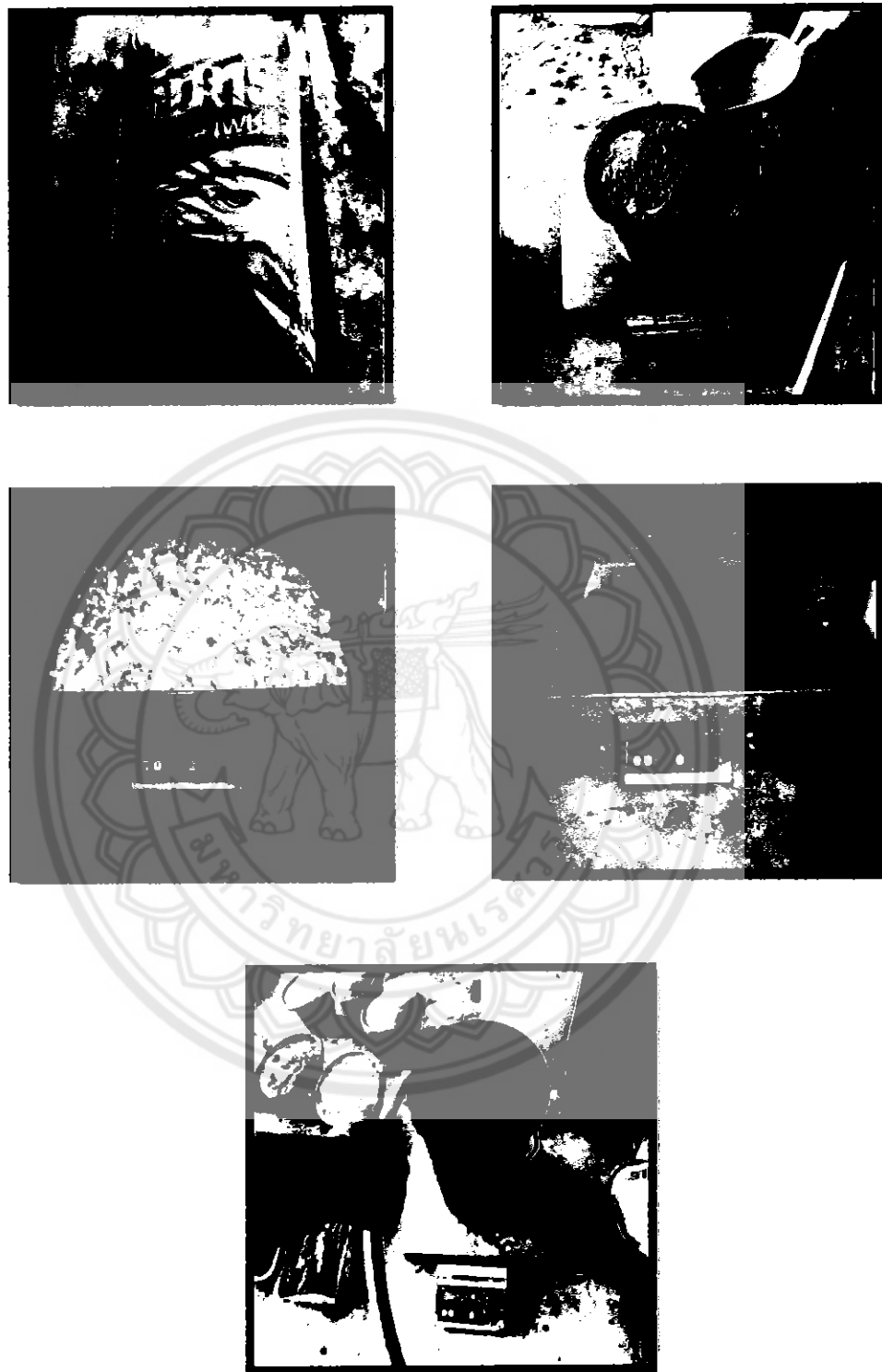
3.1 มาตรฐานที่ใช้งานอิง

- 3.1.1 มาตรฐาน ASTM C143 [9] (การทดสอบค่าความสามารถเก็บรักษาของคอนกรีต)
- 3.1.2 มาตรฐาน ASTM C78 [9] (การทดสอบกำลังรับแรงดึงของคอนกรีต)
- 3.1.3 มาตรฐาน ASTM-C1018 [9] (การหาค่าเดือนนีความหนืดของคอนกรีต)
- 3.1.4 มาตรฐาน ASTM C39-96 [9] (การทดสอบกำลังรับแรงอัดของคอนกรีต)
- 3.1.5 มาตรฐาน ASTM C128 [9] (การทดสอบค่าการดูดซึมน้ำของคอนกรีต)

3.2 วัสดุและการเตรียมตัวอย่างทดสอบ

3.2.1 วัสดุผสมที่ใช้ในคอนกรีต

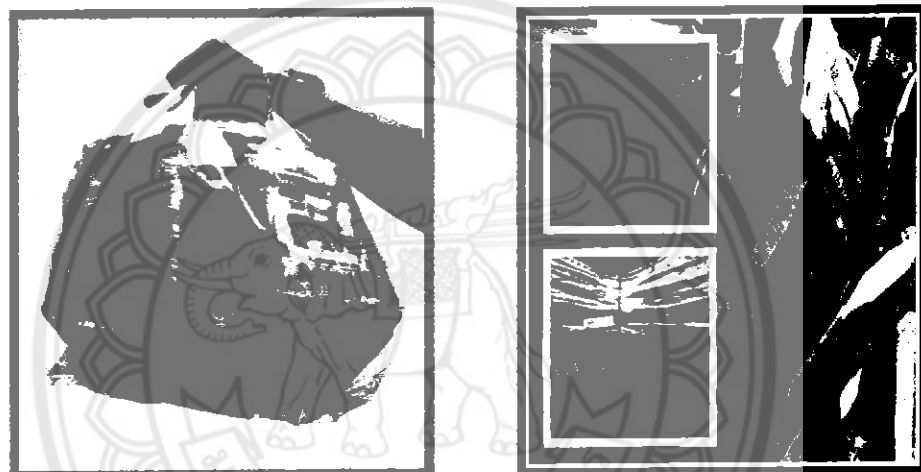
- ปูนซีเมนต์ปอร์ตแลนด์ประเภทที่หนึ่ง ตราฉลุย ตามมาตรฐานอุตสาหกรรม (TIS),
- หินขากาด โตสุด $\frac{3}{4}$ " ตามมาตรฐาน ASTM C33 [9]
- ทรายหินขาว
- น้ำประปาสำหรับผสมคอนกรีต



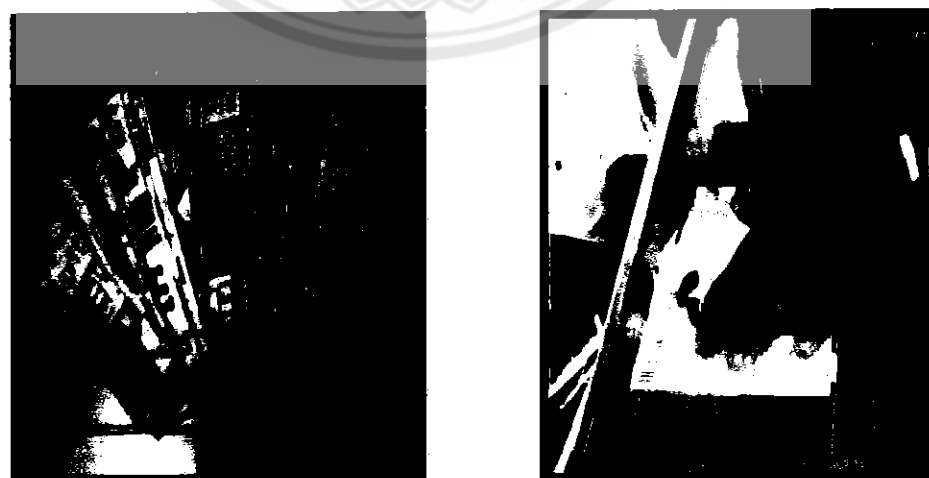
ภาพที่ 3.2 การเตรียมวัสดุทดสอบที่ใช้ในคอนกรีต

3.2.2 เส้นใยจากขยะกล่องเครื่องคัมภีร์และญี่ปุ่น

- กล่องบรรจุเครื่องคัมภีร์ชนิด ญี่ปุ่น ที่ทำการตัดเย็บให้เป็นเส้นไขเพื่อทำการทึกนา สามขนาดคือ ขนาด 2×100 มม., 2×70 มม.(ชนิดแบบขอบตรง) และ 2×50 มม.(ชนิดแบบขอบซิกแซก) ดังแสดงในรูปที่ 1, 2 และ 3 ตามลำดับ
- ปริมาณของเส้นกล่องบรรจุเครื่องคัมภีร์ที่ผสมในคอนกรีตร้อยละ 2.5



ภาพที่ 3.3 การจัดเตรียมกล่องบรรจุเครื่องคัมภีร์เป็นเส้น ญี่ปุ่น กี



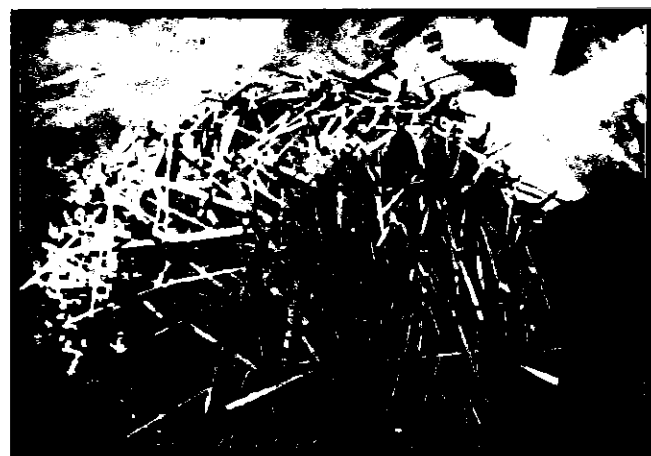
ภาพที่ 3.4 การตัดเย็บกล่องบรรจุเครื่องคัมภีร์ชนิดแบบขอบตรง



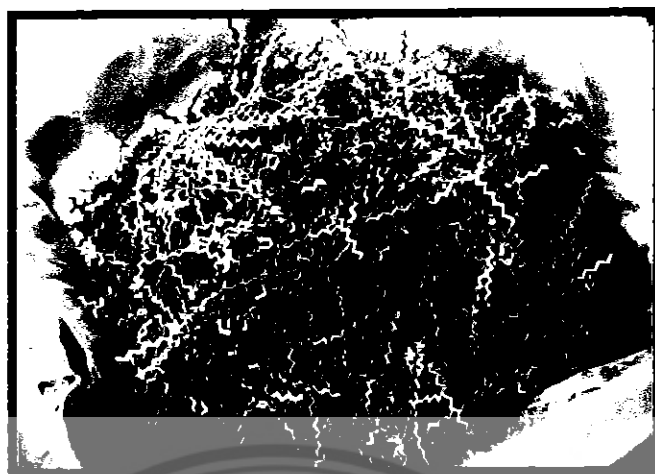
ภาพที่ 3.5 การตัดยื่นยกล่องบรรจุเครื่องดื่มน้ำดันแบบข้อบชิกเบ็ก



ภาพที่ 3.6 เส้นยกล่องบรรจุเครื่องดื่มน้ำดังการแปรรูปขนาด 2x100 น.m. ขอบตรง



ภาพที่ 3.7 เส้นยกล่องบรรจุเครื่องดื่มน้ำดังการแปรรูปขนาด 2x70 น.m. ขอบตรง



ภาพที่ 3.8 เส้นใยกล่องบรรจุเครื่องดื่มหลังการแปรรูปขนาด 2×50 นม.ของซิกแซ็ค

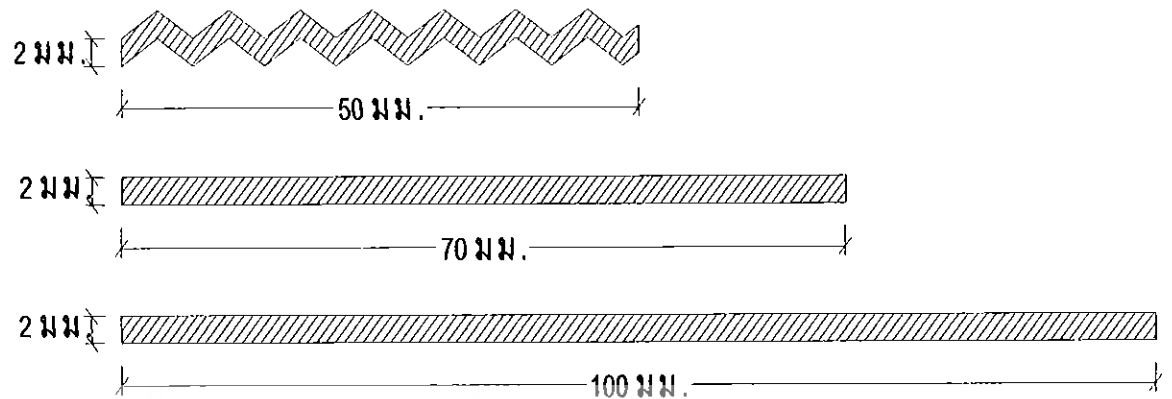
ตัวแปรในการทดสอบ

ตัวแปรในการทดสอบแบบออกคั่งนี้

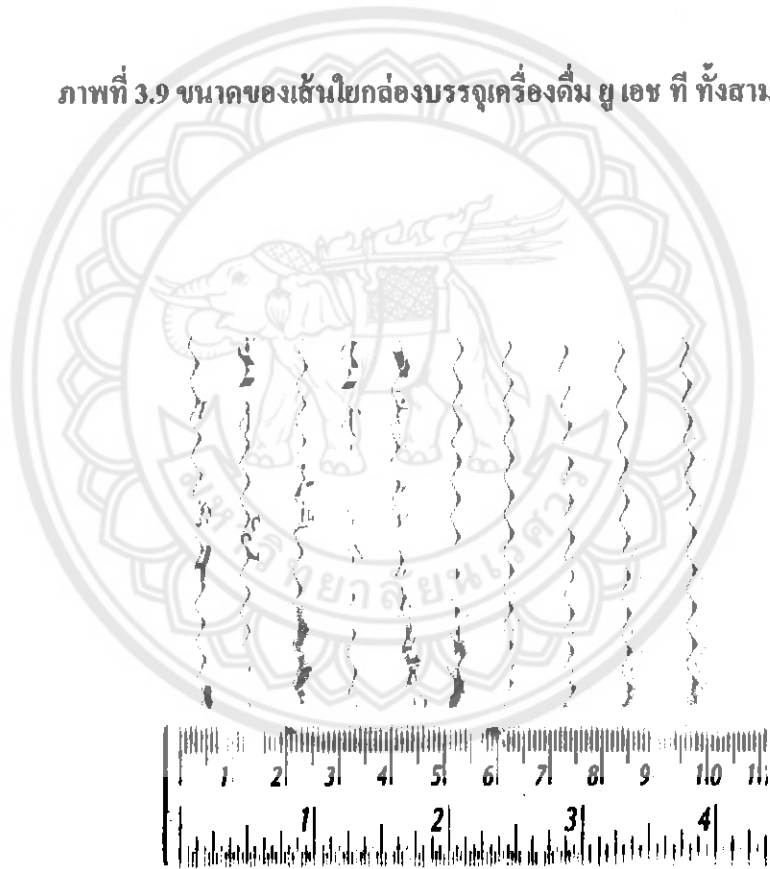
ตัวแปรต้น คือชนิดและขนาดครุภาระของเส้นใยจากกล่องนม โดยกล่องนมที่ใช้จะเป็น
กล่องนมชนิด บู เอช ที่ และขนาดของเส้นใยดังแสดงในรูปที่ 3.9

ตัวแปรตาม คือ ค่าการบูนตัว กำลังอัด กำลังดัก และการคุกซึมน้ำของคอนกรีต

ตัวแปรควบคุม คือ ปริมาณของเส้นใยซึ่งการทดสอบจะแบ่งปริมาณที่ผสมเส้นใยเป็น 2.5% โดย
ปริมาณของคอนกรีตและระยะเวลาในการบ่มคอนกรีตจะทำการทดสอบที่ 3,7,
28 และ 90 วัน ตามลำดับ



ภาพที่ 3.9 ขนาดของเส้นไขกล่องบรรจุเครื่องดื่ม ยูเอช ที่ห้องสานนิสาด



ภาพที่ 3.10 ขนาดของเส้นไขกล่องเครื่องดื่มแบบขอบซิกแซกใช้เป็นส่วนผสมในกลุ่ม

ตัวอย่างชุด E

3.3 หลักการทดสอบและวิธีการทดสอบ

3.3.1 การทดสอบค่าการยุบตัวของคอนกรีต

วัสดุประสงค์

เพื่อทำการทดสอบหาค่าขึ้นเหลว(Consistency) ของคอนกรีตสดที่ปฏิภาคส่วนผ่านผสานค่างๆ โดยใช้วิธีการทดสอบค่าการยุบตัว

เอกสารอ้างอิง

มาตรฐาน ASTM C143 [9]

วัสดุ

คอนกรีตผสมเส้นใยกล่องนม ญ เอช ที

เครื่องมือและอุปกรณ์การทดสอบ

1. โคน (Slum Mold) รูปกรวยทรงตัดเส้นผ่านศูนย์กลางด้านบน 10 ซม. และด้านล่าง 20 ซม. สูง 30 ซม. มีหูจับและแผ่นเหล็กยึดขึ้นอุกมาให้เท้าเหยียบทั้ง 2 ข้าง
2. เหล็กตัว (Tamping Rod) ขนาดเส้นผ่านศูนย์กลาง 16 มม. ยาว 60 มม. ปลายมน
3. แผ่นเหล็กสำหรับรองมีลักษณะเรียบเป็นระนาบ
4. ช้อนตัก เกรียงเหล็ก ตลับเมตร

พฤติ

การทดสอบค่าการยุบตัวเป็นการวัดความขึ้นเหลวของคอนกรีตหรือถักยเมะการไหลดตัวของคอนกรีต โดยค่าการยุบตัวจะบอกถึงความหนาแน่นของสัมผัสส่วนผ่านผสาน ขนาดคละหรือความชื้นในมวลรวม และจะบ่งบอกถึงความสามารถในการเก็บคอนกรีต

ตารางที่ 3.1 แสดงความสามารถในการทำงานของคอนกรีตสด

ระดับความสามารถทำงานได้	ค่าการบุบตัว (มม.)	ค่าคอมแพคติงแฟกเตอร์
ต่ำมาก	0-25	0.78
ต่ำ	25-50	0.85
ปานกลาง	50-100	0.92
สูง	100-175	0.95

วิธีทดสอบ

1) นำอุปกรณ์ยุ่นน้ำให้เปียก



2) วางแผ่นเหล็กลงกับพื้นราบ นำโคนขึ้นวางไว้เท้า
เหยียบปลายทั้ง 2 ข้าง ไว้



3) ใช้ช้อนตักคอนกรีตใส่โคน โดยแบ่งเป็น 3 ชั้น แต่ละ
ชั้นปริมาตรเท่าๆกัน แต่ละชั้นคำนวณหนา 25 ครั้ง



4) ดึงโคนขึ้นตรงๆ โดยไม่หมุนหรืออึด

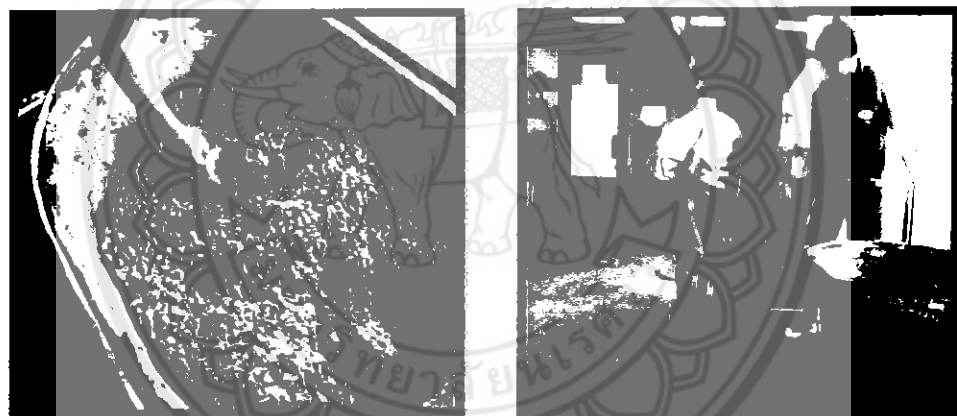


5) วางโคนลงข้างๆคอนกรีตแล้ววัดค่าการบุบตัวของ
คอนกรีต ค่าการบุบตัว คือ ค่าที่ คอนกรีตบุบตัวจากเดิม
โดยวัดจากจุดกึ่งกลางของคอนกรีตที่บุบตัว ในการวัด
ให้วัดละเอียดถึง 0.5 ซม

รูปแบบการยุบตัวของคอนกรีตโดยทั่วไป

1. True Slump การยุบตัวแบบถูกต้อง เป็นการยุบตัวของคอนกรีตภายในตัวเอง
2. Shear slump การยุบตัวแบบถูกต้อง เป็นการยุบตัวของคอนกรีตภายในตัวเอง
3. Collapse slump การยุบตัวแบบล้ม เป็นการยุบตัวของคอนกรีตที่มีความเหลวมาก

ถ้าหากคอนกรีตมีการยุบตัวแบบนี้ก็เป็น หรือแยกตัวเพราะเหลวมากเกินไป ให้ทำการทดสอบใหม่ โดยใช้คอนกรีตที่แข็งไม่ได้ทำการทดสอบ ถ้าหากพังลง 2 ครั้ง แสดงว่าคอนกรีตนี้ ส่วนผสมที่ไม่เหมาะสม



ภาพที่ 3.11 การทดสอบการยุบตัวของคอนกรีตสด



ภาพที่ 3.11 การทดสอบการยุบตัวของคอนกรีตสด(ต่อ)

3.3.2 การทดสอบกำลังรับแรงดึง

วัสดุประสงค์

เพื่อทำการทดสอบหาค่าโน้มถ่วงการแตกหักของตัวอย่างคอนกรีตที่ผสมเส้นใยกล่อง เครื่องคั่ม หยอช ที่ และเพื่อจะได้นำมาวิเคราะห์และคำนวณหาค่าดัชนีความหนึ่งของตัวอย่าง คอนกรีต

เอกสารอ้างอิง

มาตรฐาน ASTM C78 [9]

วัสดุ

ตัวอย่างคอนกรีตขนาด 15 ซม. x 15 ซม. x 65 ซม. ผสมเส้นใยกล่อง/mm

เครื่องมือและอุปกรณ์การทดสอบ

1. เครื่องทดสอบ Universal testing machine
2. Load Cell 50 kN
3. Displacement Transducer Kyowa DTH-A-100 LVDT
4. Data Logger Kyowa PCD-300B พร้อมสายนำสัญญาณ LVDT สำหรับเชื่อมต่อ สัญญาณ ระหว่าง Data Logger กับ Displacement Transducer และ ก้านกบปุ่มเชื่อมสัญญาณ Data Logger

5. คอมพิวเตอร์โน๊ตบุ๊ก ติดตั้งโปรแกรมสำหรับการทดสอบ
6. ตัวบันได

16570189

2/5.

24362 ๘
2553

หมายเหตุ

กำหนดคัดของคอนกรีตเป็นคุณสมบัติสำคัญของคอนกรีตที่แข็งตัวแล้ว ซึ่งจะแสดง ความสามารถในการรับแรงของคอนกรีต

วิธีทดสอบ

1) นำแท่นทดสอบตัวอย่างรูปปาน ติดเข้ากับเครื่อง

ทดสอบ



2) แบ่งตัวอย่างgonorrhea ตามยาว โดยเหลือปลายข้างละ
7.5 ซม. ส่วนภายในที่เหลือ แบ่งเป็น 3 ส่วนเท่าๆกัน
ส่วนละ 15 ซม.



3) นำตัวอย่างgonorrhea ตามน้ำหนักของแท่น โดยให้รอขึ้นบน
ตัวอย่างตรงกับฐานของแท่น



4) นำตัวอย่างgonorrhea ติดเข้ากับเครื่องทดสอบการ ก่อ
ตัว



5) ปรับแท่นกดด้านบนน้ำหนักตัวอย่างgonorrhea ให้
ตรงกับรอบขึ้น



6) ตั้งน้ำหนักกดให้คงที่ อัตราที่ใช้คือ 0.14-0.20 กก./ตร.
ซม./วินาที



7) เปิดเครื่องกวนน้ำหนัก จนตัวอย่างgonorrhea หลัก บันทึก
ค่าน้ำหนักในแต่ละช่วง ค่าน้ำหนักสูงสุด และค่าการ ก่อ
ตัว

จำนวนตัวอย่าง

ในการทดสอบแต่ละครั้งใช้ตัวอย่างคอนกรีต 3 ตัวอย่าง

การคำนวณ

โมดูลัสการแตกหัก

$$\text{กรณีที่ 1 ถ้าตัวอย่างแตกในช่วงกลาง } R = \frac{PL}{bd^2}$$

$$\text{กรณีที่ 1 ถ้าตัวอย่างไม่แตกในช่วงกลาง } R = \frac{3Pa}{bd^2}$$

R = โมดูลัสการแตกหัก

P = น้ำหนักคงที่สูงสุด

L = ความยาว (ระหว่างจุดรองรับ)

a = ระยะเฉลี่ยจากจุดที่แตกไปยังจุดรองรับที่ใกล้ โอบวคคำนวณที่เกิดแรงดึง

b = ความกว้างเฉลี่ยของตัวอย่าง

d = ความสือเฉลี่ยของตัวอย่าง

ตารางที่ 3.2 ตัวอย่างข้อมูลเดิมที่ได้จากการทดสอบ [12]

ชื่อชุด ตัวอย่าง คอนกรีต	แรงกดทาน (กก.)	ช่วงพาดทาน (ซม.)	ความกว้างท้องทาน (ซม.)	ความสือท้องทาน (ซม.)	กำลังรับแรงดึง (กก./ตร.ซม.)
A - 0	3,867	45	15	15	51.56
B - 025	3,100	45	15	15	41.33
C - 025	3,067	45	15	15	40.89
D - 025	3,233	45	15	15	43.11

3.3.3 การทดสอบหาค่าดัชนีความหนึ่ง

วัสดุประสงค์

เพื่อทำการทดสอบหาค่าดัชนีความหนึ่งของตัวอย่างคอนกรีตที่ผสมเส้นใยกล่อง
เครื่องคัม บูอุช ที

เอกสารอ้างอิง

มาตรฐาน ASTM C 1018-94 [9]

วัสดุ

ตัวอย่างคอนกรีตขนาด 15 ซม. x 15 ซม. x 65 ซม. ผสมเส้นใยกล่องนม

เครื่องมือและอุปกรณ์การทดสอบ

1. เครื่องทดสอบ Universal testing machine
2. Load Cell 50 kN
3. Displacement Transducer Kyowa DTH-A-100 LVDT
4. Data Logger Kyowa PCD-300B พร้อมสายนำสัญญาณ LVDT สำหรับเชื่อมต่อสัญญาณ ระหว่าง Data Logger กับ Displacement Transducer และ ถ่านกันไฟฟ้าสำรองสัญญาณ Data Logger
5. คอมพิวเตอร์โน๊ตบุ๊ก ติดตั้งโปรแกรมสำหรับการทดสอบ
6. คลิปเมตร

ทฤษฎี

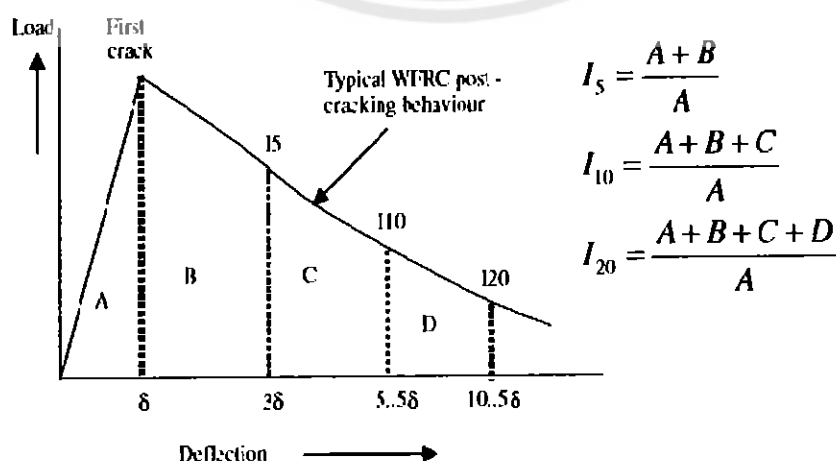
ค่าดัชนีความหนึ่งจะแสดงอยู่ในรูปสัดส่วนระหว่างความหนึ่งของที่ทำเหมือนๆ กับค่าความหนึ่งที่มีค่าเดียวกันนี้ค่าดัชนีความหนึ่งจะคำนวณโดยใช้สูตร

$$\text{ค่าดัชนีความหนึ่ง} = \frac{\text{ค่าดัชนีความหนึ่งของตัวอย่าง}}{\text{ค่าดัชนีความหนึ่งของคอนกรีตที่ไม่มีเส้นใย}}$$

ให้ความสามารถยับยั้งของโครงสร้างที่เกิดขึ้นหรือทำให้คอนกรีตบังคับรับแรงอยู่ได้ในขณะที่ค่าความเครียดเพิ่มขึ้นหรือเริ่มกว่าความหนึ่ง

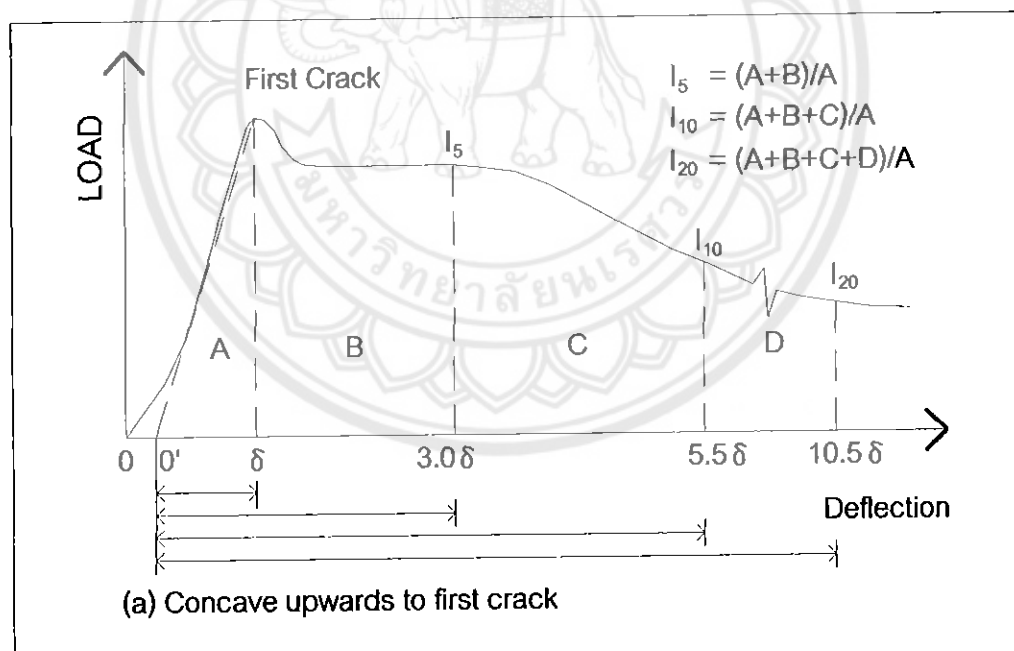
ดัชนีความเหนียว

จุดประสังค์หลักของการทดสอบเส้นใยลงในคอนกรีตคือการปิดร่องรอยแตกคร้ำที่เกิดขึ้นของคอนกรีตภายในโครงสร้างทำให้แรงกระทำซึ่งถ้าเส้นใยมีค่ากำลังรับแรงและมีแรงขึ้นบน Matrix ที่เพียงพอจะทำให้ความสามารถดับขึ้นของร่องรอยแตกคร้ำที่เกิดขึ้นหรือทำให้คอนกรีตบังคับรับแรงอยู่ได้ในขณะที่ค่าความเครียดเพิ่มขึ้นหรือเรียกว่าความเหนียว (Ductility) การวัดค่าความเหนียวมีวิธีที่ใช้กันส่วนใหญ่คือ Flexural Toughness โดยวัดจากพื้นที่ใต้กราฟของ Complete Load-Deflection Curve in Flexure ค่าที่ได้ก็คือค่า พลังงานหักหมุนที่ใช้ในการทำให้ก้อนคอนกรีตแตกหักหรือเรียกว่าการคูณขั้นพลังงาน มาตรฐานการวัดค่าความเหนียวสามารถวัดได้ คือ ASTM C 1018 โดยวิธีนี้จะเป็นค่าดัชนีความเหนียว (พื้นที่ใต้กราฟที่ค่า Deflection ของจุดที่พิจารณาขึ้นจะเป็นกี่เท่าของพื้นที่ใต้กราฟที่เกิด First Crack) สำหรับการคำนวณ โดยมาตรฐาน ASTM C 1018-97 [9] เริ่มต้นจากปรับค่าความชันของกราฟใหม่ เพื่อจะได้ค่าร้อยละการแตกคร้ำที่ถูกต้องที่สุด ตามลักษณะของแต่ละผลการทดลองที่ไม่เหมือนกัน ดังแสดงในภาพที่ 3.12 จากนั้นนำกราฟระหว่างแรงดึงดูดและการโถงตัวของงานที่ปรับแก้แล้ว โดยแบ่งออกเป็น 4 ช่วง ตามตำแหน่งของกราฟโถงตัวที่ได้กำหนดเอาไว้ดังนี้ คือการโถงตัว ณ ตำแหน่งสิ้นสุดช่วงของค่า 3δ, 5.5δ และ 10.5δ คือการโถงตัวที่ระยะ 3, 5.5 และ 10.5 เท่าของ δ ตามลำดับจากนั้นคำนวณหา Toughness จากพื้นที่ใต้กราฟตั้งแต่จุดเริ่มต้นที่ซึ่งไม่มีการปล่อยน้ำหนักกระทำจนถึงตำแหน่งของกราฟโถงตัวที่สุด 3δ, 5.5δ และ 10.5δ ตามลำดับ ค่าดัชนีความเหนียวทั้ง 15, 110 และ 120 จะบอกให้ทราบถึงระดับความเหนียวของงานที่โถงตัวน้อย ปานกลาง และโถงตัวมากตามลำดับ



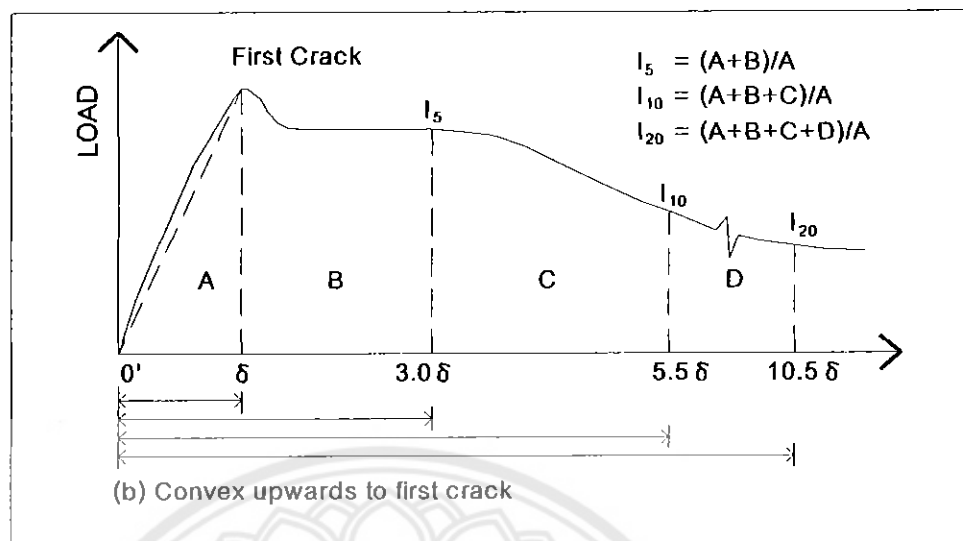
ภาพที่ 3.12 Flexural toughness indices, ASTM C1018

แนวทางการคำนวณดังนี้จากภาพ 3.13 ค่าดัชนีความเห็นยังจะแสดงอยู่ในรูปสัดส่วนระหว่างความเห็นที่คำนวณได้ กับค่าความเห็นเบื้องต้น โดยคำนวณทางจากพื้นที่ได้กราฟเริบก I_1 , I_{10} และ I_{20} แทนค่าดัชนีความเห็นของงานที่เกิดการโถ่ตัวน้อย, โถ่ตัวปานกลาง และโถ่ตัวมาก ตามลำดับ โดยหาได้จากสมการ



ภาพที่ 3.13 แสดงการหาค่าความหนาแน่นของพื้นที่ไดกราฟที่มีลักษณะรูปเรขา

ก่อนถึงจุดแตกหักของคาน ตาม ASTM C1018-94b



ภาพที่ 3.14 แสดงการหาค่าความหนืดของพื้นที่ไดกราฟที่มีลักษณะรูปปุ่น

ขั้นก่อนเมื่อถูกหักของคาน ตาม ASTM C1018-94b

จากผลการทดสอบกำลังคัดตามมาตรฐาน ASTM C78 [9] แล้วนำข้อมูลจาก DATA LOGGER ที่บันทึกความสัมพันธ์ระหว่างน้ำหนักกระทำกับค่าการโถ่ตัวของคานตัวอย่างที่ทดสอบ บันทึกผลทดสอบได้ตามตารางที่ 3.3

ตารางที่ 3.3 ตัวอย่างข้อมูลการทดสอบเดินของน้ำหนักกระทำและค่าโถ่ตัวของคาน

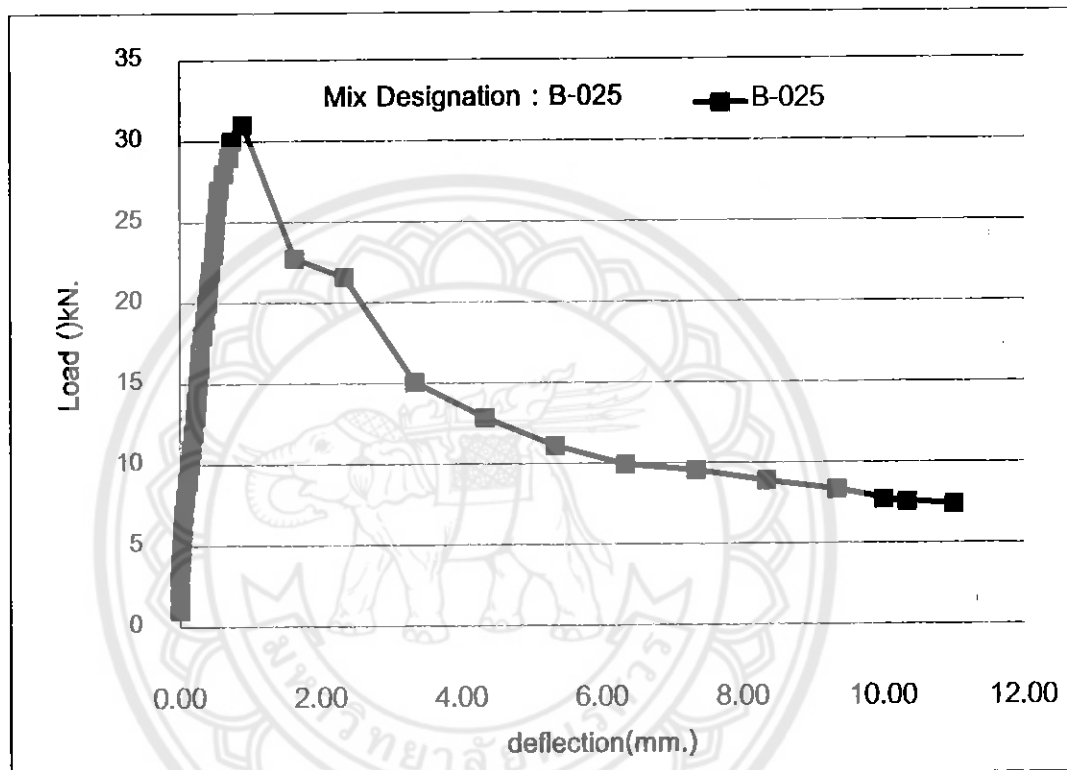
ทดสอบ B-025 [12]

Mix Designation : B-025							
ตัวอย่างที่ 1		ตัวอย่างที่ 2		ตัวอย่างที่ 3		B-025	ค่าเฉลี่ย
Deflection	Load	Deflection	Load	Deflection	Load		
0.00	1	0.00	1	0.00	1	0.00	1.00
0.00	2	0.00	2	0.00	2	0.00	2.00
0.00	3	0.00	3	0.00	3	0.00	3.00
0.00	4	0.04	4	0.00	4	0.01	4.00
0.00	5	0.06	5	0.02	5	0.03	5.00
0.00	6	0.06	6	0.06	6	0.04	6.00
0.00	7	0.08	7	0.08	7	0.05	7.00

0.00	8	0.10	8	0.14	8	0.08	8.00
0.02	9	0.14	9	0.18	9	0.11	9.00
0.04	10	0.20	10	0.20	10	0.15	10.00
0.04	11	0.24	11	0.22	11	0.17	11.00
0.06	12	0.26	12	0.26	12	0.19	12.00
0.10	13	0.28	13	0.30	13	0.23	13.00
0.12	14	0.28	14	0.32	14	0.24	14.00
0.14	15	0.28	15	0.36	15	0.26	15.00
0.16	16	0.30	16	0.38	16	0.28	16.00
0.16	17	0.30	17	0.40	17	0.29	17.00
0.20	18	0.36	18	0.42	18	0.33	18.00
0.22	19	0.38	19	0.48	19	0.36	19.00
0.24	20	0.44	20	0.50	20	0.39	20.00
0.28	21	0.46	21	0.50	21	0.41	21.00
0.34	22	0.46	22	0.52	22	0.44	22.00
0.40	23	0.46	23	0.60	23	0.49	23.00
0.42	24	0.48	24	0.60	24	0.50	24.00
0.46	25	0.48	25	0.60	25	0.51	25.00
0.48	26	0.54	26	0.60	26	0.54	26.00
0.52	27	0.56	27	0.60	27	0.56	27.00
0.64	28	0.56	28	0.68	28	0.63	28.00
0.78	29	0.62	29	0.70	29	0.70	29.00
0.82	30	0.66	30	0.74	30	0.74	30.00
1.00	31	0.68	31	1.00	31	0.89	31.00
2.00	13.3	0.88	32	2.00	22.9	1.63	22.73
3.00	12.2	1.00	33	3.00	19.5	2.33	21.57
4.00	11.8	2.00	19	4.00	14.4	3.33	15.07
5.00	10.9	3.00	15.3	5.00	12.4	4.33	12.87
6.00	9.5	4.00	12.8	6.00	11	5.33	11.10
7.00	9.2	5.00	10.6	7.00	10	6.33	9.93
8.00	8.8	6.00	10.1	8.00	9.8	7.33	9.57
9.00	8.6	7.00	9.3	9.00	8.8	8.33	8.90

0.00	8	0.10	8	0.14	8	0.08	8.00
0.02	9	0.14	9	0.18	9	0.11	9.00
0.04	10	0.20	10	0.20	10	0.15	10.00
0.04	11	0.24	11	0.22	11	0.17	11.00
0.06	12	0.26	12	0.26	12	0.19	12.00
0.10	13	0.28	13	0.30	13	0.23	13.00
0.12	14	0.28	14	0.32	14	0.24	14.00
0.14	15	0.28	15	0.36	15	0.26	15.00
0.16	16	0.30	16	0.38	16	0.28	16.00
0.16	17	0.30	17	0.40	17	0.29	17.00
0.20	18	0.36	18	0.42	18	0.33	18.00
0.22	19	0.38	19	0.48	19	0.36	19.00
0.24	20	0.44	20	0.50	20	0.39	20.00
0.28	21	0.46	21	0.50	21	0.41	21.00
0.34	22	0.46	22	0.52	22	0.44	22.00
0.40	23	0.46	23	0.60	23	0.49	23.00
0.42	24	0.48	24	0.60	24	0.50	24.00
0.46	25	0.48	25	0.60	25	0.51	25.00
0.48	26	0.54	26	0.60	26	0.54	26.00
0.52	27	0.56	27	0.60	27	0.56	27.00
0.64	28	0.56	28	0.68	28	0.63	28.00
0.78	29	0.62	29	0.70	29	0.70	29.00
0.82	30	0.66	30	0.74	30	0.74	30.00
1.00	31	0.68	31	1.00	31	0.89	31.00
2.00	13.3	0.88	32	2.00	22.9	1.63	22.73
3.00	12.2	1.00	33	3.00	19.5	2.33	21.57
4.00	11.8	2.00	19	4.00	14.4	3.33	15.07
5.00	10.9	3.00	15.3	5.00	12.4	4.33	12.87
6.00	9.5	4.00	12.8	6.00	11	5.33	11.10
7.00	9.2	5.00	10.6	7.00	10	6.33	9.93
8.00	8.8	6.00	10.1	8.00	9.8	7.33	9.57
9.00	8.6	7.00	9.3	9.00	8.8	8.33	8.90

จากนั้นนำข้อมูลค่าน้ำหนักกระทำแล้วกับค่าการโถงตัวเฉลี่ยของคาน ไปเขียนเป็นกราฟ แสดงความสัมพันธ์ระหว่างน้ำหนักกระทำกับค่าการโถงตัวของคานตัวอย่างที่ทดสอบได้ด้านรูปที่ 3.15



ภาพที่ 3.15 แสดงความสัมพันธ์ระหว่างน้ำหนักกระทำกับค่าโถงตัวของตัวอย่าง

B-025

แล้วนำไปหาพื้นที่ได้กราฟ ตามมาตรฐาน ASTM C 78-94 ข้างต้น จะได้ค่าดังนี้ความ
หนีบของตัวอย่างคานทดสอบ ตามตารางที่ 3.4

ตารางที่ 3.4 ตัวอย่างข้อมูลเดิมของกำลังนิรภัยของตัวอย่างคอนกรีต [12]

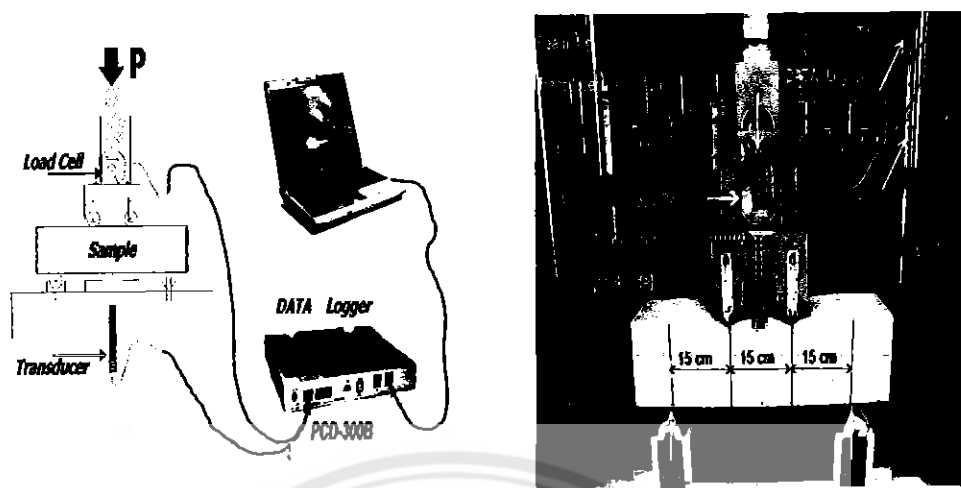
Series	Size Fiber	Mix Designation	First crack	First crack deflection	Area A	Area B	Area C	Area D	15	110	120	R5,10	R10,20
A	0	A - 0	38.67	0.17	150.16	85.05	34.32	36.99	1.57	1.79	2.04	4.57	2.46
B	2 x 50 mm	B - 025	31.00	0.10	306.83	959.48	729.45	974.64	3.68	5.72	8.62	40.82	29.05
C	4 x 50 mm	C - 025	30.67	0.19	388.41	1111.44	744.28	633.10	3.45	5.17	6.56	34.46	13.95
D	6 x 50 mm	D - 025	32.33	0.19	295.64	710.86	478.32	398.01	3.25	5.28	6.28	34.74	14.08



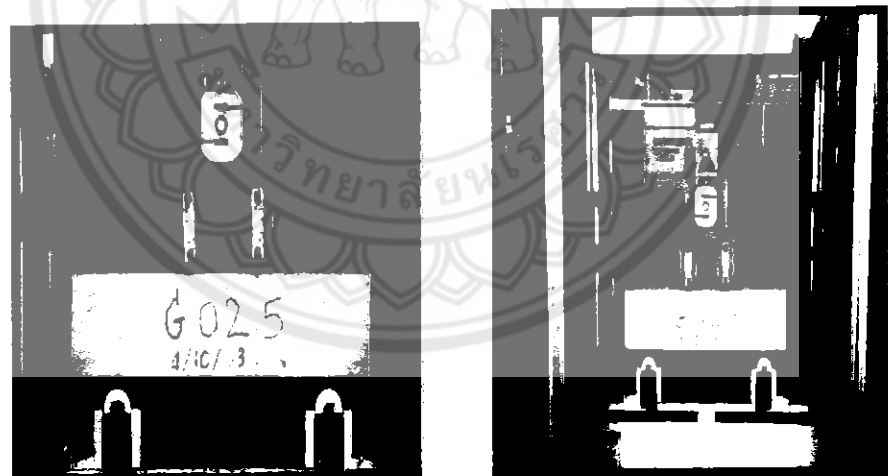
ภาพที่ 3.16 การนำคอนกรีตไปเทในแบบหล่อขนาด 15 ซม.x 15 ซม.x 65 ซม.



ภาพที่ 3.17 แสดงการติดตั้งตัวอย่างสำหรับการทดสอบห้ามลังรับแรงดันของ
ตัวอย่างคอนกรีต

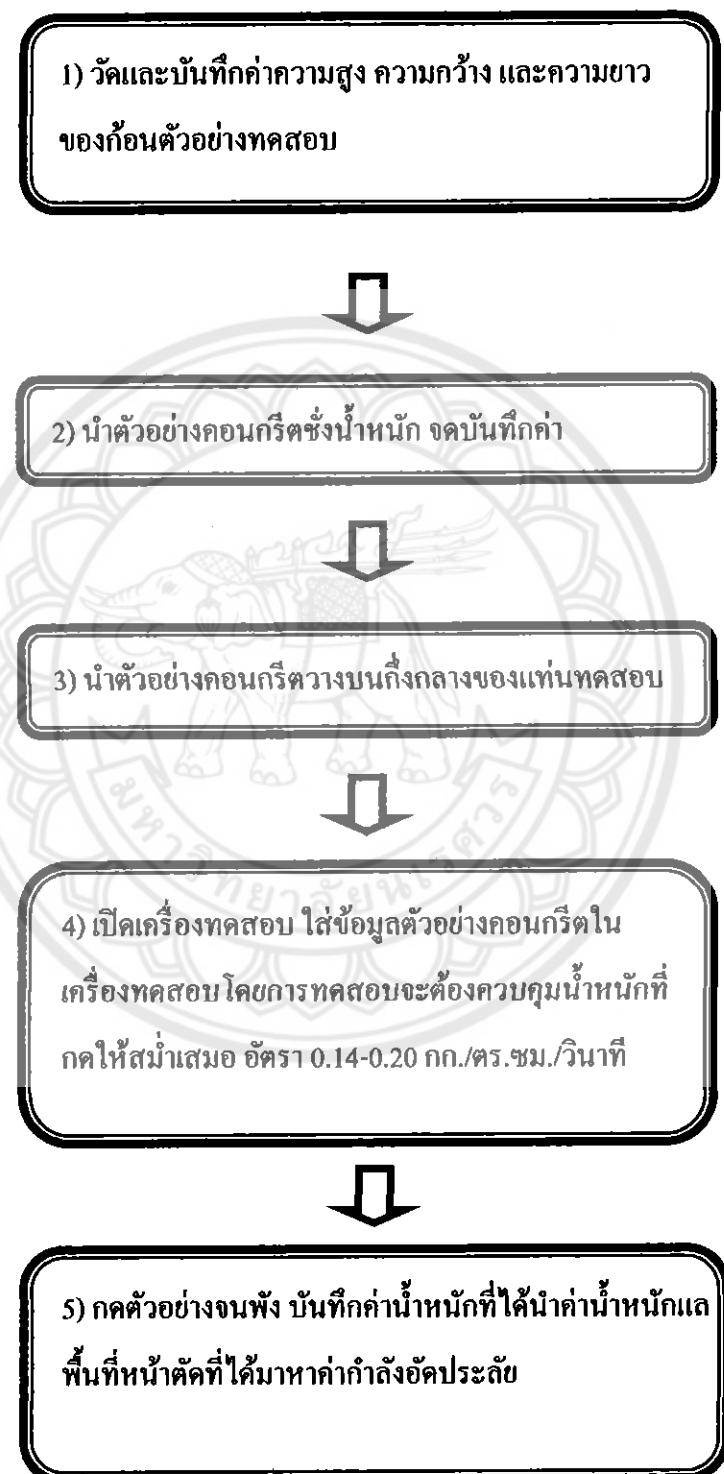


ภาพที่ 3.18 แสดงการเชื่อมต่อเครื่องมือและอุปกรณ์การทดสอบ



ภาพที่ 3.19 ตัวอย่างงานคอกนกรีดที่พร้อมทำการทดสอบ

วิธีทดสอบ

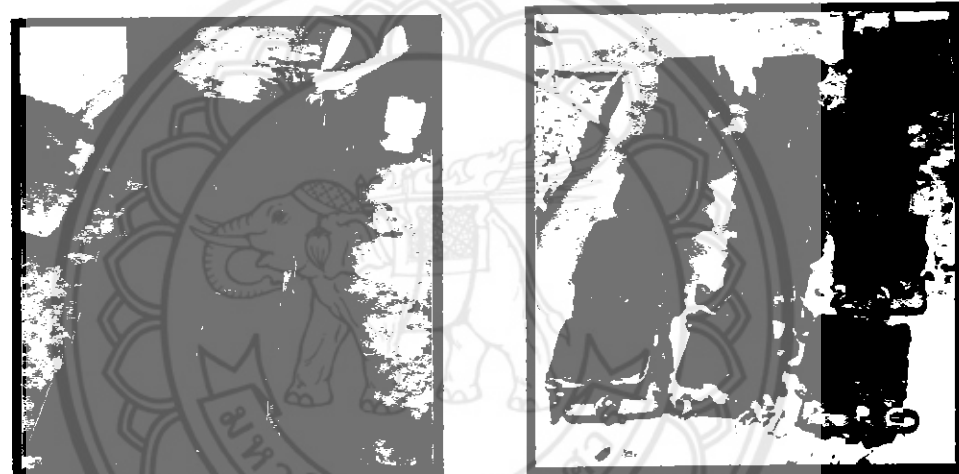


จำนวนตัวอย่าง

ในการทดสอบแต่ละครั้งใช้ตัวอย่างคอนกรีต 3 ตัวอย่าง

การคำนวณ

$$\text{กำลังอัดประดับ} = \frac{\text{น้ำหนักกดประดับ}}{\text{พื้นที่หน้าตัดของก้อนตัวอย่าง}} \text{ กก./ตร.ซม.}$$



ภาพที่ 3.20 แบบหล่อตัวอย่างคอนกรีตทรงสูญเสียขนาด 15x15x15 cm



ภาพที่ 3.21 การทดสอบกำลังรับแรงอัด

ภาพที่ 3.22 ลักษณะการวินิจฉัยตัวอย่าง

ขนาด 15x15x15 ซม.

3.3.5 การทดสอบค่าการดูดซึมน้ำ

วัตถุประสงค์

เพื่อทำการทดสอบหาค่าการดูดซึมน้ำของคอนกรีต

เอกสารอ้างอิง

มาตรฐาน ASTM C128 [9]

วัสดุ

ตัวอย่างคอนกรีตขนาด 15 ซม. x 15 ซม. x 15 ซม. (ผสานเส้นใยกล่องนน)

เครื่องมือและอุปกรณ์การทดสอบ

1. อ่างใส่น้ำแข็งตัวอย่างคอนกรีต
2. ตู้อบ
3. ผ้าสะอาด
4. เครื่องชั่ง

ขั้นตอน

การดูดซึมน้ำ ก็คือปริมาณน้ำที่ถูกดูดซึมน้ำไปจนเต็มช่องว่างที่น้ำซึมผ่านได้ แสดงค่าเท่านั้น ร้อยละของน้ำหนักน้ำที่อยู่ในช่องว่างต่อน้ำหนักคอนกรีตที่สภาพอนแห้ง

วิธีทดลอง

1) ผสมคอนกรีตแล้วเทคอนกรีตลงในแบบ

ขนาด 15 ซม.x 15 ซม.x 15 ซม.



2) นำตัวอย่างคอนกรีตซึ่งน้ำหนักในอากาศ



3) นำตัวอย่างคอนกรีตเข้าไปในน้ำ เป็นเวลา 24 ชั่วโมง



4) นำตัวอย่างคอนกรีตที่แช่น้ำมาเช็คผิวให้แห้งแล้ว
ซึ่งน้ำหนัก และจดบันทึกค่า (น้ำหนักตัวอย่างอ่อนตัวผิว
แห้ง)



5) นำตัวอย่างในข้อ 3 ไปอบเป็นเวลา 24 ชั่วโมง



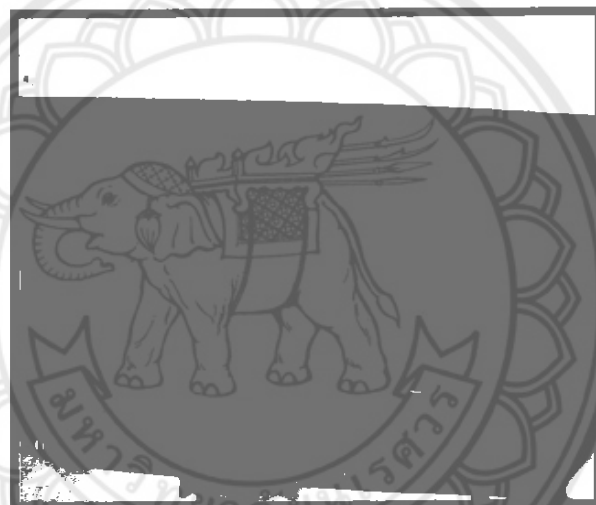
6) ซึ่งน้ำหนักของตัวอย่างคอนกรีตหลังจากที่อบแล้ว
และจดบันทึกค่า (น้ำหนักตัวอย่างอบแห้ง)

จำนวนตัวอย่าง

ในการทดสอบแต่ละครั้งใช้ตัวอย่างคอนกรีต 3 ตัวอย่าง

การคำนวณ

$$\text{ร้อยละของการดูดซึม} = \frac{\text{น้ำหนักตัวอย่างอิ่มน้ำพิเศษ} - \text{น้ำหนักตัวอย่าง空แห้ง}}{\text{น้ำหนักตัวอย่างแห้ง}} \times 100$$



ภาพที่ 3.23 ตัวอย่างคอนกรีตแข็งน้ำเป็นเวลา 24 ชั่วโมง



ภาพที่ 3.24 ตัวอย่างคอนกรีตหลังการอบเป็นเวลา 24 ชั่วโมง

3.4 ประชารถและกอญตัวอย่าง

ในงานวิจัยจะแบ่งชุดการทดสอบออกเป็น 3 ชุด โดยแต่ละชุดแบ่งการทดสอบออกเป็น การทดสอบค่าการยุบตัวของคอนกรีต การทดสอบกำลังรับแรงดัน กำลังรับแรงอัดและการคูณซึ่งน้ำของคอนกรีตแต่ละชุดการทดสอบมีรายละเอียดส่วนผสมของตัวอย่างที่ผสมเส้นใยแบบของตรง ผสมเส้นใยแบบของซิกแซ็ก และจำนวนของตัวอย่างดังนี้

ตารางที่ 3.5 แสดงรายละเอียดส่วนผสมของตัวอย่างที่ผสมเส้นใย สำหรับการทดสอบกำลังรับแรงอัด, กำลังรับแรงดัน, ค่าการยุบตัวและการคูณซึ่งน้ำ

Size Fiber	Mix Designation	Cement (kg)	W/C	W (kg)	V of Agg (m ³)	S/A	Wt. of S (kg)	Wt. of CA (kg)	Fiber (kg)
2x 50mm Zigzag	E-025	350	0.6	210	0.664	0.4	690	1056	25
2x70mm Straight	F-025	350	0.6	210	0.664	0.4	690	1056	25
2x100mm Straight	G-025	350	0.6	210	0.664	0.4	690	1056	25

ตารางที่ 3.6 แสดงสรุปรายละเอียดส่วนผสมของตัวอย่างที่ผสมเส้นใย สำหรับการทดสอบกำลังรับแรงดัน, กำลังรับแรงดัน, ค่าการยุบตัวและการคูณซึ่งน้ำ

Size Fiber	Mix Designation	Fiber (%)	C (kg.)	W (kg.)	Sand (kg.)	CA (kg.)	Fiber (kg.)	Total (kg.)
2x 50mm Zigzag	E-025	2.5	25.55	15.33	50.38	77.10	1.83	170.64
2x70mm Straight	F-025	2.5	38.02	22.81	74.96	114.72	2.72	253.23
2x100mm Straight	G-025	2.5	38.02	22.81	74.96	114.72	2.72	253.23
Total			101.59	60.95	200.30	306.54	7.27	677.10

ตารางที่ 3.7 แสดงสรุปจำนวนของตัวอย่างที่ผ่านการทดสอบสำหรับการทดสอบกำลังรับแรงอัด, กำลังรับแรงดึง และการดูดซึมน้ำ

Size Fiber	Mix Designation	Total of Specimen compressive Test	Total of Specimen Flexural Test	Total of Specimen Absorption Test	Total of specimen
2x 50mm Zigzag	E-025	15	3	3	21
2x70mm Straight	F-025	15	3	3	21
2x100mm Straight	G-025	15	3	3	21
					Total 63

3.5 เครื่องมือและอุปกรณ์ที่ใช้ในการวิจัย

3.5.1. Universal Testing Machine

3.5.2. เครื่องทดสอบกำลังรับแรงอัด

3.5.3. เครื่องทดสอบกำลังรับแรงดึง

3.5.4. ชุดทดสอบค่าการยุบตัว

3.5.5. เครื่องซึ้ง

3.5.6. คลิปเมตร สำหรับวัดขนาดชิ้นตัวอย่างทดสอบ

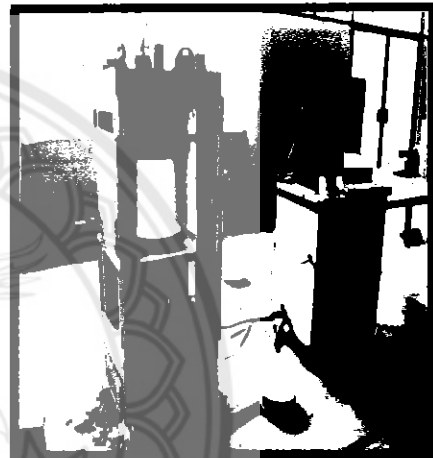
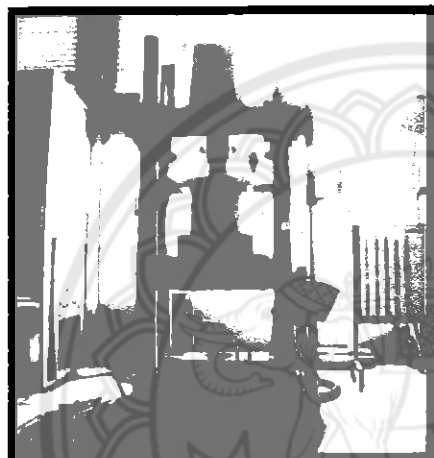
3.5.7. ชุดCAPหัวก้อนตัวอย่างรูปทรงกระบอก

3.5.8. แบบหล่อตัวอย่างคอนกรีตขนาด 15x15x65 cm. จำนวน 3 ชุด

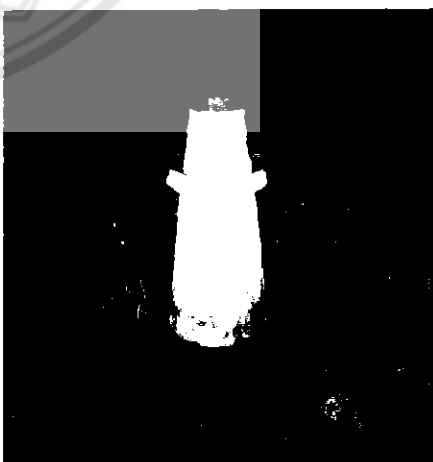
3.5.9. แบบหล่อตัวอย่างคอนกรีตทรงลูกบาศก์ขนาด 15x15x15 cm. จำนวน 15 ชุด

3.5.10. แบบหล่อตัวอย่างคอนกรีตทรงกระบอกขนาด 15x30 cm. จำนวน 3 ชุด

- 3.5.11. เครื่องขันไหหนักขนาด 2 ตัน แบบเคลื่อนที่ได้
- 3.5.12. Displacement Transducer ยี่ห้อ Kyowa รุ่น DTH-A-100 LVDT จำนวน 1 เครื่อง
- 3.5.13. Data Logger ยี่ห้อ Kyowa รุ่น PCD-300B จำนวน 1 เครื่อง
- 3.5.14. Load Cell 50 kN
- 3.5.15. อุปกรณ์คานกดสำหรับทดสอบกำลังรับแรงด้วยแบบ Three Point Load

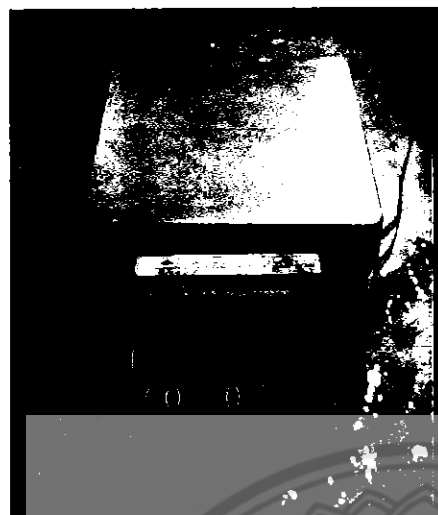


ภาพที่ 3.25 เครื่อง Universal Testing Machine ภาพที่ 3.26 เครื่องทดสอบกำลังรับแรงด้วย



ภาพที่ 3.27 เครื่องผสานคอนกรีต

ภาพที่ 3.28 ชุดทดสอบค่าการยูนตัว



ภาพที่ 3.29 เครื่องชั่ง

ภาพที่ 3.30 ชุดCAPหัวก้อนตัวอย่างรูป

ทรงกระบอก



ภาพที่ 3.31 แบบหล่อตัวอย่างคอนกรีต

ทรงกระบอกขนาด 15x30 ซม.

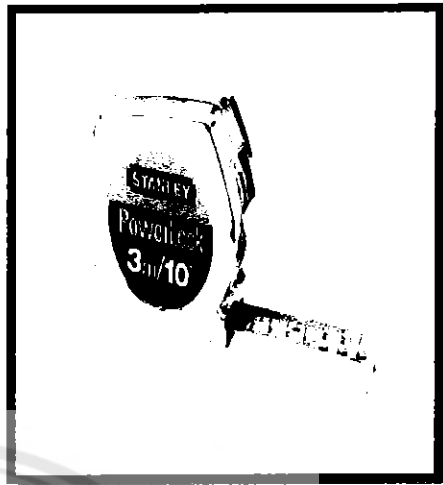


ภาพที่ 3.32 แบบหล่อตัวอย่างคอนกรีต

ขนาด 15x15x65 ซม.



ภาพที่ 3.33 แบบหล่อตัวอย่างคอนกรีตถูกน้ำ acidic



ภาพที่ 3.34 ตัวบันเมตร

ขนาด 15x15x15 ซม.

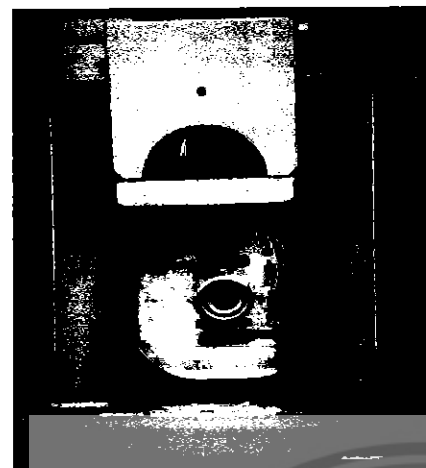


ภาพที่ 3.35 เครื่องยกหัวหนักขนาด 2 ตัน

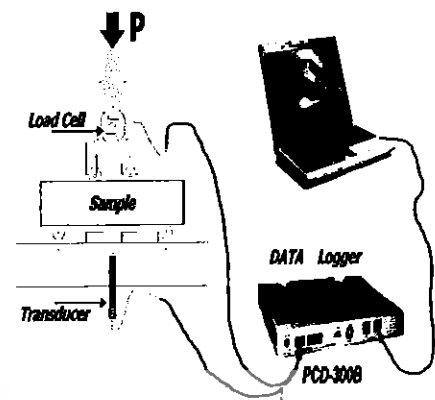
แบบคลื่อนที่ไป



ภาพที่ 3.36 Displacement Transducer



ภาพที่ 3.37 Load Cell 50 kN



ภาพที่ 3.38 การติดตั้งเครื่องมือการ

ทดสอบกำลังรับแรงดึง



ภาพที่ 3.39 อุปกรณ์คานกดสำหรับทดสอบกำลังรับแรงดึงแบบ Three Point Load

3.6 การเก็บรวบรวมข้อมูล

เก็บรวบรวมข้อมูลการทดสอบของแท่งคอนกรีตตัวอย่างที่ต้องการศึกษาที่ได้จากการทดสอบในห้องปฏิบัติการ โดยทำการทดสอบตัวอย่างชุดที่ 1, ชุดที่ 2 และชุดที่ 3 โดยแบ่งลักษณะของรูปทรงตัวอย่างทดสอบออกเป็น 3 ลักษณะดังนี้ ตัวอย่างคอนกรีตถูกขนาด 15x15x15 ซม. ทำการทดสอบและเก็บข้อมูลที่ระยะเวลา 3, 7, 28 และ 90 วัน ตัวอย่างคอนกรีตทรงกระบอกขนาด 15x30 ซม. ทำการทดสอบและเก็บข้อมูลที่ระยะเวลา 28 วัน ตัวอย่างคอนกรีตขนาด 15x15x65 ซม. ทำการทดสอบและเก็บข้อมูลที่ระยะเวลา 28 วัน แล้วรวมรวมข้อมูลนำผลมาวิเคราะห์ว่า ขนาดความกว้างและยาวปร่างของเส้นไขกล่องเครื่องคัม บูโซช ที่ และสัดส่วนใดให้ผลการทดสอบดีที่สุด

3.7 การวิเคราะห์ข้อมูล

วิเคราะห์ข้อมูลจากข้อมูลที่รวบรวมจากการทดสอบโดยทำการเปรียบเทียบกับข้อมูลที่มีการทำวิจัยเดินของ ชาญพร แก้วกล้า และเอกพงษ์ แข็งขัน, นรินทร ภู่ทอง, อรรถกฤษณ์ จิตรค้ำญ โดยการนำ B-025 ซึ่งเป็นตัวแทนของตัวอย่างคอนกรีตที่เหมาะสมทางด้านการรับแรงดึงและตัวนีความหนาแน่นที่สุดนำมาไปเป็นตัวตั้งและนำข้อมูลชุดควบคุม A-0 ซึ่งเป็นตัวตั้งเปรียบเทียบกับช่วง เช่นกัน โดยงานวิจัยเดินที่มีอยู่แล้วนั้นได้ผลว่า B-025 ให้ผลทดสอบเหมาะสมที่สุด ทางด้านการรับแรงดึงและตัวนีความหนาแน่น จึงทำการวิเคราะห์ข้อมูลต่อเก็บกับผลกระทบของรูปร่าง และความ ขาวของเส้นใบ ต่อคุณสมบัติของคอนกรีตด้านต่างๆ ดังที่กล่าวมาแล้วข้างต้น โดยใช้โปรแกรม คอมพิวเตอร์ช่วยในการวิเคราะห์ (AutoCAD, EXCEL)

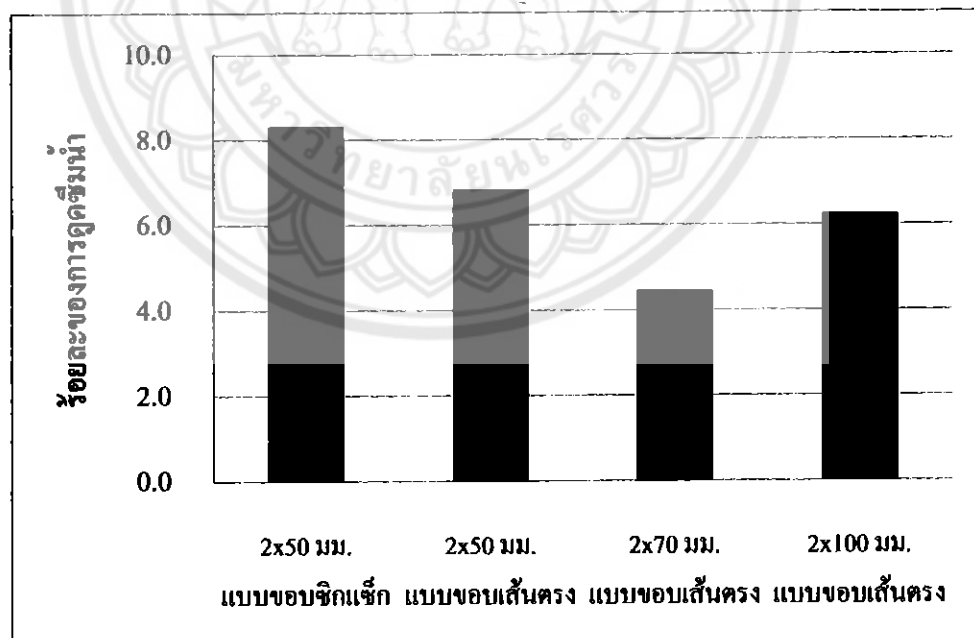
บทที่ 4

ผลการวิจัย

4.1 ผลการทดสอบคุณสมบัติของเส้นใยจากยางกล่องเครื่องดื่ม

4.1.1 ผลการทดสอบหาค่าการคูดซึ่มน้ำของเส้นใยจากยางกล่องเครื่องดื่ม

ผลการทดสอบหาค่าการคูดซึ่มน้ำของเส้น พบว่า การคูดซึ่มน้ำของเส้น ไขบนาด 2x50 มม. แบบขบซิกแซ็ก, 2x50 มม. แบบขบเส้นตรง, 2x70 มม. แบบขบเส้นตรง และ 2x100 มม. แบบขบเส้นตรง มีค่าเท่ากับร้อยละ 8.30, ร้อยละ 6.82, ร้อยละ 4.44 และร้อยละ 6.24 ตามลำดับ ค่อนกรีดที่ผสมเส้นไขบที่มีไขบนาด 2x50 มม. แบบขบซิกแซ็กกว่าจะมีค่าการคูดซึ่มน้ำได้มากกว่า ค่อนกรีดที่ผสมเส้นไขทั้งหมด ความสัมพันธ์ค่าการคูดซึ่มน้ำของเส้น ไขบนาด ยางกล่องเครื่องดื่ม แสดงในภาพที่ 4.1



ภาพที่ 4.1 แสดงความสัมพันธ์ของค่าการคูดซึ่มน้ำของเส้น ไขบนาด ยางกล่องเครื่องดื่ม

4.2 ผลการทดสอบเพื่อหาอิทธิพลของความยาวเส้นใยต่อคุณสมบัติของคอนกรีต

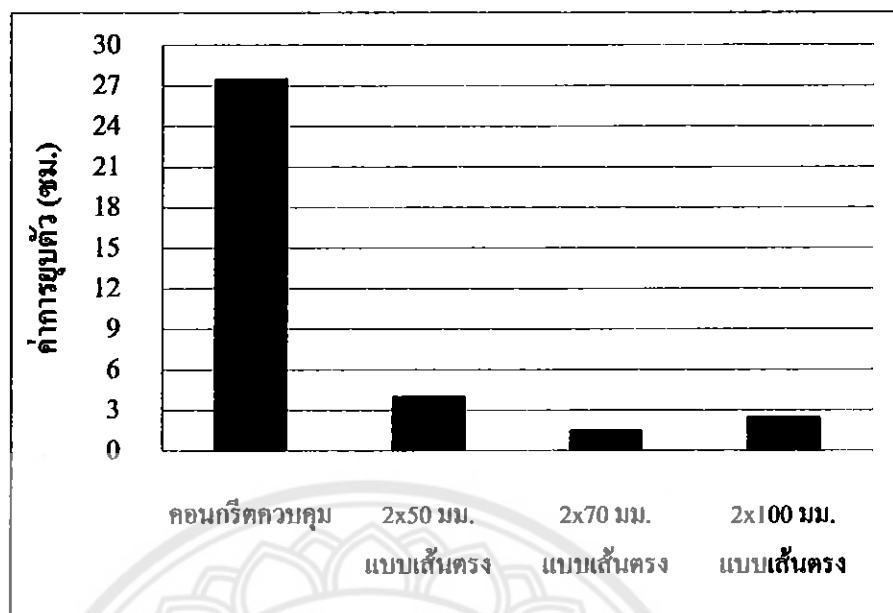
จากผลการทดสอบเพื่อหาอิทธิพลของขนาดเส้นใยต่อคุณสมบัติของคอนกรีต ได้ตัวแทนของตัวอย่างคอนกรีตที่เน้นะสมต่อการพัฒนาคุณสมบัติของคอนกรีตคือ คุณสมบัติเกี่ยวกับดัชนีความเหนียวที่เพิ่มขึ้น เมื่อพิจารณาแล้วได้ขนาดของเส้นใยที่ดีที่สุดที่มีผลทำให้คุณสมบัติของคอนกรีตเพิ่มขึ้น คือเส้นใยขนาด $2x50\text{ mm}$. [13]

และผลจากการทดสอบเพื่อหาอิทธิพลของปริมาณเส้นใยต่อคุณสมบัติของคอนกรีต ได้ตัวแทนของตัวอย่างคอนกรีตที่มีคุณสมบัติเน้นะสมต่อการพัฒนาคุณสมบัติของคอนกรีตคือ คุณสมบัติเกี่ยวกับดัชนีความเหนียวที่เพิ่มขึ้น เมื่อพิจารณาแล้วได้ปริมาณของเส้นใยที่ดีที่สุดที่มีผลทำให้คุณสมบัติของคอนกรีตเพิ่มขึ้น คือ การผสมเส้นใยในปริมาณร้อยละ 2.5 โดยปริมาตรของคอนกรีต [13]

จากผลการทดสอบคังกล่าวข้างต้นนำข้อมูลไปออกแบบทำการทดสอบโดยแบ่งเป็นความยาวของเส้นใย ซึ่งจากเดิมเป็นเส้นใยขนาด $2x50\text{ mm}$. จะแบ่งความยาวของเส้นใยเป็น ขนาด $2x70\text{ mm}$. และ $2x100\text{ mm}$. ปริมาณร้อยละ 2.5 แล้วนำตัวอย่างคอนกรีตเพื่อหาอิทธิพลของความยาวเส้นใยต่อคุณสมบัติของคอนกรีต ซึ่งได้ผลการทดสอบคังกล่าวไปนี้

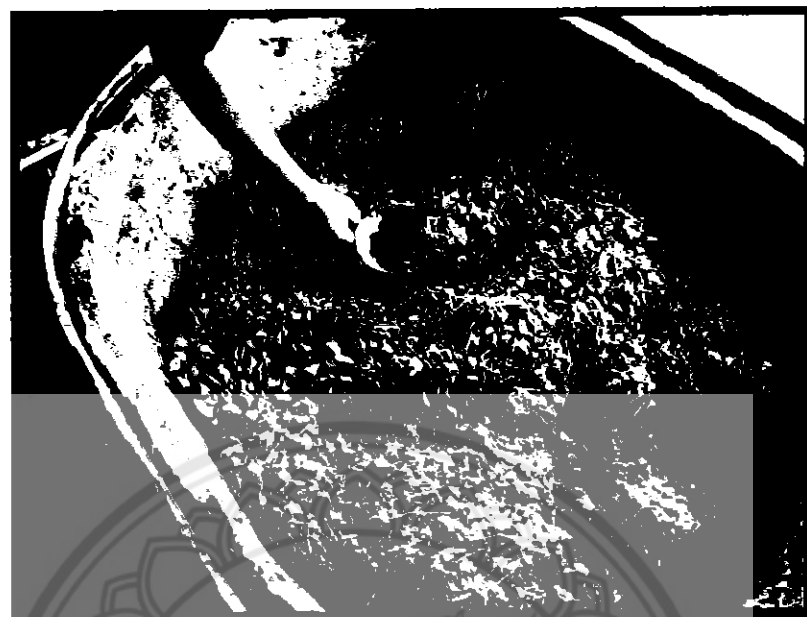
4.2.1 ผลการทดสอบความสามารถรับน้ำหนักตัวของตัวอย่างคอนกรีต เพื่อหาอิทธิพลของความยาวเส้นใยต่อคุณสมบัติของคอนกรีต

การทดสอบความสามารถรับน้ำหนักตัวของคอนกรีต หาได้จากการทดสอบหาค่าบุนเด็ฟของคอนกรีตตามมาตรฐาน ASTM C 143

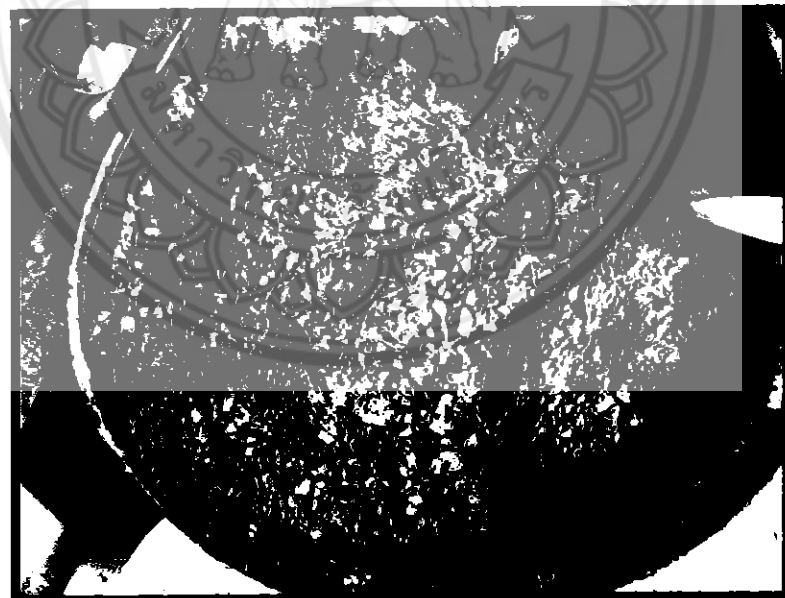


ภาพที่ 4.2 แผนภูมิแสดงความสัมพันธ์ของค่าชุบทัวของคอนกรีต
ที่ผสมเส้นใยความยาวที่ต่างกันในปริมาณร้อยละ 2.5

จากภาพที่ 4.2 แผนภูมิแสดงความสัมพันธ์ของค่าชุบทัวของคอนกรีตที่ผสมเส้นใยในปริมาณเท่ากันแต่ความยาวของเส้นไข่ต่างกันจะพบว่าคอนกรีตมวลคุณ จะมีค่าชุบทัวมากกว่า คอนกรีตที่ผสมเส้นไข่ห้องหมาด ส่วนคอนกรีตที่ผสมเส้นไข่ขนาด 2x70 มม. จะมีค่าชุบทัวของ คอนกรีตน้อยกว่าคอนกรีตที่ผสมเส้นไข่ขนาด 2x50 มม. และขนาด 2x100 มม. ตามลำดับ สาเหตุที่ คอนกรีตที่ผสมเส้นไข่ที่มีความยาวสั้นกว่ามีค่าชุบทัวมากกว่าคอนกรีตที่ผสมเส้นไข่ที่มีความยาว มากกว่า เกิดจากการจัดวางตัวของเส้นไข่ขนาดยาวมีการกระจายตัวและเบี้ยวน้ำกันระหว่างเส้นไข่ ตัวยกันเองและวัสดุมวลรวมคอนกรีต



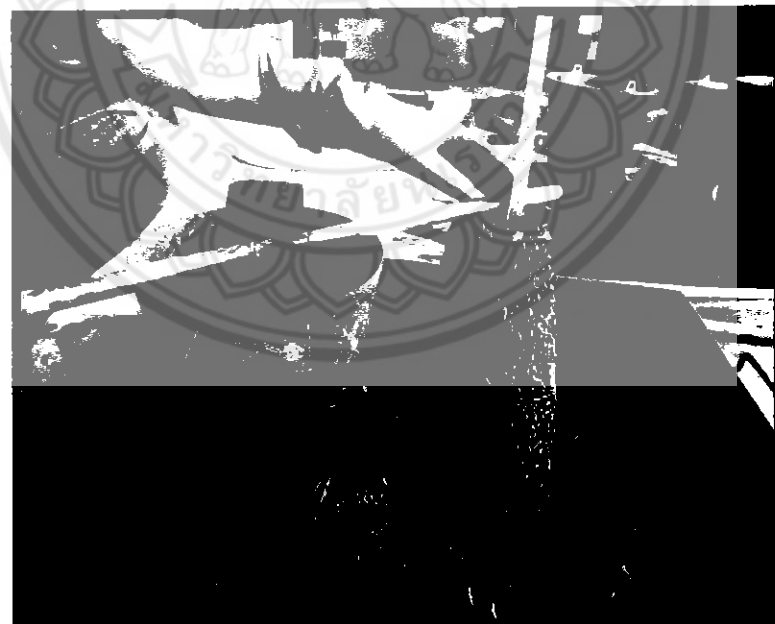
ภาพที่ 4.3 ค้อนกรีตผสมเส้นไขขนาด 2x100 น.m. ร้อยละ2.5



ภาพที่ 4.4 ค้อนกรีตผสมเส้นไขขนาด 2x70 น.m. ร้อยละ2.5



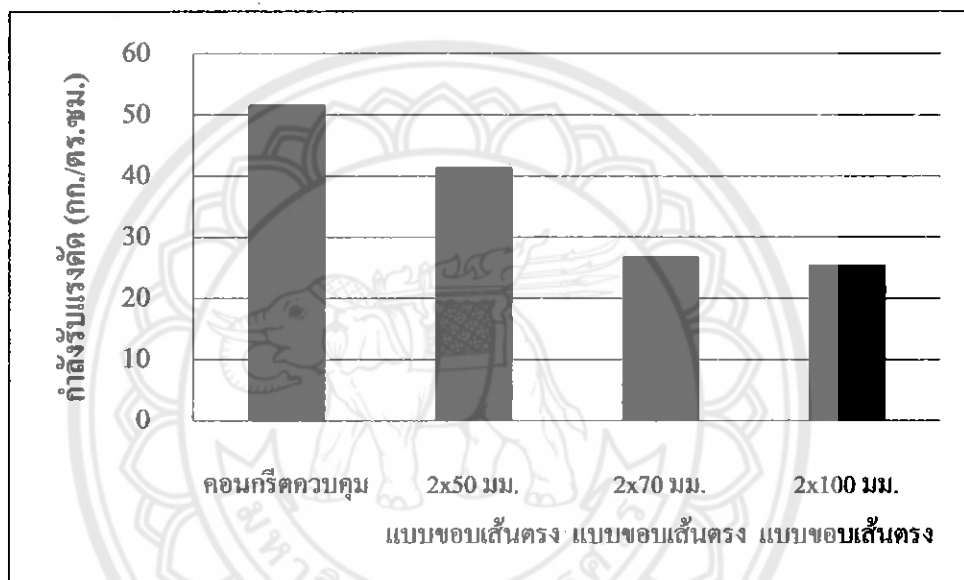
ภาพที่ 4.5 สักข์จะการยุบตัวของค่อนกรีตผสมเส้นใย 2x100 มม. แบบขอบตรง



ภาพที่ 4.6 สักข์จะการยุบตัวของค่อนกรีตผสมเส้นใย 2x70 มม. แบบขอบตรง

**4.2.2 ผลการทดสอบกำลังรับแรงดัดของตัวอย่างคอนกรีต เพื่อหาอิทธิพลของความยาวเส้น
เส้นใยต่อคุณสมบัติของคอนกรีต**

การทดสอบกำลังรับแรงดัดของตัวอย่างคอนกรีต เพื่อหาอิทธิพลของความยาวเส้น
เส้นใยต่อคุณสมบัติของคอนกรีต ตามมาตรฐาน ASTM C 78-94 ผลทดสอบนำมาเขียนแผนภูมิแสดง
ความสัมพันธ์กำลังรับแรงดัดของคอนกรีตตามภาพที่ 4.7

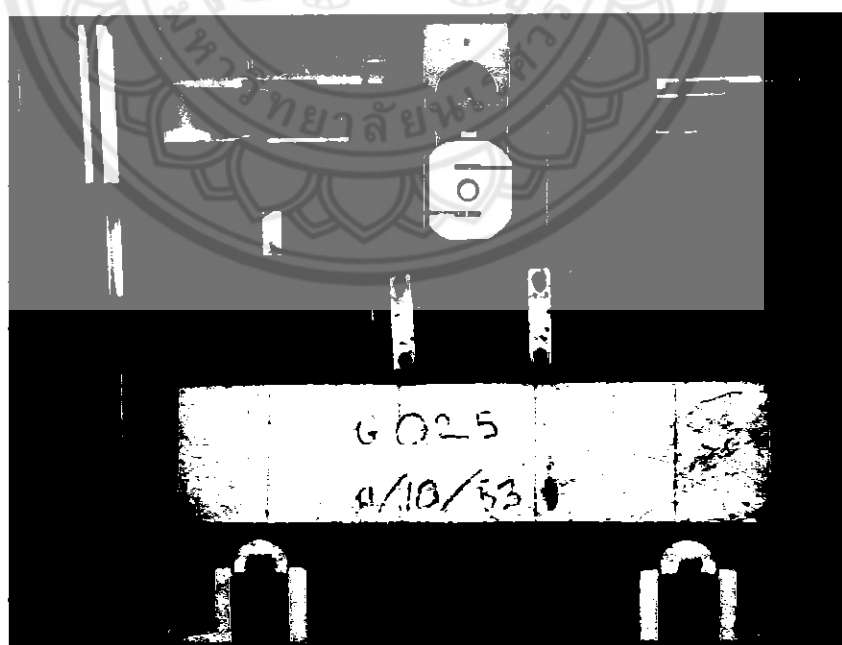


ภาพที่ 4.7 แผนภูมิแสดงความสัมพันธ์ของกำลังรับแรงดัดของคอนกรีต
ที่ผสมเส้นใยความยาวต่างกัน

จากภาพที่ 4.7 แผนภูมิแสดงความสัมพันธ์ของกำลังรับแรงดัดของคอนกรีตที่ผสมเส้นใย
ความยาวต่างกันในปริมาณที่เท่ากัน พนว่าคอนกรีตควบคุม มีค่ากำลังรับแรงดัดมากกว่าคอนกรีตที่
ผสมเส้นใยทั้งหมด ส่วนคอนกรีตที่ผสมเส้นใยขนาด 2x50 มม. จะมีค่ากำลังรับแรงดัดมากกว่า
คอนกรีตผสมเส้นใยขนาด 2x70 มม. และขนาด 2x100 มม. ตามลำดับ



ภาพที่ 4.8 ลักษณะของคานค่อนกรีตที่พัฒนาไปก่อนการทดสอบ



ภาพที่ 4.9 ลักษณะของคานค่อนกรีตที่พัฒนาไปก่อนการทดสอบ



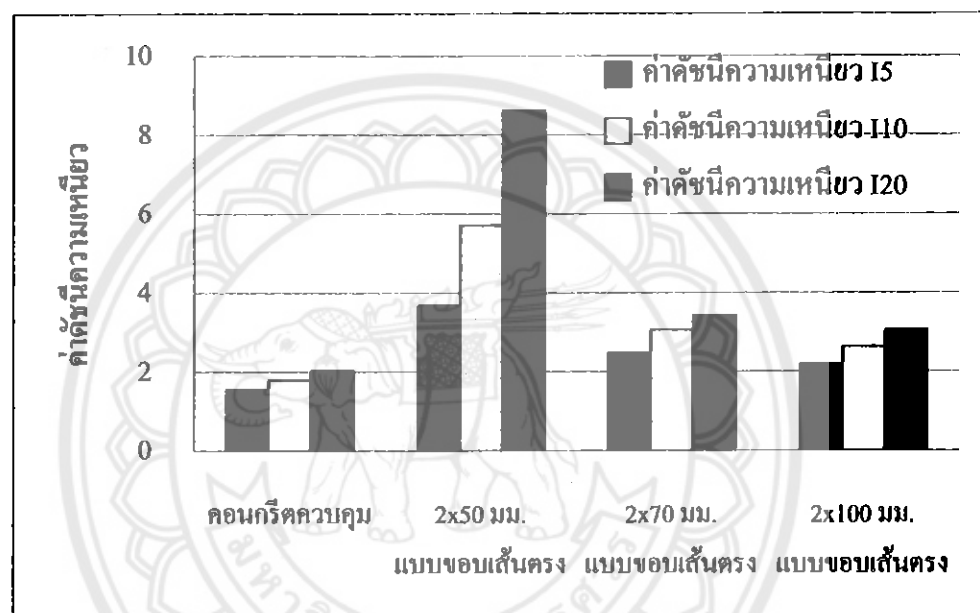
ภาพที่ 4.10 ลักษณะการวินติของคานคอนกรีตที่ผ่านเข้าไป



ภาพที่ 4.11 ลักษณะการวินติของคานคอนกรีตที่ผ่านเข้าไป (ต่อ)

4.2.3 การหาค่าดัชนีความหนึ่งของตัวอย่างคอนกรีต เพื่อหาอิทธิพลของความยาวเส้นใยต่อคุณสมบัติของตัวอย่างคอนกรีต

ค่าดัชนีความหนึ่งขوا ได้ตามมาตรฐาน ASTM C1018-94b (รายละเอียดตามผู้วิเคราะห์)แสดงตามแผนภูมิในภาพที่ 4.12

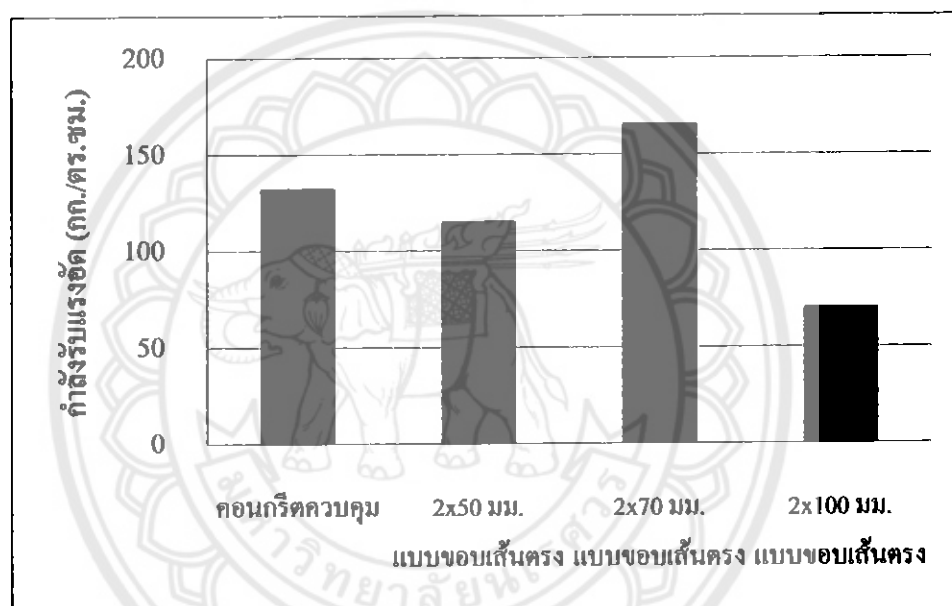


ภาพที่ 4.12 แผนภูมิแสดงค่าดัชนีความหนึ่งขوا 15, 110 และ 120 ของตัวอย่างคอนกรีตที่ผสมเส้นใยความยาวที่ต่างกัน

จากภาพที่ 4.12 แผนภูมิแสดงความสัมพันธ์ของค่าดัชนีความหนึ่งขوا 15, 110 และ 120 ของคอนกรีตที่ผสมเส้นใยความยาวที่ต่างกัน จะพบว่าคอนกรีตควบคุมจะมีค่าดัชนีความหนึ่งขัวน้อยกว่า คอนกรีตที่ผสมเส้นใยทั้งหมด สำหรับคอนกรีตที่ผสมเส้นใยขนาด 2x100 มม. จะมีค่าดัชนีความหนึ่งขัวน้อยกว่า คอนกรีตที่ผสมเส้นใยทั้งหมด และคอนกรีตที่ผสมเส้นใยขนาด 2x50 มม. มีค่าดัชนีความหนึ่งมากที่สุด

4.2.4 การทดสอบกำลังรับแรงอัดของตัวอย่างคอนกรีต เพื่อหาอิทธิพลของความยาวเส้น ไปต่อคุณสมบัติของคอนกรีต

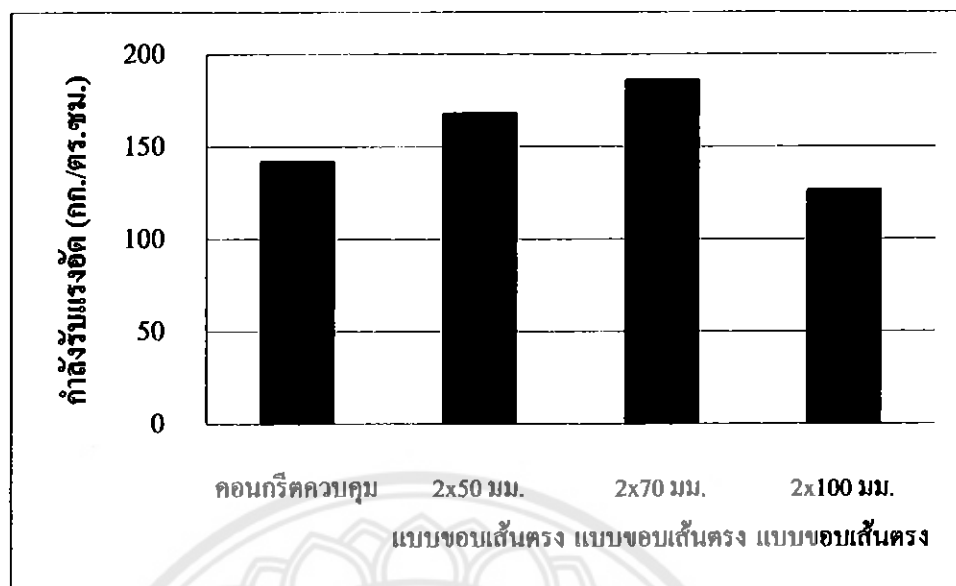
ผลทดสอบกำลังรับแรงอัดของตัวอย่างคอนกรีต เพื่อหาอิทธิพลของขนาดเส้นไปต่อคุณสมบัติของคอนกรีตตามมาตรฐาน ASTM C39-96 ได้ผลทดสอบนำมาเปรียบเทียบกันได้ดังภาพที่ 4.7 ถึงภาพที่ 4.11



ภาพที่ 4.13 แผนภูมิเปรียบเทียบกำลังรับแรงอัดของตัวอย่างคอนกรีต

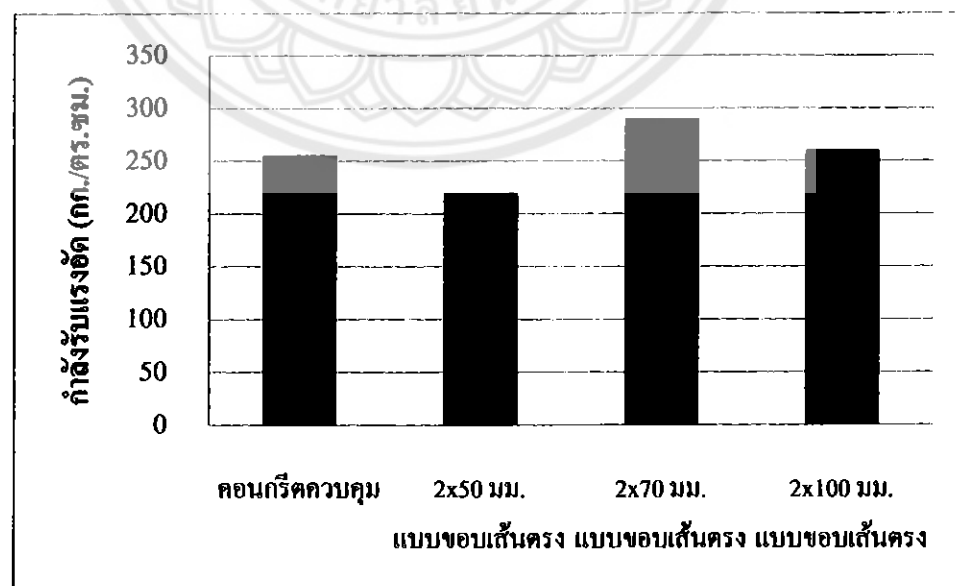
ที่ผสานเข้าไปความยาวต่างกัน ที่อายุ 3 วัน

จากภาพที่ 4.13 แผนภูมิแสดงการเปรียบเทียบกำลังรับแรงอัดของคอนกรีตที่ผสานเส้นไข่ในปริมาณเท่ากันแต่ความยาวแบบขอนเส้นตรงของเส้นไข่ต่างกัน ที่อายุ 3 วัน จะพบว่า คอนกรีตที่ผสานเส้นไข่ขนาด 2x70 มม. มีค่ากำลังรับแรงอัด ได้มากกว่าคอนกรีตควบคุม และ คอนกรีตที่ผสานเส้นไข่ทึ่งหมวด ส่วนคอนกรีตที่ผสานเส้นไข่ขนาด 2x100 มม. จะมีค่ากำลังรับแรงอัด น้อยที่สุด



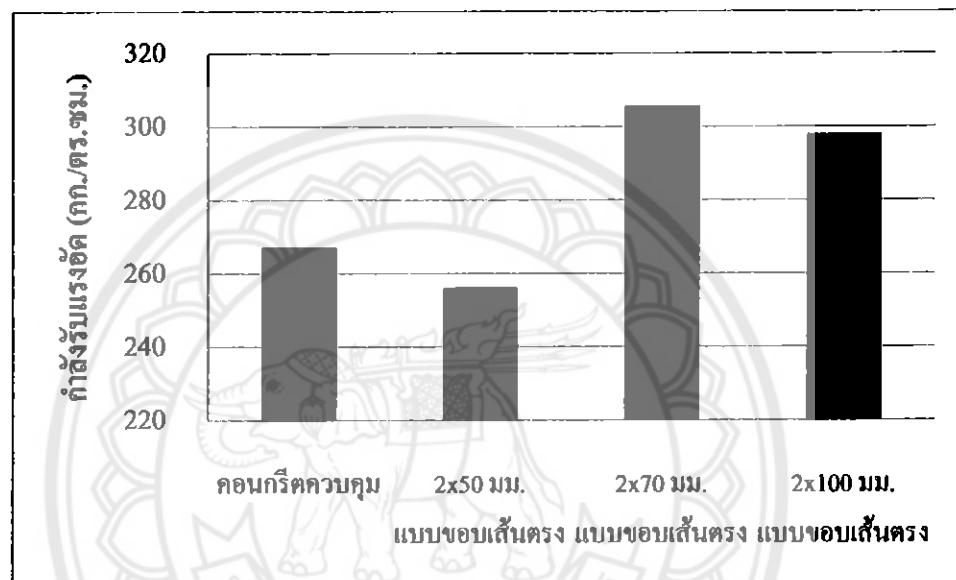
รูปที่ 4.14 แผนภูมิเปรียบเทียบกำลังรับแรงอัดของตัวอย่างคอนกรีต
ที่ผสมเส้นใยความยาวต่างกัน ที่อายุ 7 วัน

จากภาพที่ 4.14 แผนภูมิแสดงการเปรียบเทียบกำลังรับแรงอัดของคอนกรีตที่ผสมเส้นใยในปริมาณเท่ากันแต่ความยาวแบบเส้นคงของเส้นใยต่างกัน ที่อายุ 7 วัน จะพบว่าคอนกรีตที่ผสมเส้นใยขนาด 2x70 มม. ค่ากำลังรับแรงอัดได้มากกว่าคอนกรีตที่ผสมเส้นใยทั้งหมดและค่อนกรีดควบคุม ส่วนคอนกรีตที่ผสมเส้นใยขนาด 2x100 มม. จะมีค่ากำลังรับแรงอัดน้อยที่สุด



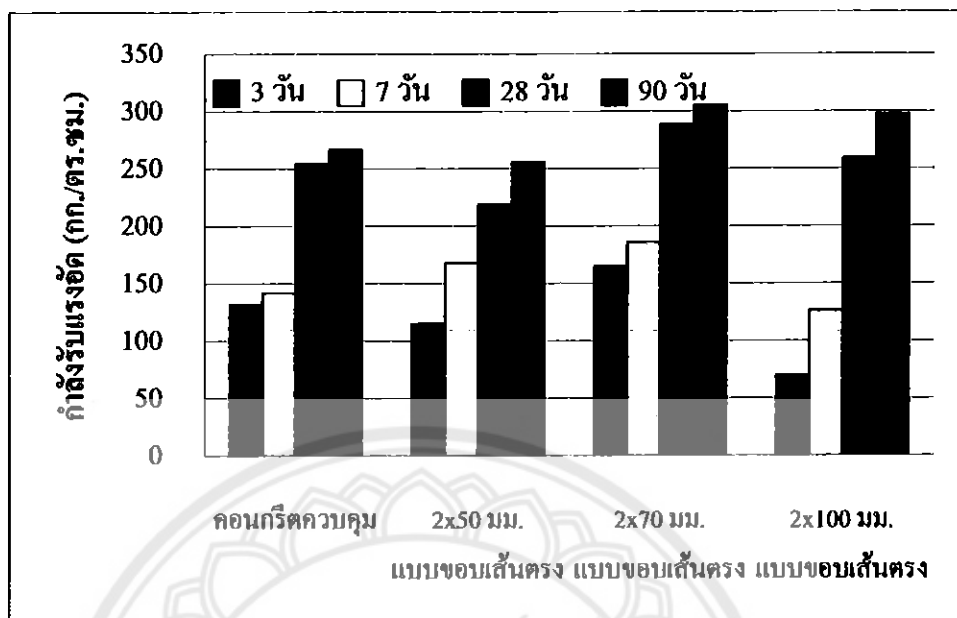
ภาพที่ 4.15 แผนภูมิเปรียบเทียบกำลังรับแรงอัดของตัวอย่างคอนกรีต
ที่ผสมเส้นใยความยาวต่างกัน ที่อายุ 28 วัน

จากภาพที่ 4.15 แผนภูมิแสดงการเปรียบเทียบกำลังรับแรงอัดของคอนกรีตที่ผสมเส้นใยในปริมาณเท่ากันแต่ความยาวแบบเส้นตรงของเส้นไขต่างกัน ที่อายุ 28 วัน จะพบว่าคอนกรีตที่ผสมเส้นไขขนาด 2×70 มม. ค่ากำลังรับแรงอัดได้มากกว่าคอนกรีตที่ผสมเส้นไขทึ้งหมวด และคอนกรีตควบคุม ส่วนคอนกรีตผสมเส้นไขขนาด 2×50 มม. จะมีค่ากำลังรับแรงอัดน้อยที่สุด



ภาพที่ 4.16 แผนภูมิเปรียบเทียบกำลังรับแรงอัดของตัวอย่างคอนกรีตที่ผสมเส้นไขความยาวต่างกัน ที่อายุ 90 วัน

จากภาพที่ 4.16 แผนภูมิแสดงการเปรียบเทียบกำลังรับแรงอัดของคอนกรีตที่ผสมเส้นไขในปริมาณเท่ากันแต่ความยาวแบบเส้นตรงของเส้นไขต่างกัน ที่อายุ 90 วัน จะพบว่าคอนกรีตที่ผสมเส้นไขขนาด 2×70 มม. ค่ากำลังรับแรงอัดได้มากกว่าคอนกรีตที่ผสมเส้นไขทึ้งหมวด และคอนกรีตควบคุม ส่วนคอนกรีตผสมเส้นไขขนาด 2×50 มม. จะมีค่ากำลังรับแรงอัดน้อยที่สุด



ภาพที่ 4.17 แผนภูมิเปรียบเทียบกำลังรับแรงอัดของตัวอย่างคอนกรีต
ที่ผสมเส้นใยความยาวที่ต่างกัน ที่อายุ 3, 7, 28 และ 90 วัน

จากภาพที่ 4.17 จะวิเคราะห์ได้ว่า คอนกรีตที่ผสมเส้นใยขนาด 2x70 น.m. มีค่ากำลังรับแรงอัดมากกว่าคอนกรีตควบคุม และคอนกรีตที่ผสมเส้นใยขนาด 2x50 น.m. และขนาด 2x100 น.m. คอนกรีตที่ผสมเส้นใยขนาด 2x100 น.m. ในช่วงต้นคือระหว่าง 3 วันและ 7 วัน น้อยกว่าคอนกรีตที่ผสมเส้นใยทึ้งหมด น่าจะเกิดจากคอนกรีตที่ผสมเส้นใยมีการดูดซึมน้ำเก็บไว้ในเส้นใยไวบางส่วน ทำให้ปริมาณน้ำเพิ่มในคอนกรีต ส่งผลทำให้ค่ากำลังรับแรงอัดของคอนกรีตที่ผสมเส้นใยน้อยลง แต่การควบคุมปริมาณเส้นใยโดยพิจารณาถึงความยาวของเส้นใยที่มีอิทธิพลต่อกำลังรับแรงอัด แต่จะได้ว่าความยาวของเส้นใยส่งผลกระทบต่อกำลังรับแรงอัดได้ไม่ชัดเจนนัก

เมื่อคอนกรีตได้อายุครบ 28 วัน และ 90 วัน คอนกรีตที่ผสมเส้นใยขนาด 2x100 น.m. มีการพัฒนากำลังรับแรงอัดเพิ่มขึ้นมากกว่าคอนกรีตควบคุมและคอนกรีตที่ผสมเส้นใยขนาด 2x50 น.m.



ภาพที่ 4.18 ลักษณะของก้อนตัวอย่างก่อนการทดสอบ



ภาพที่ 4.19 ลักษณะการวินิจฉัยของก้อนตัวอย่างหลังการทดสอบ

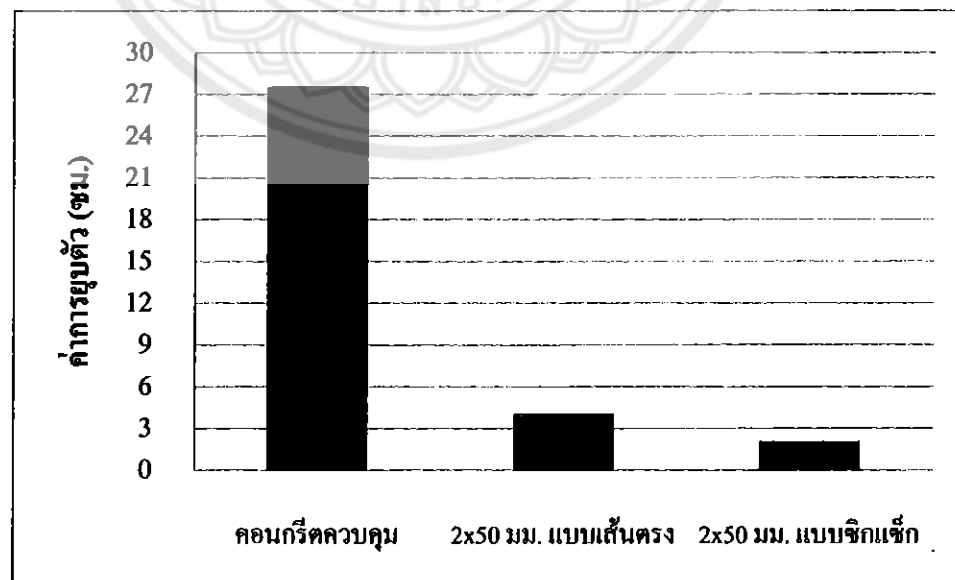
4.3 ผลการทดสอบเพื่อหาอิทธิพลของรูปร่างเส้นใยต่อกุณสมบัติของคอนกรีต

จากผลการทดสอบเพื่อหาอิทธิพลของขนาดเส้นใยต่อกุณสมบัติของคอนกรีต ได้ตัวแทนของตัวอย่างคอนกรีตที่เหมาะสมต่อการพัฒนาคุณสมบัติของคอนกรีตคือ คุณสมบัติเกี่ยวกับดัชนีความเหนียวที่เพิ่มขึ้น เมื่อพิจารณาแล้ว ได้ขนาดของเส้นใยที่ดีที่สุดที่มีผลทำให้คุณสมบัติของคอนกรีตเพิ่มขึ้น คือ เส้นใยขนาด $2 \times 50\text{ ม.m.}$ ในปริมาณร้อยละ 2.5 โดยปริมาตรของคอนกรีต [13]

จากผลการทดสอบดังกล่าวข้างต้นนำข้อมูลไปออกแบบทำการทดสอบโดยแปรผันรูปร่างของเส้นใย ซึ่งจากเดิมเป็นเส้นใยรูปร่างเส้นตรง จะแปรผันรูปร่างของเส้นใยเป็นรูปร่างแบบชิกแซ็กขนาด $2 \times 50\text{ ม.m.}$ ปริมาณร้อยละ 2.5 แล้วนำตัวอย่างคอนกรีตเพื่อหาอิทธิพลของรูปร่างเส้นใยต่อกุณสมบัติของคอนกรีต ซึ่งได้ผลการทดสอบดังต่อไปนี้

4.3.1 ผลการทดสอบความสามารถให้ได้ของตัวอย่างคอนกรีต เพื่อหาอิทธิพลของรูปร่างของเส้นใยต่อกุณสมบัติของคอนกรีต

การทดสอบความสามารถให้ได้ของคอนกรีต หาได้จากการทดสอบหาค่าบุนเดสของคอนกรีตตามมาตรฐาน ASTM C 143



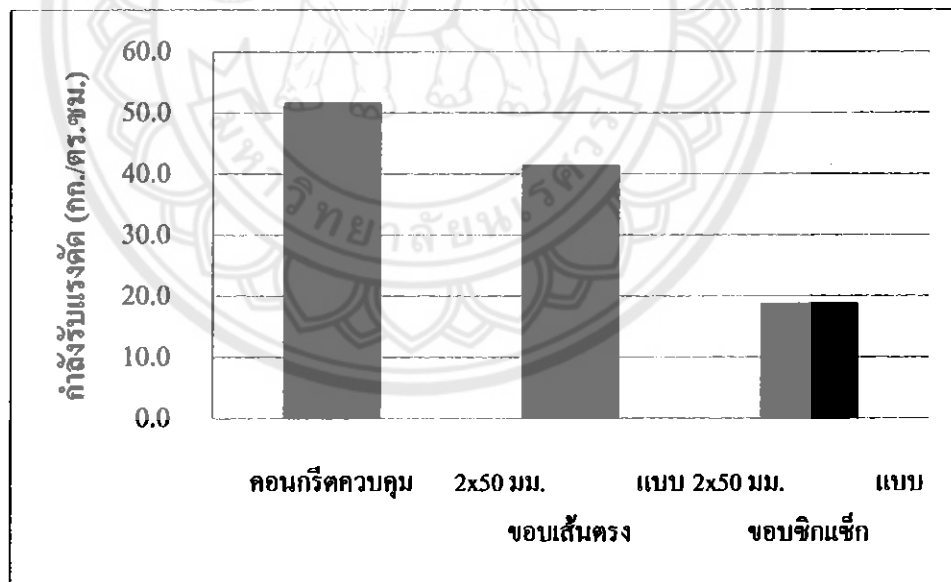
ภาพที่ 4.20 แผนภูมิแสดงความสัมพันธ์ของค่าบุนเดสของคอนกรีต

ที่ผสมเส้นใยรูปร่างต่างกันในปริมาณร้อยละ 2.5

จากภาพที่ 4.20 แผนภูมิแสดงความสัมพันธ์ของค่าขุบตัวของคอนกรีตที่ผสมเส้นไขในปริมาณเท่ากันแต่รูปร่างของเส้นไขต่างกัน จะพบว่าคอนกรีตควบคุมมีค่าขุบตัวมากกว่าคอนกรีตที่ผสมเส้นไขแบบของเส้นตรงและแบบของซิกแซ็ก เนื่องจากการจัดวางตัวของเส้นไขขนาดเล็กมีการกระจายตัวและขีดหนึ่งขีดกันระหว่างเส้นไขด้วยกันเองและวัสดุมวลรวมของคอนกรีต

4.3.2 ผลการทดสอบกำลังรับแรงดัดของตัวอย่างคอนกรีต เพื่อหาอิทธิพลของรูปร่างเส้นไขต่อคุณสมบัติของคอนกรีต

การทดสอบกำลังรับแรงดัดของตัวอย่างคอนกรีต เพื่อหาอิทธิพลของความยาวเส้นไขต่อคุณสมบัติของคอนกรีต ตามมาตรฐาน ASTM C 78-94 ผลทดสอบนำมาเป็นแผนภูมิแสดงความสัมพันธ์กำลังรับแรงดัดของคอนกรีตตามภาพที่ 4.21

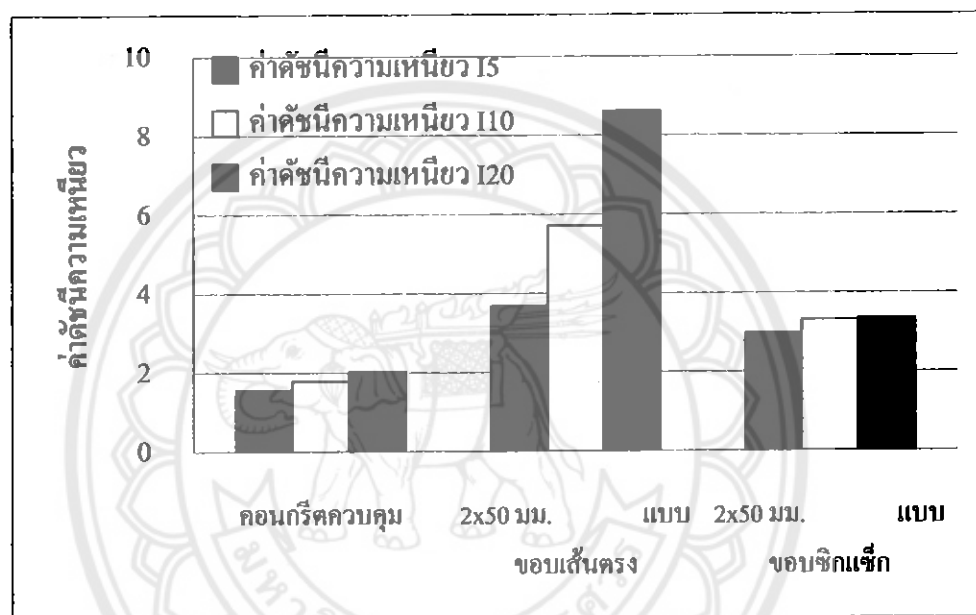


ภาพที่ 4.21 แผนภูมิแสดงความสัมพันธ์ของกำลังรับแรงดัดของคอนกรีตที่ผสมเส้นไขรูปร่างต่างกัน

จากภาพที่ 4.21 แผนภูมิแสดงความสัมพันธ์ของกำลังรับแรงดัดของคอนกรีตที่ผสมเส้นไขความยาวต่างกันในปริมาณที่เท่ากัน พบว่าคอนกรีตควบคุมมีค่ากำลังรับแรงดัดมากกว่าคอนกรีตที่ผสมเส้นไขแบบของเส้นตรง และแบบของซิกแซ็ก

4.3.3 การหาค่าดัชนีความหนึบของตัวอย่างคอนกรีต เพื่อหาอิทธิพลของรูปร่างเส้นใย ต่อคุณสมบัติของตัวอย่างคอนกรีต

ค่าดัชนีความหนึบทางได้ตามมาตรฐาน ASTM C1018-94b (รายละเอียดตามผนวก) แสดงตามแผนภูมิในภาพที่ 4.22



ภาพที่ 4.22 แผนภูมิแสดงค่าดัชนีความหนึบ I5, I10 และ I20 ของตัวอย่างคอนกรีต ที่ผ่านการทดสอบที่มีรูปร่างต่างกัน

จากภาพที่ 4.22 แผนภูมิแสดงความสัมพันธ์ของค่าดัชนีความหนึบ I5, I10 และ I20 ของคอนกรีตที่ผ่านการทดสอบที่มีรูปร่างต่างกัน จะพบว่าคอนกรีตคบคุมมีค่าดัชนีความหนึบมากกว่า คอนกรีตที่ผ่านการทดสอบที่มีรูปร่างแบบขอบซิกแซก ส่วนคอนกรีตที่ผ่านการทดสอบที่มีรูปร่างแบบขอบเส้นตรงมีค่าดัชนีความหนึบมากกว่าแบบขอบเส้นตรง

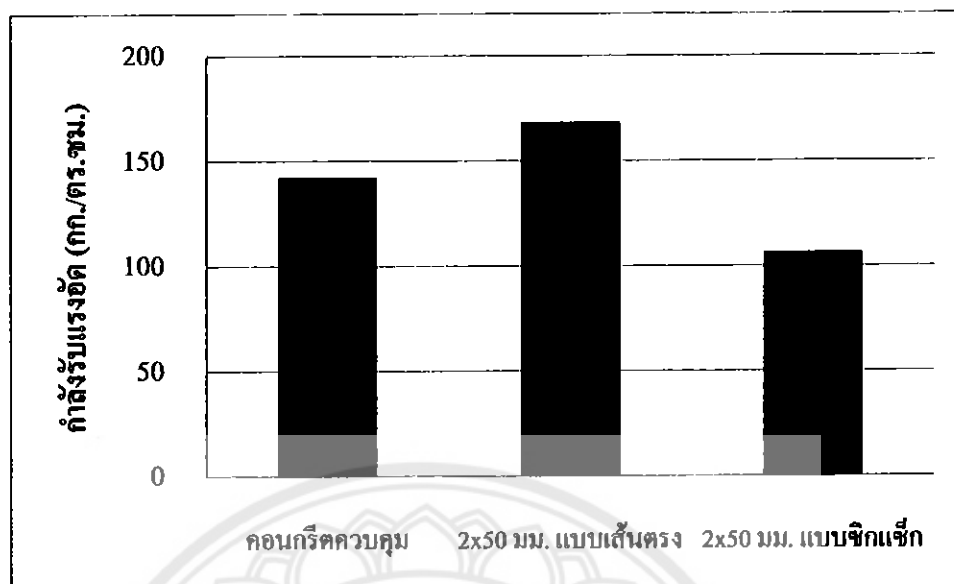
4.3.4 การทดสอบกำลังรับแรงอัดของตัวอย่างคอนกรีต เพื่อหาอิทธิพลของรูปร่างของไส้ต่อคุณสมบัติของคอนกรีต

ผลทดสอบกำลังรับแรงอัดของตัวอย่างคอนกรีต เพื่อหาอิทธิพลของขนาดเส้นไปต่อคุณสมบัติของคอนกรีตตามมาตรฐาน ASTM C39-96 ได้ผลทดสอบนำมาเปรียบเทียบกันได้ดังภาพที่ 4.23 ถึงภาพที่ 4.27



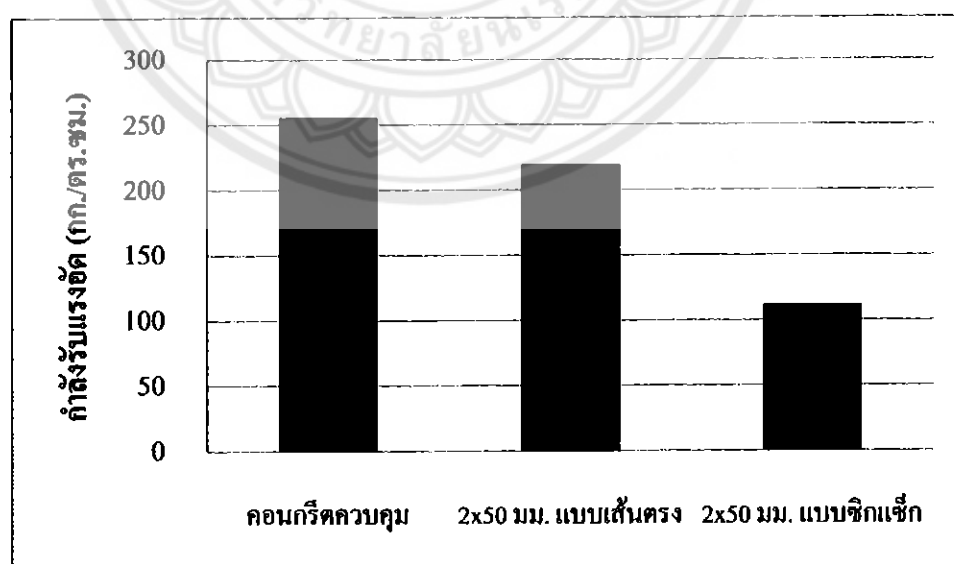
ภาพที่ 4.23 แผนภูมิเปรียบเทียบกำลังรับแรงอัดของตัวอย่างคอนกรีต
ที่ผ่านการรักษาไว้ในรูปทรงต่างกัน ที่อายุ 3 วัน

จากภาพที่ 4.23 แผนภูมิแสดงการเปรียบเทียบกำลังรับแรงอัดของคอนกรีตที่ผ่านการรักษาไว้ในรูปทรงและขนาดเท่ากัน แต่รูปร่างของเส้นใยต่างกัน ที่อายุ 3 วัน จะพบว่าคอนกรีตความถ่วงให้ค่ากำลังรับแรงอัด ได้มากกว่าคอนกรีตที่ผ่านการรักษาด้วยแบบของเส้นใยแบบชิกแซ็ก ซึ่งเส้นใยแบบของเส้นชิกแซ็กมีค่ากำลังรับแรงอัดน้อยที่สุด



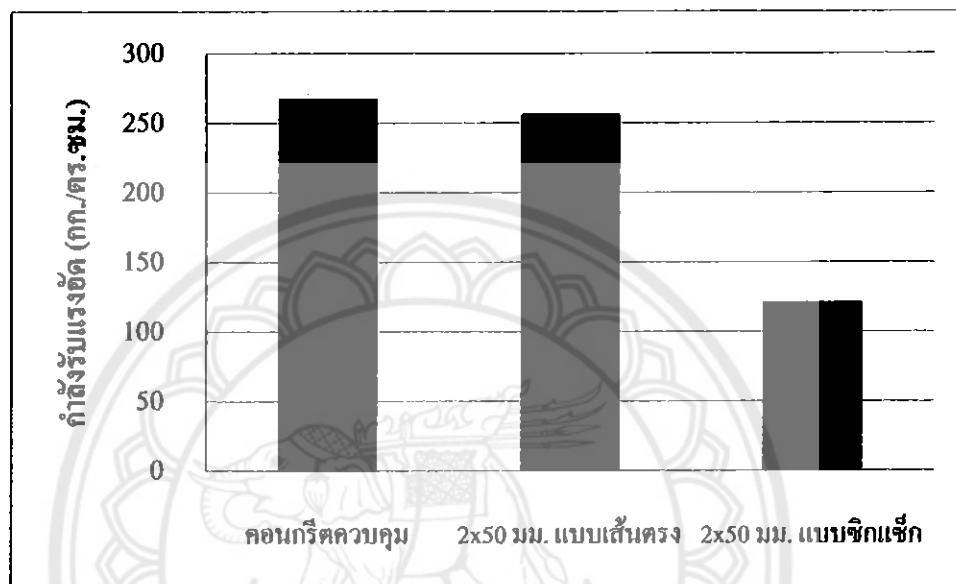
ภาพที่ 4.24 แผนภูมิเปรียบเทียบกำลังรับแรงอัดของตัวอย่างคอนกรีต
ที่ผ่านการรีบบ์และไม่ผ่านการรีบบ์ ที่อายุ 7 วัน

จากภาพที่ 4.24 แผนภูมิแสดงการเปรียบเทียบกำลังรับแรงอัดของคอนกรีตที่ผ่านการรีบบ์และไม่ผ่านการรีบบ์ แต่รูปร่างของเส้นใยต่างกัน ที่อายุ 7 วัน จะพบว่าคอนกรีตที่ผ่านการรีบบ์มีค่ากำลังรับแรงอัดสูงกว่าคอนกรีตควบคุม และคอนกรีตที่ผ่านการรีบบ์มีค่ากำลังรับแรงอัดสูงกว่าคอนกรีตที่ไม่ผ่านการรีบบ์



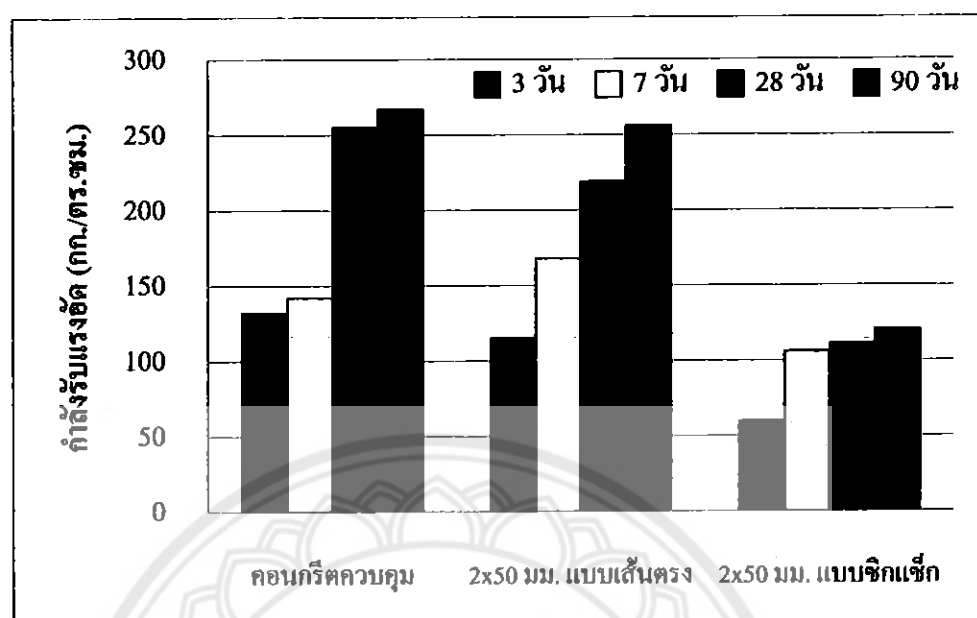
ภาพที่ 4.25 แผนภูมิเปรียบเทียบกำลังรับแรงอัดของตัวอย่างคอนกรีต
ที่ผ่านการรีบบ์และไม่ผ่านการรีบบ์ ที่อายุ 28 วัน

จากภาพที่ 4.25 แผนภูมิแสดงการเปรียบเทียบกำลังรับแรงอัดของคอนกรีตที่ผสมเส้นใยในปริมาณและขนาดเท่ากัน แต่รูปร่างของเส้นใยต่างกัน ที่อายุ 28 วัน จะพบว่าคอนกรีตความถ่วงให้ค่ากำลังรับแรงอัดมากกว่าคอนกรีตที่ผสมเส้นใยแบบข้อเส้นตรงและแบบข้อซิกแซ็ก



ภาพที่ 4.26 แผนภูมิเปรียบเทียบกำลังรับแรงอัดของตัวอย่างคอนกรีตที่ผสมเส้นใยรูปร่างต่างกัน ที่อายุ 90 วัน

จากภาพที่ 4.26 แผนภูมิแสดงการเปรียบเทียบกำลังรับแรงอัดของคอนกรีตที่ผสมเส้นใยในปริมาณและขนาดเท่ากัน แต่รูปร่างของเส้นใยต่างกัน ที่อายุ 90 วัน จะพบว่าคอนกรีตความถ่วงให้ค่ากำลังรับแรงอัดมากกว่าคอนกรีตที่ผสมเส้นใยแบบข้อเส้นตรงและแบบข้อซิกแซ็ก



รูปที่ 4.27 แผนภูมิเปรียบเทียบกำลังรับแรงอัดของตัวอย่างคอนกรีต

ที่ผสมเส้นใยความยาวที่ต่างกัน ที่อายุ 3, 7, 28 และ 90 วัน

จากภาพที่ 4.23 ถึง 4.27 จะวิเคราะห์ได้ว่า คอนกรีตควบคุมให้กำลังรับแรงอัดมากกว่าคอนกรีตที่ผสมเส้นใย คอนกรีตที่ผสมเส้นใยแบบขอนเส็นครอง มีแนวโน้มค่ากำลังรับแรงอัดเพิ่มขึ้นเลื่อยๆ ส่วนคอนกรีตที่ผสมเส้นใยแบบขอนซิกแซ็ก มีค่ากำลังรับแรงอัดเพิ่มขึ้นในช่วงต้นคือระยะ 3 วันและ 7 วัน และเมื่อคอนกรีตได้อายุได้ระยะ 28 วันและ 90 วัน มีการพัฒนากำลังแรงอัดเพิ่มขึ้นแต่ไม่ได้มากขึ้น เมื่อเปรียบเทียบกับคอนกรีตที่ผสมเส้นใยแบบขอนเส็นครอง และแต่การควบคุมปริมาณเส้นใยโดยพิจารณาดึงผลของรูปร่างของเส้นใยที่มีอิทธิพลต่อกำลังรับแรงอัด จะได้ว่ารูปร่างของเส้นใยส่งผลกระทบต่อกำลังรับแรงอัดได้

บทที่ 5

สรุปผลการทดสอบ

สรุปผลการวิจัย

5.1 ผลการหาค่าการคูณซึ่มน้ำของเส้นใยจากกล่องเครื่องดื่ม

เส้นใยขนาด 2×50 มม. แบบขบเด็นตรงมีค่าการการคูณซึ่มน้ำสูงกว่าเส้นใย 2×50 มม. แบบขบชิกแซ็ก, 2×100 มม. แบบขบเด็นตรง และ 2×70 มม. แบบขบเด็นตรง

- เส้นใยแบบขบเด็นตรง ที่มีความยาวกว่าจะมีค่าการการคูณซึ่มน้ำได้น้อยกว่าเส้นใยที่มีความยาวสั้นกว่า
- เส้นใยแบบขบชิกแซ็ก ที่มีความยาวเท่ากันจะมีค่าการคูณซึ่มน้ำได้มากกว่าเส้นใยที่มีขบแบบเด็นตรง

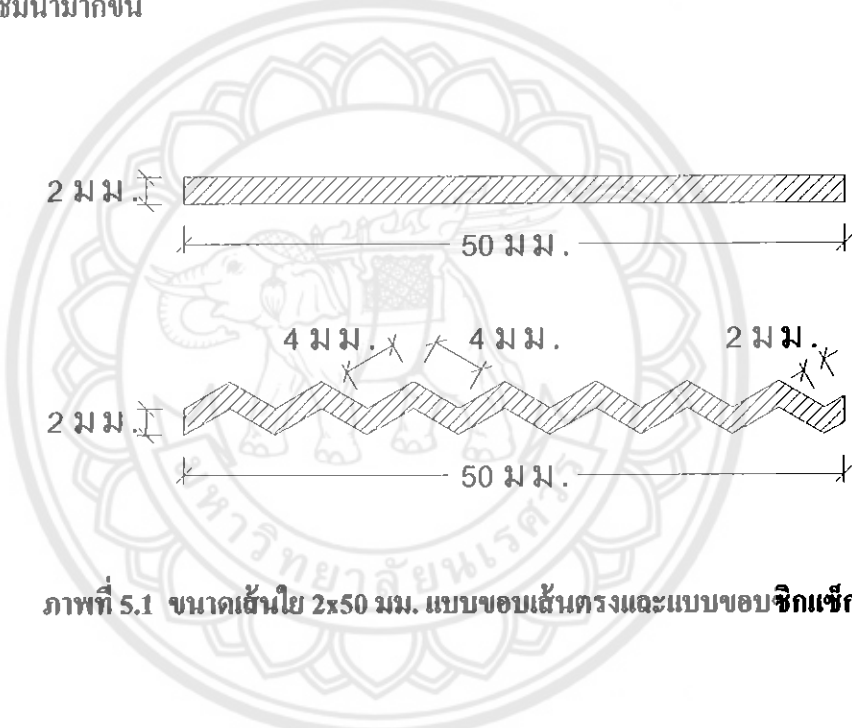
5.2 ผลการทดสอบเพื่อหาอิทธิพลของความยาวของเส้นใยต่อคุณสมบัติของคอนกรีต

- การเพิ่มความยาวของเส้นใย ส่งผลทำให้ความสามารถเหาะได้ที่ทางจากค่าการยุบตัวของคอนกรีตลดลง อย่างมีนัยสำคัญ กล่าวคือ เมื่อความยาวของเส้นไยมากขึ้น ความสามารถในการเหาะได้ที่ทางจากค่าขุบตัวของคอนกรีตจะลดลง
- การเพิ่มความยาวของเส้นใย ทำให้กำลังรับแรงดึงของคอนกรีตที่ผสมเส้นใยลดลงอย่างมีนัยสำคัญ โดยคอนกรีตที่ผสมเส้นใยในทุกส่วนผสมมีค่ากำลังรับแรงดึงลดลง เมื่อเทียบกับกำลังรับแรงดึงของคอนกรีตควบคุม โดยเฉลี่ยประมาณร้อยละ 65.73
- การเพิ่มความยาวของเส้นใย ทำให้ค่าดัชนีความเหนียวขวบลดลง โดยความยาวของเส้นใยที่ทำให้ค่าดัชนีความเหนียวมากที่สุด คือ 2×50 มม.
- การเพิ่มความยาวของเส้นใย ทำให้ค่าการคูณซึ่มน้ำของคอนกรีตลดลง

5.3 ผลการทดสอบเพื่อหาอิทธิพลของรูปร่างของเส้นใยต่อคุณสมบัติของคอนกรีต

- เส้นใยที่มีรูปร่างชิกแซ็กทำให้ความสามารถเหาะได้ที่ทางจากค่าการยุบตัวของคอนกรีตมากกว่าเส้นใยที่มีรูปร่างเส้นตรง

- เส้นไขที่มีรูปร่างซิกแซ็ก ทำให้กำลังรับแรงคดคั่ง ดั้งนี้ความหนาแน่น และกำลังรับแรงอัดของคอนกรีตลดลงมากกว่า คอนกรีตที่ผสมเส้นใยเส้นตรงทั้งนี้เนื่องจากขนาดหน้าตัดของเส้นไขมีค่าลดลง
- เส้นไขที่มีรูปร่างซิกแซ็ก ทำให้ค่าการคูณซึ่งน้ำของคอนกรีตเพิ่มขึ้น มากกว่า เส้นไขที่มีรูปร่างเส้นตรง เนื่องจากการตัดเส้นไขแบบซิกแซกมีผลทำให้ขอบของเส้นไขมีผิวสัมผัสมากขึ้น จากภาพที่ 5.1 เส้นไขขอบซิกแซกมีความยาวรอบเส้นไขเท่ากับ 104 มม. และเส้นไขขอบเส้นตรงมีความยาวรอบเส้นไขเท่ากับ 120 มม. จะส่งผลทำให้มีความสามารถในการคูณซึ่งน้ำมากขึ้น



ภาพที่ 5.1 ขนาดเส้นไข 2x50 มม. แบบขอบเส้นตรงและแบบขอบซิกแซก

บรรณานุกรม

- [1] ศติว่าไฟเบอร์หนึ่งด้วยทางวิศวกรรม. สืบค้นเมื่อ 11 พฤษภาคม 2552, จาก
<http://www2.nurnia.com/4850/08/technology-innovation-education-engineering->
- [2] การจัดเรียงชั้นของวัสดุที่ใช้ผลิตกล่องพลาสเจอร์ไรส์ สืบค้นเมื่อ 6 ตุลาคม 2552, จาก
http://www.kroobannok.com/blog/view.php?article_id=8093.
- [3] การเดินทางของกล่องนม. สืบค้นเมื่อ 6 พฤษภาคม 2552, จาก
http://icare.kapook.com/content_detail.php?t_id=0&id=705
- [4] กล่องเกรื่องคั่นใช้แล้วย่างกลับมีค่านากกว่าจะขาย. สืบค้นเมื่อ 6 พฤษภาคม 2552, จาก
<http://www.green.in.th>
- [5] โครงการเด็กไทยหัวใจรีไซเคิล. สืบค้นเมื่อ 8 พฤษภาคม 2553, จาก
http://www.Thaikids-recycle.com/www/th-whtis_uht_milk_carton.php
- [6] โครงการหลังคาเขียวเพื่อมูลนิธิอาสาเพื่อนพึ่ง(ภาฯ)บ้านยาก. สืบค้นเมื่อ 14 ธันวาคม 2553
 จาก <http://www.greenerroof.in.th/understanding/grinkboxes>
- [7] ลิ้มสุวรรณ. สืบค้นเมื่อ 6 พฤษภาคม 2552, จาก
http://limsruwan_ltt.tarad.com/product.detail.php?id=2448758
- [8] คุณสมบัติของพลาสติก. (15 มกราคม 2550) สืบค้นเมื่อ 6 พฤษภาคม 2552, จาก
<http://hoontong.212cafe.com/archive/2007-01-15/high-molecular-weight-1->
- [9] ข้อมาลัย เศรษฐบุตร, บุญรอด คุปติพันธุ์, วีระพล สูตรสุกนธ์, สันติ จรัสกำรงคุต,
 ชงชัก วิวัฒน์สุข ไพบูล, นฤษา เกษมล้ำราษฎ. (2543). STANDARD METHODS FOR TESTING
 AGGREGATE AND CONCRETE. (3).กรุงเทพฯ:
- [10] ทวีชัย สำราญวนิช, อภินันท์ ภูรชัน และสุรศิทธิ์ หมั่นวิชา. (2550). พฤติกรรมและวิธีการ
 คำนวณกำลังรับแรงดึงของคอนกรีตเสริมเหล็กที่ผสมเด็นไบ.
 วิทยานิพนธ์ วศ.ม., มหาวิทยาลัยบูรพา, ชลบุรี. สืบค้นเมื่อ พฤษภาคม 2552,
 จาก digital.lib.kmutt.ac.th/journal/loadfile.php?A_ID=304
- [11] อัมรรัตน์ สุริยะวิจิตรเศรษฐี, สิทธิชัย แสงอาทิตย์ และอัมนา อกิชาติวัลลภ (2550).
 การศึกษาการใช้สีน้ำพลาสติกที่ใช้แล้วแบบสั้นผสมในคอนกรีต.
 วิทยานิพนธ์ วศ.ม., มหาวิทยาลัยเทคโนโลยีสุรนารี, นครราชสีมา. สืบค้นเมื่อ พฤษภาคม 2552,
 จาก <eng.sut.ac.th/ce/Rcivil/Rcivil49.doc>

- [12] จากรพ. แก้วกล้า , วันนวงศ์ กรีพะ² และ รัฐภูมิ ปรีชาตปรีชา³, "กำลังรับแรงดึงของคอนกรีตผสมเส้นไขจากขยะกล่องเครื่องดื่ม บุ ออช ที", การประชุมวิชาการคอนกรีตประจำปี ครั้งที่ 6 สืบคันเมื่อ ตุลาคม 2553, จาก www.cpe.nu.ac.th
- [13] เอกพงษ์ แข็งขัน , นรินทร์ ภู่ทอง , จักรกฤษณ์ จิตรคำญ "การศึกษาคุณสมบัติทางกลของคอนกรีตเสริมเส้นไขจากกล่องนมเหลือใช้" ประเภทสารนิพนธ์การศึกษาค้นคว้าด้วยตนเอง วศ.บ. สาขาวิชาศึกษาธรรมชาติ มหาวิทยาลัยแม่ฟ้าหลวง, 2552
- [14] ปิติ สุคนธสุขกุล และ สุรชัย สุทธิธรรมมา , " บรรณนิความเห็นไขวคอนกรีตคอนกรีตเส้นไขไฟ เบอร์เหล็กและพลาสติกสังเคราะห์โดยการทดสอบตามมาตรฐาน ASTM และ JSCE ", การประชุมวิชาการคอนกรีตประจำปีครั้งที่ 2 , สาขาวิชาคونกรีตและวัสดุ , 25-27 ตุลาคม 2549 , โรงแรมเชียงใหม่รีสอร์ท จ.เชียงใหม่
- [15] นายวารเชยุ ป้อมเชิงพิม, (2550).
คุณสมบัติเชิงกลของคอนกรีตผสมเส้นไขหลังการเผาไหม้.
วิทยานิพนธ์, วศ.ม., มหาวิทยาลัยเทคโนโลยีพระจอมเกล้าพระนครเหนือ, กรุงเทพ. สืบคันเมื่อ ธันวาคม 2552 จาก www.gits.kmutnb.ac.th/ethesis/data/4910980038.pdf
- [16] Mohammed Seddik Meddah, Mohamed Bencheikh (2009).
Properties of concrete reinforced with different kinds of industrial wastefibre materials.
Thesis, M.eng., University of Hiroshima at Kagamiyama, Higashi-Hiroshima, Hiroshima.
Retrieved February 17, 2010, from www.elsevier.com/locate/conbuildmat
- [17] A.E. Richardson and C. Fallow (2006).
Crack control in screed using A142 steel fabric or mixed structural polypropylene fibres with regard to toughness and residual strength. Thesis, University of Northumbria at Newcastle upon Tyne. Retrieved February 17, 2010, from www.emeraldinsight.com/0263-080X.htm
- [18] GrUnewald , s ., " Performance-based design of self-compacting fibre reinforced concrete", Phd Thesis ,Delft University , Netherlands , 2004
- [19] บุญเรือง มนต์และการประยุกต์ใช้งาน , " Cement and Applications", (SCG cement) , พิมพ์ครั้งที่ 5 : มกราคม 2552
- [20] บัญชา สุปรินายก และคณะ. พฤติกรรมของคอนกรีตผสมเส้นไขเหล็กและเส้นไขโพลีไพรีลีน, วิทยานิพนธ์วิศวกรรมศาสตร์ มหาวิทยาลัยเทคโนโลยีราชมงคลเชียงใหม่ สาขาวิชาศึกษาธรรมชาติ ภาควิชาศึกษาธรรมชาติ มหาวิทยาลัยแม่ฟ้าหลวง, 2542.
- [21] Bentur A. and Mindess S. "Fiber Reinforced Cementitious Composites.", Journal of Cement and Concrete Research. 20 (1990) : 324-340.

[22] Rapoport J และคณ. Permeability of Cracked Steel Fiber-Reinforced Concrete. (Technical Report No.115). USA : National Institute of Statistical Sciences, 2001



ประวัติผู้วิจัย

ชื่อ – สกุล นาย ธรรมชาติ ทองไทย

วัน เดือน ปีเกิด 22 ตุลาคม 2531

ที่อยู่ปัจจุบัน 145 หมู่ 3 ต.หางน้ำสาคร อ.โนนรุม จ.ชัยนาท 17170

ประวัติการศึกษา

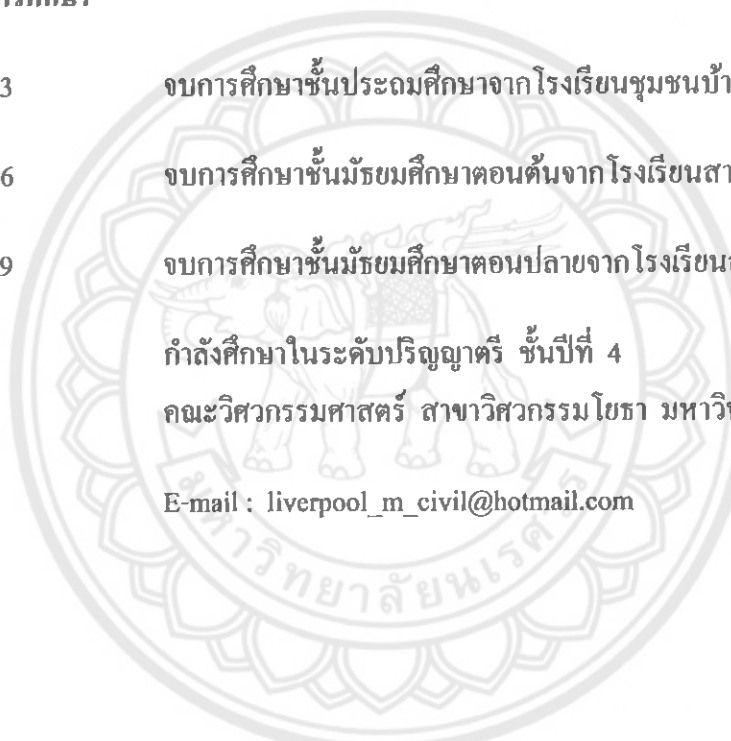
พ.ศ. 2543 จบการศึกษาชั้นประถมศึกษาจากโรงเรียนชุมชนบ้านหางน้ำสาคร

พ.ศ. 2546 จบการศึกษาชั้นมัธยมศึกษาตอนต้นจากโรงเรียนสาครพิทยาคม

พ.ศ. 2549 จบการศึกษาชั้นมัธยมศึกษาตอนปลายจากโรงเรียนสาครพิทยาคม

ปัจจุบัน กำลังศึกษาในระดับปริญญาตรี ชั้นปีที่ 4
คณะวิศวกรรมศาสตร์ สาขาวิศวกรรมโยธา มหาวิทยาลัยนเรศวร

E-mail : liverpool_m_civil@hotmail.com



ประวัติผู้วิจัย

ชื่อ – สกุล	นาย นัทธพงษ์ รุ่งเรือง
วัน เดือน ปีเกิด	14 ธันวาคม 2531
ที่อยู่บ้าน	235/1 ถ.สีทรราชเดโชชัย ต.ในเมือง อ.เมือง จ.พิษณุโลก 65000
ประวัติการศึกษา	
พ.ศ. 2543	จบการศึกษาชั้นป्र�ณศึกษาจากโรงเรียนเทศบาล ๒ วัดคุณหาสวารรค์
พ.ศ. 2546	จบการศึกษาชั้นมัธยมศึกษาตอนต้นจากโรงเรียนพิษณุโลกพิทยาคม
พ.ศ. 2549	จบการศึกษาชั้นมัธยมศึกษาตอนปลายจากโรงเรียนพิษณุโลกพิทยาคม
ปัจจุบัน	กำลังศึกษาในระดับปริญญาตรี ชั้นปีที่ 4 คณะวิศวกรรมศาสตร์ สาขาวิชกรรมโยธา มหาวิทยาลัยเกรียง

E-mail : nat_bk@hotmail.com

ประวัติผู้วิจัย

ชื่อ – สกุล นาย พัชรุติ มั่นทรัพย์
วัน เดือน ปีเกิด 11 มกราคม 2532
ที่อยู่บ้าน 101 หมู่ 7 ต.ม่วงเจ็ตตัน อ.บ้านโคก จ.อุตรดิตถ์ 53180

ประวัติการศึกษา

พ.ศ. 2543	จบการศึกษาชั้นประถมศึกษาจากโรงเรียนอนุบาลกำแพงเพชร
พ.ศ. 2546	จบการศึกษาชั้นมัธยมศึกษาตอนต้นจากโรงเรียนพุทธชินราชพิทยา
พ.ศ. 2549	จบการศึกษาชั้นมัธยมศึกษาตอนปลายจากโรงเรียนบ้านโคก วิทยาศาสตร์
ปัจจุบัน	กำลังศึกษาในระดับปริญญาตรี ชั้นปีที่ 4 คณะวิศวกรรมศาสตร์ สาขาวิชกรรมโลหะ มหาวิทยาลัยนเรศวร

E-mail : new_bkw@hotmail.com

ภาคผนวก ก

ตารางที่ 1 ผลการทดสอบค่าการยุบตัวของคอนกรีตสด

Series	Size Fiber	Fiber(%)	วันที่ทำการ ทดสอบ	เวลา	ค่าการยุบตัว (cm.)
A-0	Control	0	24 ธ.ค. 52	15:23 น.	27.5
B-025	2x50 mm Straight	2.5	19 ม.ค. 52	15:00 น.	3.0
E 025	2x50 mm Zigzag	2.5	8 ต.ค. 53	15:00 น.	2.0
F 025	2x70 mm Straight	2.5	30 ก.ย. 53	18:00 น.	1.5
G 025	2x100 mm Straight	2.5	4 ต.ค. 53	16:00 น.	2.5

ตารางที่ 2 ผลการทดสอบกำลังรับแรงด้วยคนรีซิวัลต์ 3, 7, 28 และ 90 วัน ของชุดตัวอย่าง A-0

Series	วัสดุหล่อ (ก้อน)	ระยะเวลาปั๊ม (วัน)	วัสดุที่ ทดสอบ	ตัวอย่าง ที่	ขนาด (mm)	น้ำหนัก (kg)	load (kN)	Stress (ksc)	Average Stress (ksc)
24 ช.ค. 52	3	27 ช.ค. 52	A-0	1	100x100x100	2306.6	134.0	134.0	
				2	100x100x100	2330.5	126.0	126.0	132.3
				3	100x100x100	2267.7	137.0	137.0	
24 ช.ค. 52	7	31 ช.ค. 52	A-0	1	100x100x100	2370.0	137.0	137.0	
				2	100x100x100	2270.0	162.0	162.0	142.7
				3	100x100x100	2340.0	129.0	129.0	
24 ช.ค. 52	28	21 ม.ค. 53	A-0	1	100x100x100	2281.0	262.0	262.0	
				2	100x100x100	2296.0	227.0	227.0	255.7
				3	100x100x100	2287.0	278.0	278.0	
24 ช.ค. 52	90	24 เม.ค. 53	A-0	1	100x100x100	2365.0	250.0	266.0	
				2	100x100x100	2310.0	204.0	260.0	
				3	100x100x100	2390.0	255.0	275.0	

ตารางที่ 3 ผลการทดสอบกำลังรับแรงด้วยคานกีรตพิทยุ 3, 7, 28 และ 90 วัน ของชุดตัวอย่าง B-025

Series	วันที่ทดสอบ	ระยะยาวตามปม (วัน)	ปมที่ทดสอบ	ตัวอย่าง	ขนาด (mm)	น้ำหนัก (kg)	load (kN)	Stress (ksc)	Average Stress (ksc)
B-025	19 ม.ค. 53	3	22 ม.ค. 53	1	100x100x100	2405.0	116.0	116.0	
				2	100x100x100	2300.0	106.0	106.0	115.0
				3	100x100x100	2375.0	123.0	123.0	
B-025	19 ม.ค. 53	7	26 ม.ค. 53	1	100x100x100	2360.0	169.0	169.0	
				2	100x100x100	2370.0	166.0	166.0	168.7
				3	100x100x100	2410.0	171.0	171.0	
B-025	19 ม.ค. 53	28	16 ก.พ. 53	1	100x100x100	2373.0	184.0	184.0	
				2	100x100x100	2342.0	234.0	234.0	219.0
				3	100x100x100	2398.0	204.0	204.0	
B-025	19 ม.ค. 53	90	19 เม.ย. 53	1	100x100x100	2345.0	256.0	256.0	
				2	100x100x100	2420.0	257.0	257.0	
				3	100x100x100	2340.0	192.0	192.0	256.5

ตารางที่ 4 ผลการทดสอบกำลังรับน้ำหนักของตัวอย่าง E-025

Series	วัสดุหล่อ	ระยะกลางปั๊ม (วัน)	วัสดุที่ ทดสอบ	ตัวอย่าง ที่	ขนาด (mm)	น้ำหนัก [*] (kg)	Load (kN)	Stress (ksc)	Average Stress (ksc)
E-025	8 ต.ค. 53	3	11 ต.ค. 53	1	100x100x100	2.210	61	62	
				2	100x100x100	2.230	55	56	
				3	100x100x100	2.200	60	61	
	8 พ.ค. 53	7	15 พ.ค. 53	1	100x100x100	2.260	102	104	
				2	100x100x100	2.165	97	99	
				3	100x100x100	2.235	113	115	
	8 พ.ค. 53	28	5 พ.ย. 53	1	100x100x100	2.196	103	105	
				2	100x100x100	2.229	92	94	
				3	100x100x100	2.229	132	135	
	8 พ.ค. 53	90	6 ม.ค. 54	1	100x100x100	2.265	116	118	
				2	100x100x100	2.285	114	116	
				3	100x100x100	2.250	125	127	

ตารางที่ 5 ผลการทดสอบกำลังรับแรงดึงดันน้ำหนักต่ออายุ , 7, 28 และ 90 วัน ของหุ้ดตัวอย่าง F-025

Series	รุ่นที่ทดลอง	ระยะทางกาง (ริม)	รุ่นที่ทดสอบ	ตัวอย่างที่	ขนาด (mm)	น้ำหนัก (kg)	Load (kN)	Stress (ksc)	Average Stress (ksc)
F-025	30 ก.y. 53	3 ต.ค. 53	1	150x150x150	7.720	264	114		
			2	150x150x150	7.580	227	98		
			3	150x150x150	7.940	662	285		
	30 ก.y. 53	7 ต.ค. 53	1	150x150x150	7.330	246	106		
			2	150x150x150	7.890	762	328		
			3	150x150x150	7.340	289	124		
	30 ก.y. 53	28 ต.ค. 53	1	150x150x150	7.800	713	307		
			2	150x150x150	7.460	378	163		
			3	150x150x150	7.875	924	398		
	30 ก.y. 53	90	1	150x150x150	7.880	989	426		
			2	150x150x150	7.420	377	162		
			3	150x150x150	7.840	763	328		
									305

ตารางที่ 6 ผลการทดสอบกำลังรับน้ำหนักติดต่อของโครงสร้าง G-025

Series	วันที่หล่อ ราก	ระยะเวลาปั่น (วัน)	วันที่ ทดสอบ	ตัวอย่างที่	ขนาด (mm)	น้ำหนัก [*] (kg)	load (kN)	Stress (ksc)	Average Stress (ksc)
G-025	4.๗.๕. ๕๓	3	7.๗.๕. ๕๓	1	150x150x150	7,260	148	64	
				2	150x150x150	7,450	169	73	
				3	150x150x150	7,490	171	74	
	4.๗.๕. ๕๓	7	11.๗.๕. ๕๓	1	150x150x150	7,510	235	101	
				2	150x150x150	7,410	387	167	
				3	150x150x150	7,390	260	112	
	4.๗.๕. ๕๓	28	1.๘.๕. ๕๓	1	150x150x150	7,525	647	278	
				2	150x150x150	7,420	399	172	
				3	150x150x150	7,755	761	328	
	4.๗.๕. ๕๓	90	2.๙.๕. ๕๔	1	150x150x150	7,500	722	311	
				2	150x150x150	7,415	644	277	
				3	150x150x150	7,720	709	305	298

ตารางที่ 7 ผลการทดสอบร้อยละการดูดซึมน้ำของคอนกรีต

Series	ตัวอย่างที่	น้ำหนัก สภาวะปกติ (kg)	น้ำหนักที่สภาวะ อิ่มตัวผิวแห้ง (kg)	น้ำหนัก สภาวะแห้ง ตัวข่ายเตาอบ (kg)	% Absorption	Average %Absorption
A-0	-	2.270	2.360	2.290	-	3.11
B-025	-	2.300	2.410	2.250	-	6.82
E-025	1	2.150	2.280	2.115	7.80	8.30
	2	2.220	2.320	2.155	7.66	
	3	2.150	2.200	2.010	9.45	
F-025	1	7.665	7.840	7.550	3.84	4.44
	2	7.300	7.510	7.150	5.03	
	3	7.300	7.550	7.250	4.44	
G-025	1	7.350	7.650	7.250	5.52	6.24
	2	7.240	7.645	7.160	6.77	
	3	7.255	7.625	7.165	6.42	

ตารางที่ 8 ผลการทดสอบกำลังรับแรงตัวของคอนกรีต

ชื่อทดลอง	กิโลนิวตัน	แรงดึงด้าน	ห่วงพากด้าน	ความกว้างห้องด้าน	ความสูงห้องด้าน	กำลังรับแรงตัว
	(ตัน)	(กก.)	(ซม.)	(ซม.)	(ซม.)	(กก./ตร.ซม.)
A-0	38.67	3,867	45	15	15	51.56
B-025	31.00	3,100	45	15	15	41.33
E-025	14.00	1,400	45	15	15	18.67
F-026	20.00	2,000	45	15	15	26.67
G-027	19.00	1,900	45	15	15	25.33

ตารางที่ 9 ผลการทดสอบค่าศักยภาพของคอนกรีต

Size Fiber	Mix	First craak load (kN)	First crack deflectioin (mm.)	First crack strength (Mpa)	15	110	120	R5,10	R10,20
Designation									
Control	A-0	38.67	0.17	5.16	1.57	1.79	2.04	4.57	2.46
2x50 mm Straight	B-025	31.00	0.10	4.13	3.68	5.72	8.62	40.82	29.05
2x50 mm Zigzag	E-025	14.00	1.97	1.88	2.98	3.32	3.35	6.71	0.36
2x70 mm Straight	F-025	20.00	2.02	2.60	2.47	3.07	3.43	11.86	3.65
2x100 mm Straight	G-025	19.00	1.72	2.56	2.19	2.63	3.06	8.96	4.22